



SERVIÇO PÚBLICO FEDERAL

REGIONALIZAÇÃO DE MODELO DE ESCOAMENTO
SUPERFICIAL PARA DADOS NÃO HOMOGÊNEOS.

TRABALHO APRESENTADO COMO PARTE DOS REQUISITOS PARA
OBTENÇÃO DO TÍTULO DE

MESTRE EM HIDROLOGIA APLICADA

AUTOR: Ari de Oliveira Marques Filho

ORIENTADOR: Prof. Mário Ortiga Simões Lopes

COLABORADOR: Prof. Robin Clarke

EXAMINADORES:

Prof. Mário Simões Lopes

Prof. Julio Sanchez Ordoñez

Prof. Dr. Carlos Eduardo Tucci

Prof. Dr. Rubem Lalaina Porto

Data do exame: 07/04/80

Aprovação:

A handwritten signature in black ink, appearing to read 'Mário Simões Lopes', is written over a horizontal line. Below the line, the text 'Presidente da Banca' is printed.

Presidente da Banca

REGIONALIZAÇÃO DE MODELO DE
ESCOAMENTO SUPERFICIAL PARA
DADOS NÃO HOMOGÊNEOS

ARI DE OLIVEIRA MARQUES FILHO (*)

Porto Alegre, abril de 1980.

(*) Engenheiro Civil (UFSM)

A ARY DE OLIVEIRA MARQUES,
meu pai.

AGRADECIMENTOS

Agradeço as seguintes pessoas e Instituições:

Ao Professor Mario Simões Lopes, MSc., pela orientação e acompanhamento em todas as fases do trabalho.

Ao Professor Robin Clarke pela colaboração na fase inicial do estudo e sugestões apresentadas no seu decorrer.

Aos Professores do Instituto de Pesquisas Hidráulicas, particularmente, aqueles do Setor de Hidrologia, que apresentaram contribuições de valor a este trabalho.

As funcionárias da Biblioteca do Instituto de Pesquisas Hidráulicas, pelo apoio completo prestado, durante todo o trabalho e na execução final das referências bibliográficas.

Ao Setor de Desenho e Tradução do Instituto de Pesquisas Hidráulicas, pelas colaborações prestadas.

A Ligia Fontoura Lorenzoni pela companhia e trabalho da montagem gráfica deste estudo.

A CAPES, pela Bolsa de Estudos concedida.

Ao Instituto de Pesquisas Hidráulicas, na pessoa do coordenador do curso de Pós-Graduação do IPH, Professor Amadeu da Rocha Freitas, Dr., pelo apoio durante a realização do curso e na Dissertação.

Ao Instituto de Pesquisas Hidráulicas por tornar possível a execução do trabalho.

A Universidade Federal de Santa Maria, pelo encaminhamento e apoio durante a realização do curso e do trabalho.

SINOPSE

Neste trabalho, a bacia hidrográfica é considerada um sistema linear, invariável no tempo, na transformação da precipitação efetiva em escoamento superficial. Para representar o operador desse sistema adota-se um modelo constituído por uma cascata de reservatórios em série todos com o mesmo tempo de armazenamento.

Os parâmetros que descrevem esse modelo são otimizados com a utilização do Método de Newton-Raphson. Diversos eventos (precipitação efetiva-escoamento superficial), distribuídos em algumas sub-bacias do Rio Forquetinha, são analisados através do algoritmo de otimização criado, obtendo-se um conjunto de valores médios dos parâmetros para as sub-bacias.

As características físicas das sub-bacias, junto com esse conjunto, propiciam um estudo de regionalização, através de regressões múltiplas, que relacionam os parâmetros médios às características físicas das sub-bacias do Rio Forquetinha. A qualidade desse estudo é verificada para uma outra sub-bacia da região não utilizada nas fases anteriores desta pesquisa.

Análises complementares de sensibilidade dos parâmetros e comportamento da função objetiva escolhida são apresentadas neste estudo.

ABSTRACT

In this study the river basin is considered a linear time-invariant system, when effective rainfall is transformed into surface runoff. To represent the operator of this system a model consisting of a cascading series of reservoirs with the same storage time is used.

The parameters which describe this model are optimized using the Newton-Raphson Method. Various events (effective rainfall-surface runoff) distributed throughout some of the Forquetinha River sub-basins, are analysed across the optimization algorithm which has been created, and a set of average values of the parameters is thus obtained in the sub-basins.

The physical characteristics of the sub-basins, together with this set create the opportunity for a regionalization study, by means of multiple regressions, which relate the average parameters to the physical characteristics of the sub-basins of the Forquetinha River. The quality of this study is checked by means of another sub-basin in the region, which was not used in previous phase of the study.

Complementary analyses of parameter sensitivity and behaviour of the chosen objective function are presented in this study.

SUMÁRIO

	Página
INTRODUÇÃO.....	1
PRIMEIRA PARTE - Revisão Bibliográfica	
CAPÍTULO 1 - Introdução ao estudo de sistemas hidrológicos.....	4
1.1. Terminologia de sistemas.....	4
1.2. Sub-sistema particular em estudo.....	7
1.3. Conceitos sobre Hidrograma Unitário (HU)....	8
1.3.1 Hipóteses admitidas no método do Hidrograma Unitário.....	8
1.3.2 Hidrograma Unitário Instantâneo.....	9
1.3.3 Aspectos da integral de convolução...	12
1.3.4 Modelos conceituais para o HUI.....	14
1.3.5 Modelo Nash (HUI- distribuição gama).	19
1.3.6 Hidrogramas Unitários Sintéticos.....	20
1.4. Otimização.....	22
1.5. Análise e síntese de sistemas.....	24
SEGUNDA PARTE - Metodologia Proposta	
CAPÍTULO 2 - Exposição da metodologia.....	26
2.1. Apresentação global.....	26
2.1.1 Método de Newton Raphson.....	27
2.1.1.1 HUI de forma triangular.....	28
2.1.1.2 HUI com forma da distribuição gama (Modelo Nash).....	29
2.1.2 Otimização dos parâmetros.....	30
2.2. Procedimento para obtenção dos parâmetros...	32
2.2.1 Aspectos gerais.....	32
2.2.2 Método de Newton-Raphson.....	33
2.3. Funções usadas para o Hidrograma Unitário Instantâneo.....	36
2.3.1 Forma triangular.....	37
2.3.1.1 Estudo do primeiro grupamento de equações.....	38
2.3.1.2 Estudo do segundo grupamen-	

to de equações.....	39
2.3.1.3 Estudo do terceiro grupamen- to de equações.....	40
2.3.1.4 Obtenção das expressões que representam o HUT sob a for- ma de histograma.....	41
2.3.1.5 Derivadas das ordenadas do HUT histograma.....	44
2.3.2 HUI representada pela função gama in- completa ou Modelo Nash.....	47
2.3.2.1 Método numérico proposto.....	48
2.3.2.2 Derivadas do HUI.....	53
2.3.2.3 Obtenção das derivadas do HUT	55
2.4. Fluxogramas.....	56

TERCEIRA PARTE - Aplicação da Metodologia e Regionalização

CAPÍTULO 3 - Aplicação da Metodologia proposta.....	64
3.1. Bacia Hidrográfica do Rio Forquetinha - caracte- rísticas.....	64
3.2. Sub-bacias estudadas.....	64
3.3. Dados de precipitações e descargas.....	67
3.4. Preparação dos dados de entrada para otimiza- ção.....	69
3.4.1 Separação do escoamento superficial...	70
3.4.2 Determinação da precipitação efetiva..	72
3.4.3 Unidades utilizadas.....	73
3.4.4 Dados de precipitação efetiva e escoa- mento superficial.....	75
3.5. Resultados obtidos.....	76
3.6. Dependência entre os parâmetros PN e PK com a duração da precipitação efetiva.....	89
3.7. Formas do HUI representado pelo Modelo Nash e comportamento da função objetiva.....	91
3.8. Sensibilidade dos parâmetros.....	97

	VIII
	Página
CAPÍTULO 4 - Regionalização.....	100
4.1. Modelo e método de pesquisa das regressões.....	100
4.2. Resultados obtidos.....	102
4.3. Validação da regionalização.....	105
CONCLUSÕES E RECOMENDAÇÕES.....	111
BIBLIOGRAFIA.....	117
ANEXO I - Método da Quadratura de Gauss.....	A-01
ANEXO II - Análise de Regressão múltipla.....	A-04
ANEXO III - Programas utilizados.....	A-22

RELAÇÃO DE TABELAS

	Página
2a. Derivadas do HUT triangular.....	45
2b. Derivadas do HUT triangular.....	46
3a. Características físicas das sub-bacias.....	68
3b. Precipitações efetivas e descargas-PF1.....	77
3c. Precipitações efetivas e descargas-PF1.....	78
3d. Precipitações efetivas e descargas-PF1.....	79
3e. Precipitações efetivas e descargas-PF2.....	80
3f. Precipitações efetivas e descargas-PF2 e PF3.....	81
3g. Precipitações efetivas e descargas-PF3.....	82
3h. Precipitações efetivas e descargas-PF4.....	83
3i. Precipitações efetivas e descargas-PF6.....	84
3j. Precipitações efetivas e descargas-PF8.....	85
3L. Resultados obtidos para os parâmetros.....	86
3m. Resultados obtidos para os parâmetros.....	87
A1. Variáveis dependentes e independentes.....	A-07
A2. Elementos auxiliares para a regressão múltipla.....	A-08
A3. Elementos auxiliares para a regressão múltipla.....	A-09
A4. Elementos auxiliares para a regressão múltipla.....	A-10

RELAÇÃO DE FIGURAS

	Página
1a. Curva S	11
1b. Convolação.....	11
1c. Propagação através de canais e reservatórios lineares....	17
2a. Método de Newton Raphson.....	34
2b. HUI triangular.....	34
2c. Casos a considerar para o HUT em que $T < TP$	42
2d. Casos a considerar para o HUT em que $TP < T < N$	42
2e. Casos a considerar para o HUT em que $TP < T < N$	42
2f. Casos a considerar para o HUT em que $T > N$	42
2g. HUI - Modelo Nash.....	49
2h. HUT histograma	49
2i. HUT histograma - esquema numérico.....	52
2j. HUT contínuo - esquema numérico.....	52
2L. HUT histograma - esquema numérico ($tb \leq 1$).....	52
PRANCHA Nº 1 - Bacia hidrográfica do Rio Forquetinha e sub-bacias do Rio Forquetinha.....	65
3a. Separação dos escoamentos.....	71
3b. Separação dos escoamentos - hidrogramas complexos.....	71
3c. Determinação da chuva efetiva.....	71
3d. Estudo de dependência entre parâmetros e a precipitação..	90
3e. Estudo de dependência entre parâmetros e a precipitação..	92
3f. Estudo de dependência entre parâmetros e a precipitação..	93
3g. Formas da distribuição gama.....	94
3h. Formas da distribuição gama.....	95
3i. Comportamento da função objetiva para o Modelo Nash.....	96
3j. Comportamento da função objetiva para o Modelo Nash.....	96

	Página
3L. Sensibilidade dos parâmetros.....	98
3m. Sensibilidade dos parâmetros.....	99
4a. Validação da regionalização.....	107
4b. Validação da regionalização.....	107
4c. Hidrógrama complexo otimizado.....	108
4d. Hidrograma complexo otimizado.....	109

INTRODUÇÃO

A Hidrologia apresenta, atualmente, uma evolução constante e muito rápida, determinada pelo imprescindível apoio que dá ao desenvolvimento das diferentes formas de aproveitamento e ao levantamento dos recursos hídricos.

O desenvolvimento maior verifica-se na Hidrologia Superficial, que trata com análises relativas às transformações das precipitações em escoamentos superficiais, devido não só à importância dessa fase, mas também ao maior conhecimento já acumulado sobre essas transformações.

Do Hidrograma Unitário, proposto como característica importante das bacias hidrográficas nos estudos hidrológicos, chega-se até os modelos mais sofisticados que procuram simular a parte importante do ciclo hidrológico, que é o escoamento superficial.

Uma das limitações às análises hidrológicas está, invariavelmente, na escassez, ou na qualidade dos registros pluvio-hidrométricos. Isto determinou o aparecimento da parte da Hidrologia conhecida como Sintética. Os parâmetros de ajustamento dos modelos, determinados para as bacias com observações disponíveis, junto com as características físicas dessas bacias, passaram a ser utilizados para estudos de regionalização, que permitem a extensão dos modelos, através das estimativas dos parâmetros, às bacias sem dados, situadas na região em estudo ou então com características semelhantes àquelas bacias estudadas.

No Instituto de Pesquisas Hidráulicas (IPH) têm-se desenvolvido estudos que procuram estabelecer o mecanismo de formação das enchentes em terrenos pouco permeáveis (em particular, na encosta meridional do derrame basáltico Sul-americano).

Desenvolveu-se, paralelamente a esses estudos o presente trabalho.

Um dos objetivos desta pesquisa é o estabelecimento de um algoritmo que determine os parâmetros ótimos que descrevem os hidrogramas unitários representados por modelos conceituais. Obviamente, como se analisa somente as transformações de precipitações efetivas em escoamentos superficiais, esse mecanismo representa, apenas parte de um modelo mais completo; no entanto, como já foi referido que se trata de estudos em terrenos pouco permeáveis, esta seria a parte mais importante da transformação precipitação-escoamento.

O processo de otimização utilizado é o Método de Newton-Raphson, e o modelo adotado, ao final, para representar o operador pluvio-hidrométrico (HU), tem a forma da distribuição gama.

Seguindo orientação semelhante às pesquisas do IPH, depois de obtidos os parâmetros médios para algumas bacias, através do algoritmo criado para esse fim, busca-se o estabelecimento de regressões múltiplas que relacionem esses valores médios às características físicas das bacias.

Obtidas essas regressões, alcança-se outro objetivo do trabalho, que é o estudo da regionalização de parâmetros de modelos hidrológicos.

A qualidade da regionalização é verificada, no trabalho, para uma outra bacia da região não utilizada nas fases anteriores da pesquisa.

A utilização de uma metodologia assim desenvolvida, pode servir de apoio à elaboração de projetos de obras hidráulicas e a estudos para outras atividades nos rios, tanto nas bacias estudadas, como em outras com características semelhantes.

P R I M E I R A P A R T E

REVISÃO BIBLIOGRÁFICA

CAPÍTULO 1 - INTRODUÇÃO AO ESTUDO DE SISTEMAS HIDROLÓGICOS

Nos diversos ramos da Ciência, o primeiro objetivo dos investigadores, na compreensão de um dado fenômeno, é a identificação dos diferentes fatores que o determinam e suas interdependências. Na elaboração de um trabalho é importante um desenvolvimento sob a forma mais universal possível, no qual sejam esclarecidos os conceitos utilizados, as hipóteses consideradas e a terminologia correspondente usada. Procedendo-se dessa maneira, permite-se uma avaliação comparativa da pesquisa realizada, que estimará a sua contribuição adicional, na busca da compreensão global dos fenômenos. Não se quer, e nem se deve descartar a valiosa contribuição de estudos experimentais particulares, mas sim acentuar-se a necessidade do estabelecimento, claro e inequívoco, das possíveis relações com aspectos globais do fenômeno.

Seguindo esta linha de pensamento procura-se, a seguir, definir os elementos utilizados neste trabalho.

1.1. Terminologia de sistemas

A definição de um sistema, em termos gerais, pode ser apresentada assim:

Sistema é algo constituído de diversas partes, ligadas entre si, segundo algum critério.

Esta definição pode ser ampliada, quando se quer ressaltar aspectos particulares de um sistema.

Numa definição mais ampla, segundo DOOGE (1973), "Sistema é qualquer estrutura, esquema ou procedi-

mento, real ou abstrato, que inter-relaciona, a uma dada referência temporal, uma entrada (chamada causa ou estímulo) de matéria, energia ou informação, e uma saída (chamada efeito ou resposta) de informação, energia ou matéria". Está acentuada a relação temporal de causa e efeito.

Estado do sistema: qualquer mudança em alguma variável do sistema, produzirá uma mudança no estado do sistema. Se todas as variáveis de estado forem inteiramente conhecidas, então o estado do sistema será conhecido.

Sistema linear: é um sistema que apresenta a propriedade de superposição. O operador do sistema é linear.

Sistema não-linear: é um sistema em que não se aplica a propriedade de superposição. O operador do sistema é não-linear.

Sistema variável no tempo: as relações entrada-saída dependem do tempo particular em que ocorre a entrada.

Sistema invariável no tempo: as relações entrada-saída independem do tempo.

Sistema causal: é aquele em que os efeitos não podem anteceder a causa.

Sistema estável: é um sistema em que a uma entrada limitada, resultará uma saída limitada.

Sistema determinístico: é aquele onde a mesma entrada produzirá sempre a mesma resposta, independente do fato da entrada ser determinística ou estocástica.

Sistema estocástico: é um sistema em que pa-

ra uma dada entrada, podem ocorrer saídas diferentes, seguindo uma determinada distribuição de probabilidade.

Foi acentuado, acima, que um sistema linear é caracterizado, essencialmente, por apresentar a propriedade de superposição.

Se uma entrada

$$x_1(t) \rightarrow \text{(corresponde uma resposta)} \quad y_1(t)$$

e outra entrada

$$x_2(t) \rightarrow y_2(t)$$

então, a propriedade de superposição será aplicável quando:

$$x_1(t) + x_2(t) \rightarrow y_1(t) + y_2(t)$$

Matematicamente, um sistema pode ser representado pela expressão

$$y(t) = \phi \cdot x(t)$$

onde,

$y(t) \rightarrow \bar{e}$ a resposta do sistema;

$\phi \rightarrow \bar{e}$ a função de transferência (maneira como opera o sistema).

$x(t) \rightarrow \bar{e}$ a entrada para o sistema.

Na obtenção da equação fundamental, que representa a forma de operação do sistema, utiliza-se conceitos como a função delta (impulso), que é definida com as propriedades:

$$\delta(t - t_0) = 0$$

para todo

$$t \neq t_0$$

$$\int_{-\infty}^{\infty} \delta(t - t_0) dt = 1$$

A resposta instantânea, $h_0(t)$, do sistema é definida como sua saída, quando a entrada, toma a forma de um impulso (função delta). Assim, quando se tem

$$x(t) = \delta(t)$$

então,

$$y(t) = h_0(t)$$

Para uma entrada qualquer $x(t)$, a expressão que determina a resposta de um sistema linear, invariável no tempo e causal, tem a forma

$$y(t) = \int_0^{t \leq t_0} x(\tau) h_0(t - \tau) d\tau \quad (1a)$$

onde,

$$\phi \rightarrow h_0(t - \tau)$$

$t_0 \rightarrow$ limite da ocorrência de entrada.

Esta integral tem múltiplas aplicações nos estudos hidrológicos, e será utilizada em algumas partes deste estudo.

1.2. Sub-sistema particular em estudo

A bacia hidrográfica, através dos diversos fatores que atuam na transformação da precipitação efetiva em escoamento superficial, é o sub-sistema particular a ser investigado.

Embora existam pesquisas mostrando a não li-

nearidade dessa transformação, o sub-sistema será analisado como um sistema linear invariável no tempo. Sendo assim, admitir-se-á a aplicação da propriedade de superposição e a constância dos parâmetros que descrevem a função de transferência, no decorrer do tempo.

A análise como sistema não-linear, justifica-se num estágio mais avançado, desde que já se tenha verificado um fracasso no tratamento linear da transformação.

A restrição da pesquisa ao escoamento superficial está ligada à utilização das informações sobre o mesmo em projetos, além da complexidade que o escoamento subterrâneo apresenta.

1.3. Conceitos sobre Hidrograma Unitário (HU)

1.3.1 Hipóteses admitidas no método do HU

O Hidrograma Unitário, proposto por Sherman em 1932, pode ser definido como "um hidrograma de escoamento superficial resultante de uma precipitação efetiva, de altura unitária, ocorrida uniformemente sobre toda a bacia hidrográfica e apresentando uma taxa constante, durante toda a sua duração".

No método do HU, o escoamento total é separado apenas em dois componentes: escoamento superficial e escoamento subterrâneo.

As proposições básicas, referentes ao método, válidas, portanto, apenas para o processo de transformação da precipitação efetiva em escoamento superficial, podem ser assim enunciadas:

- a) Para uma dada bacia hidrográfica, a duração do escoamento superficial é sensivelmente constante para todas as preci-

pitações de intensidade constante e durações próximas, diferenciando-se apenas no volume total de escoamento superficial.

- b) Para uma bacia hidrográfica, duas precipitações de intensidade uniforme e mesma duração, produzem volumes diferentes de escoamento, onde as suas taxas, em tempos correspondentes, apresentam a mesma proporção verificada entre os volumes totais de escoamento superficial, resultantes das duas precipitações.
- c) A distribuição, no tempo, do escoamento superficial resultante de dado período de chuva é independente das precipitações anteriores porventura ocorridas.

Em termos de sistemas, essas três proposições caracterizam o hidrograma unitário como um operador de um sistema linear invariável no tempo.

A forma em que são apresentadas as proposições resulta da evolução alcançada no período de discussão que se seguiu à primeira publicação da Teoria do Hidrograma Unitário.

Anterior ao trabalho sobre o HU, Folse em 1929, estudou a relação entre precipitações e escoamento para eventos individuais, apresentando as idéias da separação dos escoamentos, da redução da precipitação através das perdas por infiltração e, ainda, da obtenção de constantes físicas.

1.3.2. Hidrograma Unitário Instantâneo (HUI)

Fica implícita no processo do HU, a possibilidade de se passar de um HU de certa duração, para outra duração, uma vez aplicado o princípio da superposição.

Em estudos posteriores foi proposto um méto-

do geral para realização dessa passagem, conhecido como "Hidrograma em S" ou "Curva S".

O "Hidrograma em S", teórico, é obtido quando ocorre uma precipitação efetiva de intensidade constante, distribuída uniformemente sobre a área da bacia, com duração indefinidamente grande. Na figura 1a fica clara a forma da curva S. Nela aparecem dois trechos principais, sendo um ramo curvo em S, e outro onde as ordenadas são constantes. Neste segundo trecho, as descargas constantes indicam que toda a bacia está contribuindo para as vazões na saída; existe igualdade entre as taxas de precipitações e descargas. Para a completa definição da curva S basta que a duração da chuva seja maior do que o tempo de concentração da bacia.

Obtida a curva $S(t)$, o hidrograma unitário para uma chuva de duração igual a T, terá suas ordenadas dadas pela seguinte expressão:

$$h_T(t) = \frac{S(t) - S(t - T)}{T} \quad (1b)$$

onde,

$h_T(t)$ → ordenadas do hidrograma unitário de T horas (HUT)

T → duração da chuva efetiva

$S(t), S(t - T)$ → ordenadas dos dois hidrogramas em S.

t → variável representando tempo.

Da expressão 1b pode ser derivada a fórmula que representa o "Hidrograma Unitário Instantâneo". Quando a duração da chuva efetiva se torna cada vez menor, chega-se no limite ao conceito de diferenciação

$$h_0(t) = \frac{d}{dt}\{S(t)\} \quad (1c)$$

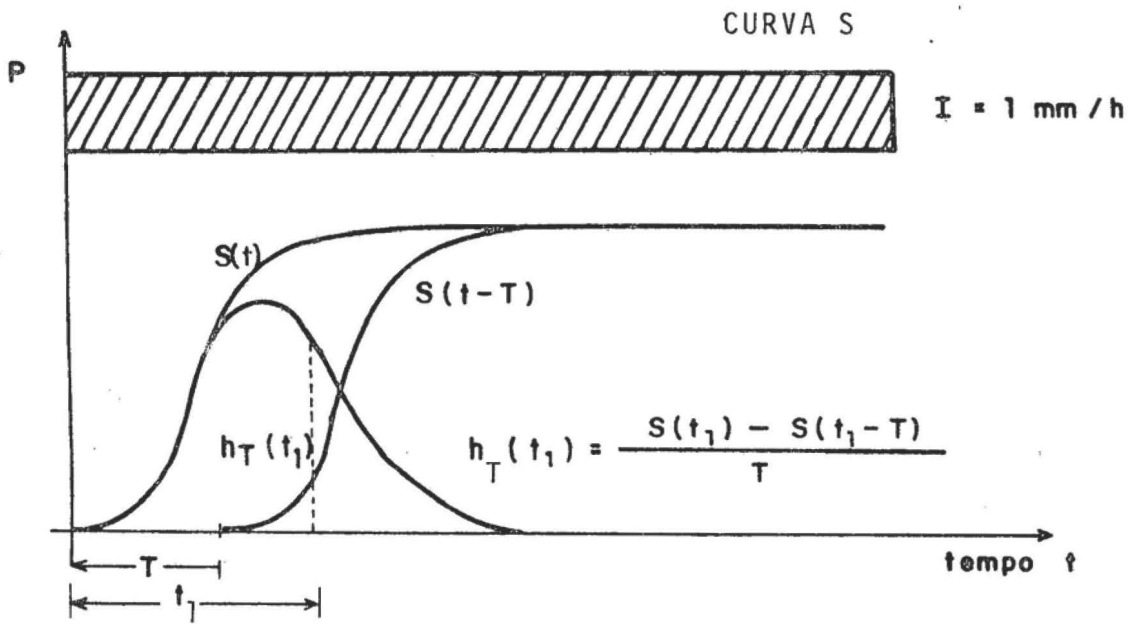


Figura 1a

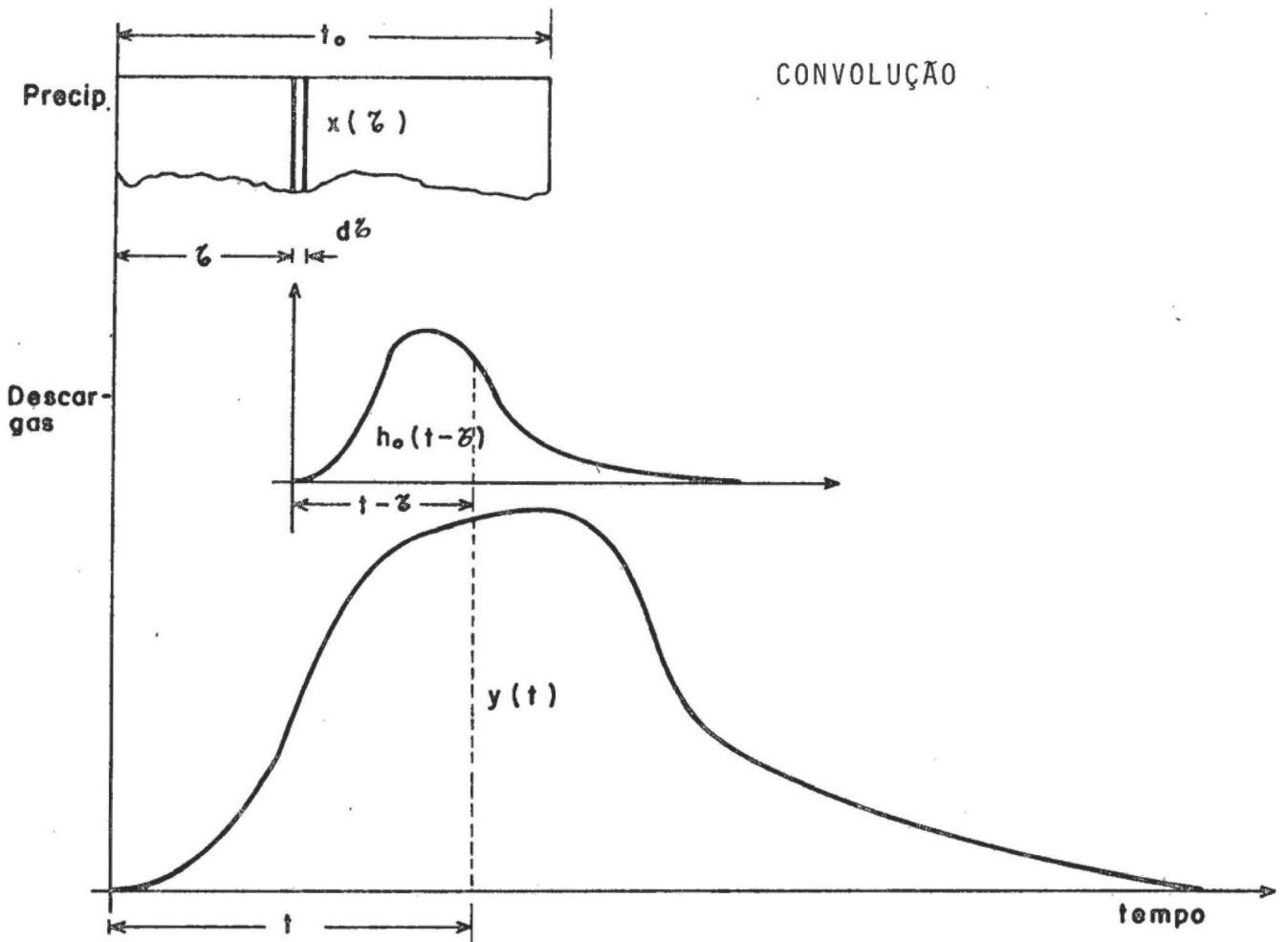


Figura 1b

onde,

$h_0(t)$ → representa as ordenadas do HUI.

Deve ser acentuada a situação fictícia representada pelo HUI e, portanto, a sua utilização como conceito nas análises hidrológicas. Pela superposição dos HUI, decorrentes de cada ordenada de precipitação efetiva, $x(\tau)$, chega-se a uma expressão idêntica a equação 1a.

$$y(t) = \int_0^{t \leq t_0} x(\tau) h_0(t - \tau) d\tau$$

onde,

$y(t)$ → expressa a descarga ocorrida no tempo t .

A figura 1b mostra como se processa a convolução acima.

Com a introdução do conceito de HUI, elimina-se a dependência existente entre a duração da precipitação efetiva e o HU a ser utilizado. Qualquer que seja a duração da precipitação, o HUT pode ser sempre obtido através da equação 1a adaptada. Quando as ordenadas $x(\tau)$ são representadas por um valor constante unitário ($1/T$), a equação 1a transforma-se na expressão

$$h_T(t) = \frac{1}{T} \int_0^T h_0(t - \tau) d\tau \quad (1d)$$

1.3.3. Aspectos da integral de convolução

A equação 1a (integral de convolução), só pode ser utilizada na forma apresentada quando os registros de precipitações e descargas são disponíveis em forma contínua, pois nesse caso o HUI pode ser usado diretamente.

Para se ter boa aproximação na representação

de hidrogramas (observado ou unitário) não se faz necessária a utilização dos dados na forma contínua; usualmente os dados de precipitação são trabalhados, com objetivo de reduzir os conjuntos de registro, e aparecem sob a forma de histogramas, onde a intensidade \bar{e} é considerada constante para dado intervalo escolhido.

Com essa simplificação nos registros pluviométricos torna-se necessária a utilização de hidrogramas unitários, com duração finita para a precipitação (HUT), que são obtidos com a aplicação da equação 1d.

O hidrograma resultante, quando as precipitações estão sob a forma de histograma, é obtido pela convolução discreta entre a chuva e o HUT.

$$y(t) = \sum_{J=1}^{J=t \leq t_0} x(J) \cdot h_T(t - J + 1) \quad (1e)$$

onde,

$J \rightarrow$ nº da ordenada de chuva
 $x(J) \rightarrow$ ordenada de chuva sob a forma de histograma.

$h_T(t-J+1) \rightarrow$ ordenada do HUT

Deve ser observado que $y(t)$ e $h_T(t-J+1)$ são utilizados nessa expressão, na forma contínua e $x(J)$ na forma de histograma.

Podem ocorrer ainda, casos em que as precipitações e as descargas são disponíveis na forma de histograma. Nestes casos, normalmente, o intervalo do histograma das vazões, ou \bar{e} o mesmo, ou então é inferior ao intervalo do histograma das precipitações. Por conveniência, a seguir, restringe-se a análise para as duas situações referidas.

Seja D , o intervalo de cada degrau do histo-

grama das descargas. O HUT deve ser transformado para a forma de histograma, concordantemente com a forma das descargas observadas, e suas ordenadas (valores médios) obtem-se através da expressão 1f.

$$h(t) = \frac{1}{D} \int_{t-D}^t h_T(t) dt \quad (1f)$$

onde,

$h(t) \rightarrow$ ordenada média do HUT, no intervalo $\{t; t-D\}$

$D \rightarrow$ intervalo de cada ordenada do histograma.

A integral de convolução fica ligeiramente modificada, conforme mostra a equação 1g

$$y^*(t) = \sum_{J=1}^{J=t \leq t_0} x(J) \cdot h(t-J+1) \quad (1g)$$

onde,

$y^*(t) \rightarrow$ vazões médias do hidrograma calculado, no intervalo $\{t; t-D\}$.

$h(t-J+1) \rightarrow$ vazão média do HUT, no intervalo $\{(t-J+1); (t-J+1)-D\}$.

É interessante apresentar uma outra expressão, que faz a transformação do HUI no HUT.

Fazendo-se a mudança da variável τ por $t - \tau$, na equação 1d, obtem-se, adequando os limites de integração, a equação 1h procurada.

$$h_T(t) = \frac{1}{T} \int_{t-T}^t h(\tau) d\tau \quad (1h)$$

1.3.4. Modelos conceituais para o HUI

Os vários modelos, sejam os matemáticos ou os

de analogia física, são compostos de elementos representados por: reservatórios lineares, canais lineares ou diagramas tempo-área.

Entende-se por reservatório linear, aquele que possui o armazenamento diretamente proporcional à descarga. Analiticamente tem-se:

$$S = K.Q$$

onde,

- S → armazenamento
- Q → descarga de saída do reservatório
- K → coeficiente de proporcionalidade.

A taxa de variação do volume armazenado é expressa pela equação seguinte:

$$\frac{dS}{dt} = I - Q$$

onde,

- I → é a entrada d'água no reservatório.

Combinando-se essas duas equações obtém-se:

$$K \cdot \frac{dQ}{dt} + Q = I$$

Para uma entrada unitária constante e considerando que $Q=0$ para $t=0$ a solução da equação diferencial é

$$Q = 1 - e^{-t/K}$$

O HUI pode ser obtido pela derivada dessa expressão, resultando

$$h_0(t) = \frac{1}{K} e^{-t/K} \quad (1i)$$

Um canal linear \bar{e} \bar{e} aquele no qual o tempo requerido para transladar uma descarga Q, atrav \bar{e} s de determinado trecho do canal, \bar{e} constante. Isto significa que quando um hidrograma de entrada \bar{e} propagado pelo canal, sua forma n \bar{a} o sofre altera \bar{c} o.

A combina \bar{c} o de reservat \bar{o} rios e canais lineares, em diferentes formas, leva a diversos modelos j \bar{a} estudados e apresentados.

Assim, NASH (1959) sugeriu um modelo constitu \bar{i} do de "n" reservat \bar{o} rios iguais e lineares, n \bar{a} o considerando, portanto, os efeitos de transla \bar{c} o. DOOGE (1959) acentuou: "O processo de convers \bar{a} o da precipita \bar{c} o efetiva em escoamento superficial est \bar{a} composto de a \bar{c} o \bar{e} s de armazenamento (reservat \bar{o} rios) e transla \bar{c} o (canais)". Em seu trabalho, os reservat \bar{o} rios e canais s \bar{a} o colocados em s \bar{e} rie, alternando-se reservat \bar{o} rio e canal. Na aplica \bar{c} o do modelo, a bacia hidrogr \bar{a} fica \bar{e} dividida em sub- \bar{a} reas, segundo o crit \bar{e} rio das is \bar{o} cronas (linhas de mesmo tempo de percurso). Cada sub- \bar{a} rea \bar{e} representada por um canal linear em s \bar{e} rie com um reservat \bar{o} rio linear. A resposta de cada canal \bar{e} dada pelo diagrama tempo- \bar{a} rea que, junto com a resposta da sub- \bar{a} rea antecedente, ser \bar{a} a entrada para o reservat \bar{o} rio linear, e assim sucessivamente, at \bar{e} a determina \bar{c} o da resposta total, na sa \bar{i} da da bacia. A figura 1c, procura ilustrar o Modelo DOOGE.

Embora seja um tratamento geral da transforma \bar{c} o precipita \bar{c} o efetiva-escoamento superficial, as dificuldades na aplica \bar{c} o de um modelo assim formulado, n \bar{a} o foram ultrapassadas.

A equa \bar{c} o geral do HUI, para esse modelo \bar{e} :

$$h_0(t) = \frac{V}{A} \int_0^{A(t)} \frac{\delta(t - \tau) i}{\Pi(1 + K_j D)} dA \quad (1j)$$

Propagação através de canais e reservatórios lineares (Modelo de Dooge)

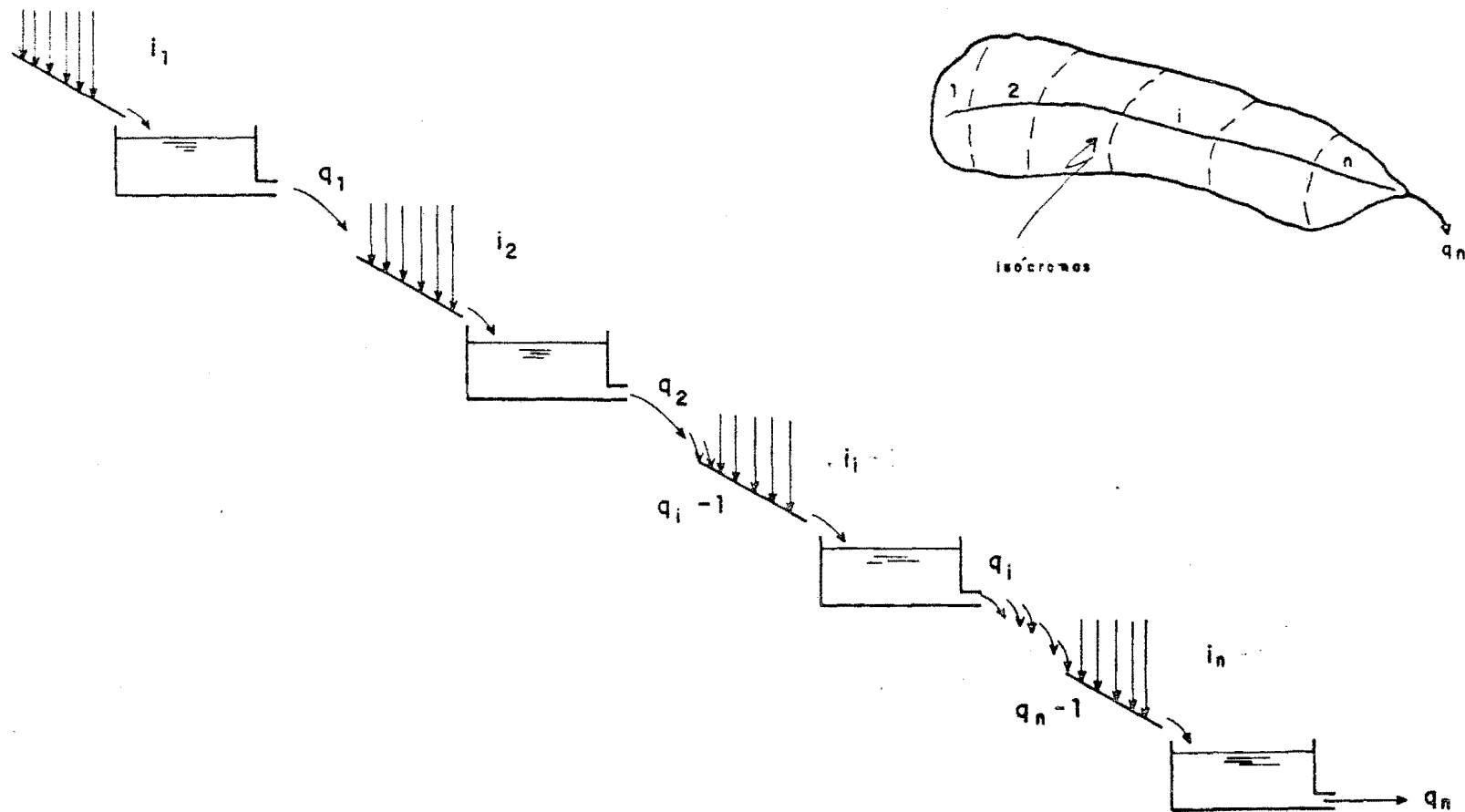


Figura 1c

onde,

- A → área da bacia;
- V_0 → volume de precipitação efetiva;
- $\delta(t-\tau)$ → função delta;
- i → intensidade local da chuva/ intensidade média;
- K_j → tempo de retenção em cada reservatório;
- Π → símbolo de produto dos termos;
- D → operador diferencial.

Seguindo essa mesma linha de desenvolvimento, tem-se vários outros trabalhos.

No trabalho de SINGH, referido por CHOW (1964), o modelo está constituído por um canal linear, com coeficiente de translação C, e dois reservatórios lineares, com coeficientes de armazenamento k_1 e k_2 , respectivamente. O HUI neste caso fica expresso pela equação abaixo.

$$h_0(t) = \frac{1}{K_2 - K_1} \int_0^{t \leq T} \{ e^{-(t-\tau)/K_2} - e^{-(t-\tau)/K_1} \} W(\tau) d\tau$$

onde,

- T_t → tempo total de translação na bacia
- $W(\tau)$ → ordenada do diagrama tempo-área

No modelo estudado por DISKIN, mesma fonte do trabalho anterior, tem-se dois braços de reservatórios em paralelo, onde o primeiro braço é composto de n_1 reservatórios em série com coeficiente de armazenamento k_1 para cada um, e o segundo braço tem n_2 reservatórios todos com coeficiente de armazenamento k_2 . A entrada para o primeiro braço é α e para o segundo é β , sendo $\alpha + \beta = 1$. A equação do HUI para esse caso é a seguinte

$$h_0(t) = \frac{\alpha}{K_1 \Gamma n_1} (t/k_1)^{n_1-1} e^{-t/K_1} + \frac{\beta}{K_2 \Gamma n_2} (t/k_2)^{n_2-1} e^{-t/K_2}$$

Já, o Modelo Nash, referido anteriormente, tem como expressão do HUI a equação

$$h_0(t) = \frac{1}{K} (t/K)^{n-1} \cdot \frac{e^{-t/K}}{\Gamma n} \quad (11)$$

onde,

n → número de reservatórios em série

K → tempo de armazenamento de cada reservatório.

Uma característica interessante apresentada pelo Modelo Nash, se comparado aos outros, é o número reduzido de parâmetros. Este detalhe é de fundamental importância quando se pensa na utilização de modelos conceituais para síntese de hidrogramas. O número de parâmetros determina o número de correlações, que devem ser encontradas, entre eles e as características físicas das bacias e características das precipitações.

1.3.5. Modelo Nash (HUI - distribuição gama)

O HUI para este modelo é representado pela equação 11. NASH (1960), utilizou o conceito de "Hidrograma em S", para chegar ao hidrograma unitário, referente a uma duração qualquer de chuva efetiva.

A expressão da vazão de pico do HUI é obtida igualando-se a zero a derivada da equação 11, com relação ao tempo.

$$\frac{1}{K^2} (t/K)^{n-2} \cdot \frac{(n-1) \cdot e^{-t/K}}{\Gamma n} + \frac{(-1)}{K^2} (t/K)^{n-1} \cdot \frac{e^{-t/K}}{\Gamma n} = 0$$

$$(n - 1) - (t/K) = 0 \quad \therefore t_{pico} = K(n-1)$$

A vazão de pico será:

$$h_{0max} = \frac{1}{K\Gamma n} \cdot (n - 1)^{n-1} \cdot e^{1-n}$$

Para a determinação dos valores ótimos dos parâmetros n e K , na aplicação de seu modelo, Nash, utilizou o método de comparação dos momentos, ou seja, calculou os momentos da entrada e da resposta, e relacionou-os aos momentos do HUI. Obtendo vários pares de parâmetros, representativos de várias bacias, na complementação de seu estudo, procurou encontrar correlações entre esses parâmetros e as características físicas das mesmas.

1.3.6. Hidrogramas Unitários Sintéticos

O processo do HU aplica-se às bacias, nas quais sejam disponíveis dados de precipitações e descargas para períodos comuns de observação. As séries de observações de precipitações são normalmente mais extensas que as de descargas. Isto determinou o surgimento de técnicas para a obtenção dos HU, mesmo para bacias não dotadas de observações.

A forma do HU de uma bacia deve apresentar uma maior ou menor dependência, com determinadas características físicas da mesma. Então, partindo desta idéia, utilizam-se os hidrogramas unitários e as características físicas de bacias com registros, para a pesquisa de possíveis correlações; num estudo desse tipo, os HU devem ser definidos por um pequeno número de parâmetros, a fim de possibilitar o estabelecimento de correlações significantes.

A etapa final consiste, então, na obtenção dos HU das bacias sem observações hidrométricas, a partir do conhecimento de suas características físicas e das correlações estabelecidas anteriormente.

Podem ser observadas duas linhas de pesquisa principais sobre os HU Sintéticos, segundo DOOGE (1973).

Enquanto a primeira linha de estudo admite

que cada bacia tem um único HU, a outra considera que os HU de todas as bacias possam ser representados por uma curva (ou família de curvas), ou então, por uma equação.

As origens do primeiro ramo, estão no Método Racional, que foi modificado para considerar o efeito da distribuição não uniforme da precipitação.

Os trabalhos iniciais do segundo ramo foram pouco flexíveis, pois o HU era descrito por um único parâmetro; na evolução desta linha, os HU passaram a ser descritos por dois parâmetros.

Atualmente houve uma aproximação desses ramos, passando a constituir a parte da Hidrologia dita Paramétrica, onde surgiu a preferência da utilização de modelos com algum significado físico, em lugar de procedimentos empíricos.

Dentre os trabalhos mais conhecidos, apresentam-se os seguintes.

- Método de Commons - este método considera a existência de apenas uma forma para os HU de todas as bacias, onde as diferenças são apenas de escala. Foi proposta a utilização do HU, na forma adimensional.

- Método de Snyder - o autor do procedimento tomou alguns elementos do HU (tempo desde o centro de massa da precipitação até o pico do hidrograma, descarga de pico, tempo básico do hidrograma) e para eles determinou relações com as características físicas da bacia, (comprimento do curso principal, distância do centro de gravidade da bacia à seção de saída) que permitem estabelecer o HU de forma aproximada.

- Método de Getty e McHughs - este método relaciona a descarga máxima, em termos de descargas específicas

cas, ao comprimento do curso principal e do trecho que separa a seção de saída do centro de gravidade da bacia, e ainda à declividade do curso principal.

Entre os trabalhos mais recentes, tem-se os seguintes estudos: GUPTA (1974) desenvolveu uma expressão que representa os hidrogramas de escoamento superficial. A maior dificuldade deste estudo, quando se pensa em utilizá-lo em síntese de hidrogramas, é o número de parâmetros necessários para completa definição dos hidrogramas. A forma da equação desenvolvida é similar a muitos trabalhos, como o de Nash, e outros já citados. Outro modelo foi estudado por REED et alii (1975), onde a analogia dos reservatórios em cascata foi ampliada, introduzindo mais um parâmetro, para permitir a aplicação para bacias que apresentam tempos de retardo variáveis; esse modelo é não-linear.

1.4. Otimização

Em décadas passadas, as análises no campo da Hidrologia apresentavam um grau de subjetividade muito grande; com o desenvolvimento de técnicas de apoio, aos estudos hidrológicos, tais como métodos numéricos, técnicas computacionais, etc., apareceu, naturalmente, a necessidade de maior objetividade nessa espécie de trabalho.

Nos modelos que procuram representar o HUI, por exemplo, aparecem parâmetros, que devem ser determinados a partir de observações pluvio-hidrométricas das bacias hidrográficas. O HUI é operador do sistema, atuando na transformação de chuva em descargas, e os parâmetros a adotar para o mesmo serão os que conseguirem aproximá-lo o máximo possível do operador real do sistema. Deve ser definida uma medida objetiva que indique a situação de máxima aproximação, (minimização da soma dos quadrados das diferenças entre os valores observados e os calculados, minimização da máxima diferença, entre outros, são critérios objetivos disponíveis

para utilização).

Em estudos de otimização é comum a expressão "função objetiva", a qual representa uma determinada equação ou um critério que permite a busca da solução ótima, (mínimo ou máximo).

O método de otimização a utilizar dependerá do número de parâmetros e da complexidade da função objetiva, entre outros fatores.

Um número pequeno de parâmetros, quando a função objetiva é conhecida explicitamente, justifica a aplicação de métodos mais simples de otimização.

O método de Newton-Raphson, que é um dos métodos simples de otimização, pode ser usado nesses casos.

Quando a função objetiva é bem comportada (apresenta apenas um mínimo ou máximo) a aplicação deste método é extremamente vantajosa devido à convergência muito rápida para o ponto ótimo. No outro caso (mal comportada) exige-se que a estimativa inicial para os parâmetros não seja afastada da solução ótima, o que implica, às vezes, uma análise prévia da conformação da função objetiva.

Se os parâmetros tem algum significado físico, o campo de valores concordantes a esse significado, é restrito. Isto representa um aspecto favorável no Método de Newton-Raphson, pois este método permite encontrar o mínimo ou máximo, dentro da região onde foram fixados os valores iniciais dos parâmetros.

A necessidade das derivadas da função objetiva, com relação aos parâmetros que a descrevem, representa um desenvolvimento acadêmico interessante.

Num trabalho realizado por BETSON et alii

(1968) foi utilizado o Método de Newton-Raphson, onde as derivadas não foram desenvolvidas analiticamente, e a sua obtenção foi numérica, o que exige extensos cálculos, mesmo trabalhando-se com computador.

1.5. Análise e síntese de sistemas

Será realizada num primeiro estágio, uma análise de diversas bacias, onde são conhecidas as precipitações efetivas (entradas) e as descargas (respostas), e se determinará o operador do sub-sistema (através do conhecimento dos valores ótimos dos parâmetros que descrevem-no).

Obtidos valores médios representativos desses parâmetros, para cada bacia, busca-se correlacioná-los às características físicas das mesmas (regionalização de parâmetros).

Num segundo estágio, a regionalização estabelecida, junto com características físicas de uma outra bacia, seriam utilizados para determinação do operador deste novo sistema, independente de outras informações.

S E G U N D A P A R T E

M E T O D O L O G I A P R O P O S T A

CAPÍTULO 2 - EXPOSIÇÃO DA METODOLOGIA

2.1. Apresentação global

Neste estudo, a bacia hidrográfica é considerada um sistema linear, causal e invariável no tempo, na transformação da chuva efetiva em escoamento superficial.

Na primeira parte, correspondente a identificação do comportamento desse sistema, são necessários:

- a) Dados de descargas relativas ao escoamento superficial.
- b) Precipitações efetivas correspondentes.

O operador do sistema ficará determinado pelo conhecimento dos valores otimizados dos parâmetros que descrevem os hidrogramas unitários; para isto adota-se, inicialmente, uma determinada forma para o hidrograma unitário instantâneo (HUI); este hidrograma unitário pode ser, então, relacionado aos hidrogramas unitário de qualquer duração (HUT), usando a equação 2a (o limite inferior é zero quando $t \leq T$).

$$h_T(t) = \frac{1}{T} \int_{t-T}^t h_0(\tau) d\tau \quad (2a)$$

Como critério de otimização escolheu-se a minimização da soma dos quadrados das diferenças entre vazões observadas e calculadas.

$$Z = \sum_{i=1}^M \{Y(I) - HI(I)\}^2 \quad (2b)$$

onde,

- Z → função objetiva
- Y(I) → vazões observadas
- HI(I) → vazões calculadas na convolução, conforme a equação 1g
- M → limite do número de ordenadas das descargas.

A forma em que aparecem as vazões observadas determinou a necessidade de se passar o HUT para a forma de histograma. Para esta transformação utilizou-se a equação

$$h(t) = \frac{1}{D} \int_{t-D}^t h_T(t) dt \quad (2c)$$

onde,

$h(t)$ → ordenada média do HUT no intervalo $\{t; t - D\}$

D → intervalo de cada degrau do histograma.

A pesquisa do mínimo da função Z deve ser feita por algum método de otimização. O número reduzido de parâmetros (2) permite a utilização do Método de Newton-Raphson. A exigência da obtenção das derivadas da função objetiva com relação aos parâmetros do HUI, pode representar um obstáculo dependendo da complexidade do HUI adotado; no entanto, é possível contornar esse tipo de problema. A simplicidade do método e a sua eficiência no caso de poucos parâmetros, bem justifica a sua utilização.

Para familiarização com o procedimento de otimização, adota-se, inicialmente uma forma triangular para o HUI e estuda-se o comportamento de Z . As ordenadas desse HUI são dadas por duas expressões, uma representando o ramo ascendente e a outra o descendente.

No Modelo Nash, que é a forma do HUI a ser analisada com maior profundidade, uma única expressão descreve todas as ordenadas do HUI.

Depois de considerados esses aspectos gerais, está-se em condições de apresentar uma visão global da forma como são tratados e ligados os elementos componentes da metodologia a seguir apresentada.

2.1.1 Método de Newton-Raphson (detalhes em 2.2.2)

As derivadas da função objetiva com relação aos parâmetros do HUI, P_1 e P_2 , necessárias ao método de otimização são:

$$S_1 = \frac{\partial Z}{\partial P_1}; S_2 = \frac{\partial Z}{\partial P_2}; S_3 = \frac{\partial^2 Z}{\partial P_1^2}; S_4 = \frac{\partial^2 Z}{\partial P_2^2}; S_5 = \frac{\partial^2 Z}{\partial P_1 \partial P_2}$$

Essas derivadas são funções das ordenadas e das derivadas dos hidrogramas unitário de T horas (HUT) sob a forma de histograma, que aparecem em 2.2.1, os quais, por sua vez, são funções sucessivas do HUT contínuo e HUI.

Descrevem-se os passos principais, de forma direta, para permitir uma melhor compreensão do encadeamento das diferentes partes da metodologia desenvolvida, nos parágrafos seguintes.

2.1.1.1 HUI de forma triangular (detalhes em 2.3.1)

Definem-se inicialmente, as ordenadas do HUI para os dois trechos já referidos: ramo de ascensão e ramo descendente. Devem ser buscadas as ordenadas do HUT para esses dois casos citados. No entanto, sendo as ordenadas do HUT determinadas pela integral definida 2a, a expressão analítica dessas ordenadas, dependerá dos limites dessa integral. Por essa razão são estabelecidos três conjuntos de casos dependentes da duração da chuva T comparada ao tempo de pico TP e ao tempo de base N, definidos pelas desigualdades abaixo:

$$T \leq TP; TP < T \leq N; N < T$$

que definem os três grupamentos estudados.

As fórmulas dos diferentes casos em cada grupamento são utilizadas em separadas ou combinadas. As expressões do primeiro grupamento são as do Tipo I a VI; as do se-

gundo grupamento englobam os Tipos VII e VIII, além de casos semelhantes ao primeiro grupamento. Finalmente, o terceiro grupamento acrescenta apenas um tipo de expressão diferente das anteriores, que é a do Tipo IX.

A classificação em nove tipos de equações permite um maior dinamismo na aplicação da metodologia aliado à simplicidade para programação posterior.

A etapa seguinte refere-se à obtenção do HUT na forma de histograma, pois as descargas observadas são dadas nesta forma (Ítem 2.3.1.4); para esse objetivo deve ser utilizada a equação 2c. Evidentemente os tipos de equações serão análogas às nove já definidas.

O desenvolvimento das derivadas do HUT (histograma) (Ítem 2.3.1.5), é necessário à aplicação do método de otimização escolhido. As derivadas primeira e segunda do HUT em relação aos parâmetros TP e QP são calculadas para cada um dos nove tipos de expressões. Essas derivadas são parte integrante das expressões das derivadas da função objetiva, que são as que interessam à otimização.

2.1.1.2 HUI com a forma da distribuição gama (Modelo Nash)

Nesta forma do HUI tem-se apenas uma equação que descreve todas as ordenadas. Trata-se da equação 1L, cujos parâmetros são n e k.

A transformação desse HUI no HUT sob a forma de histograma é apresentada em 2.3.2.1. Na forma triangular do HUI, tinha-se uma relativa facilidade para a solução sucessiva das integrais 2a e 2c; agora a expressão do HUI não pode ser integrada de forma simples. Optou-se, então, por um caminho diverso do precedente. A integral 2d é uma aglutinação das duas integrais referidas acima, que determina o HUT (histograma), a partir do HUI.

$$h(t) = \frac{1}{D} \int_{t-D}^t \frac{1}{T} \left\{ \int_{t-T}^t h_0(\tau) d\tau \right\} dt \quad (2d)$$

A sua solução é obtida numericamente, pela extensão do método da "Quadratura de Gauss" às integrais repetidas.

Em vez de se obterem expressões analíticas para $h(t)$ {HUT(histograma)}, chega-se a ele, diretamente, partindo-se do HUI, sem precisar conhecer o HUT contínuo, embora este possa ser obtido, também, numericamente sem dificuldade.

A obtenção das derivadas do HUT (histograma) é detalhada nos itens 2.3.2.2 e 2.3.2.3. Seguindo o desenvolvimento anterior pode ser aplicado o mesmo método numérico, para se obter as derivadas, desde que sejam conhecidas as expressões analíticas das derivadas do HUI. Por exemplo, a integral repetida

$$\frac{\partial h(t)}{\partial n} = \frac{1}{D} \int_{t-D}^t \frac{1}{T} \left\{ \int_{t-T}^t \frac{\partial h_0(\tau)}{\partial n} d\tau \right\} dt$$

é de forma semelhante a expressão 2d, a menos de $h_0(\tau)$ e $\frac{\partial h_0(\tau)}{\partial n}$.

Dessa forma obtém-se todas as derivadas necessárias ao processo de otimização para o HUI representado pela distribuição gama.

2.1.2 Otimização dos parâmetros

Os diversos elementos obtidos, analítica ou numericamente, tais como equações para as ordenadas dos HUI, HUT contínuo e HUT sob a forma de histograma e as derivadas

dessas equações, são juntadas às observações pluvio-hidrométricas já referidas, compondo um conjunto de dados que, trabalhado adequadamente, produzirá os parâmetros otimizados do HUI através de programas para computador.

Num programa desse tipo, a ordem sequencial de ligação entre os elementos, seria como se descreve abaixo.

- 1- Obtenção das descargas de escoamento superficial observadas.
- 2- Obtenção da precipitação efetiva correspondente.
- 3- Escolha dos valores iniciais para os parâmetros.
- 4- A partir desses valores, calcular o HUT (histograma) e suas derivadas.
- 5- Com a chuva efetiva, o HUT (histograma) e suas derivadas executa-se a convolução, obtendo-se o Hidrograma calculado $\{HI(I)\}$ e suas derivadas para a iteração inicial ou, depois para cada iteração.
- 6- Com esses elementos, pode ser calculada a correção necessária para cada parâmetro (Método de Newton Raphson).
- 7- Se a correção de cada parâmetro for inferior à precisão desejada, então terá sido alcançado o ponto crítico da função objetiva; em caso contrário repete-se os itens 4 a 7.
- 8- Verificação se o ponto crítico corresponde a um mínimo, através das derivadas ou do valor da função objetiva.
- 9- Se não foi alcançado o mínimo, deve ser adotada nova estimativa para os parâmetros.

Observação: verificou-se, posteriormente, que a maioria dos casos leva à convergência. No entanto, quando se tem dificuldade para algum evento, a conformação da função objetiva deve ser estudada.

No item 2.4 são apresentados os fluxogramas dos programas utilizados. Deve ser referido que os fluxogramas tem uma caracterização global e não apresentam detalhes, para simplicidade na apresentação.

2.2 Procedimento para obtenção dos parâmetros

2.2.1 Aspectos gerais

É necessário obter-se expressões que permitam relacionar a função objetiva e suas derivadas, de uma forma explícita, aos parâmetros que descrevem o HUI.

Isso representa uma evolução desde a equação

$$h_0(t) = f_0(P_1, P_2)$$

onde,

P_1 e P_2 são os parâmetros,

atê a função

$$Z = f(P_1, P_2) = \sum_{I=1}^M \{Y(I) - HI(I)\}^2$$

e suas derivadas. O hidrograma calculado é dado, nesta expressão por

$$HI(I) = \sum_{J=1}^I h(J) \cdot x(K)$$

onde,

$h(J)$ → ordenada do HUT (histograma)
 $x(K)$ → ordenada de precipitação efetiva
 K → $(I - J + 1)$

As derivadas são individualizadas como:

$$S_1 = \frac{\partial Z}{\partial P_1} = \sum_{I=1}^M \{-2 \cdot [Y(I) - HI(I)] \cdot \sum_{J=1}^I x(K) \cdot \frac{\partial h(J)}{\partial P_1}\}$$

$$S_2 = \frac{\partial Z}{\partial P_2} = \sum_{I=1}^M \{-2[Y(I)-HI(I)] \sum_{J=1}^I x(K) \frac{\partial h(J)}{\partial P_2}\}$$

$$S_3 = \frac{\partial^2 Z}{\partial P_1^2} = \sum_{I=1}^M \{-2[Y(I)-HI(I)] \sum_{J=1}^I x(K) \frac{\partial^2 h(J)}{\partial P_1^2} + 2 \left[\sum_{J=1}^I x(K) \frac{\partial h(J)}{\partial P_1} \right]^2\}$$

$$S_4 = \frac{\partial^2 Z}{\partial P_2^2} = \sum_{I=1}^M \{-2[Y(I)-HI(I)] \sum_{J=1}^I x(K) \frac{\partial^2 h(J)}{\partial P_2^2} + 2 \left[\sum_{J=1}^I x(K) \frac{\partial h(J)}{\partial P_2} \right]^2\}$$

$$S_5 = \frac{\partial^2 Z}{\partial P_1 \partial P_2} = \sum_{I=1}^M \{-2[Y(I)-HI(I)] \sum_{J=1}^I x(K) \frac{\partial^2 h(J)}{\partial P_1 \partial P_2} + 2 \left[\sum_{J=1}^I x(k) \frac{\partial h(J)}{\partial P_1} \sum_{J=1}^I x(K) \frac{\partial h(J)}{\partial P_2} \right]\}$$

2.2.2 Método de Newton-Raphson

Originalmente este método foi criado para encontrar as raízes de uma dada equação

$$y = f(x)$$

como mostra a figura 2a. A extensão, para encontrar máximos e mínimos de uma equação ou de um sistema de equações, é imediata. Quando se considera a função

$$Z = f(P_1, P_2)$$

ter-se-á um ponto crítico (máximo, mínimo ou outro ponto particular) quando as derivadas primeiras se anularem

$$S_1 = f_1(P_1, P_2) = 0$$

e,

$$S_2 = f_2(P_1, P_2) = 0$$

MÉTODO DE NEWTON-RAPHSON

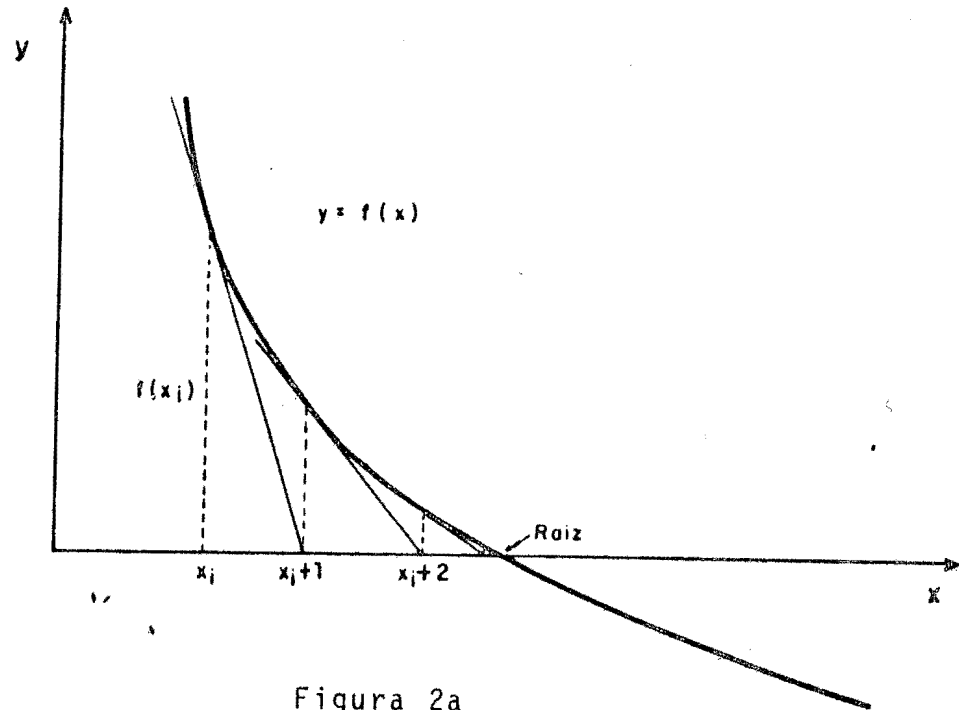


Figura 2a

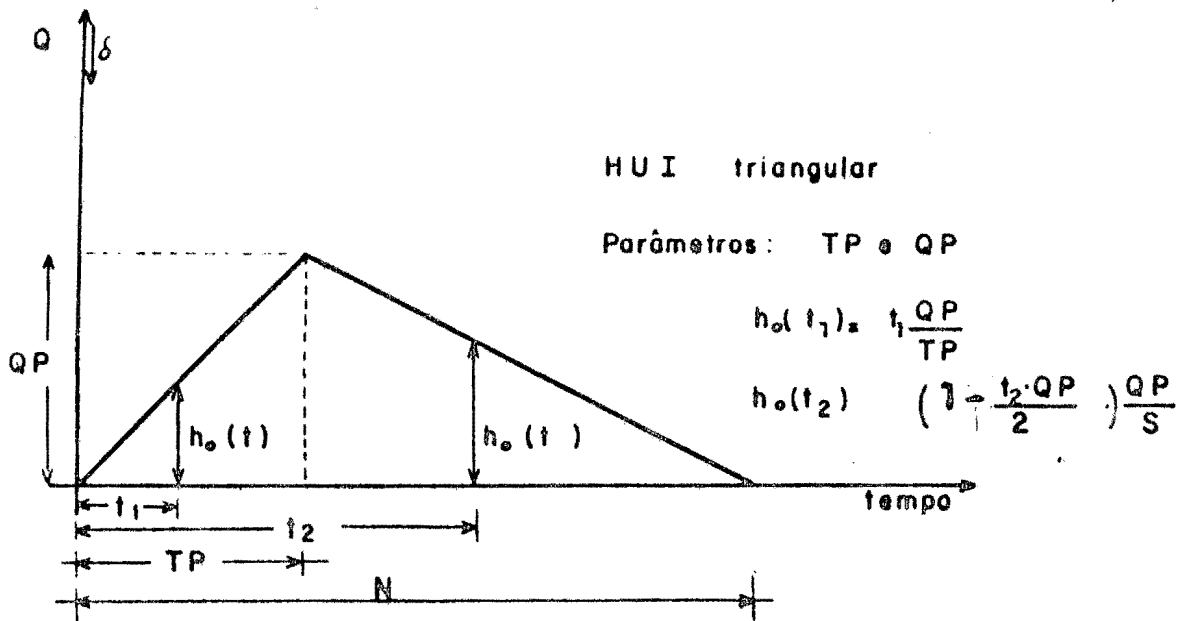


Figura 2b

Para se chegar aos valores P_1 e P_2 que anulam S_1 e S_2 , estimam-se valores iniciais para os parâmetros (P_1^0 e P_2^0). Existem diferenças entre as estimativas e os valores reais, dadas por:

$$\begin{aligned}\Delta P_1^0 &= P_1 - P_1^0 \\ \Delta P_2^0 &= P_2 - P_2^0\end{aligned}$$

Pode ser escrito, ainda, que:

$$\begin{aligned}S_1 &= f_1(P_1^0 + \Delta P_1^0, P_2^0 + \Delta P_2^0) = 0 \\ S_2 &= f_2(P_1^0 + \Delta P_1^0, P_2^0 + \Delta P_2^0) = 0\end{aligned}$$

Fazendo uma expansão dessas duas expressões, em séries de Taylor, tem-se

$$S_1 + \frac{\partial S_1}{\partial P_1} \cdot \Delta P_1^0 + \frac{\partial S_1}{\partial P_2} \cdot \Delta P_2^0 + \dots = 0$$

$$S_2 + \frac{\partial S_2}{\partial P_1} \cdot \Delta P_1^0 + \frac{\partial S_2}{\partial P_2} \cdot \Delta P_2^0 + \dots = 0$$

Nessas duas equações as funções S_1 , S_2 , $\frac{\partial S_1}{\partial P_1}$, $\frac{\partial S_2}{\partial P_1}$, $\frac{\partial S_1}{\partial P_2}$ e $\frac{\partial S_2}{\partial P_2}$ são conhecidas e calculadas com os valores P_1^0 e P_2^0 .

Então, está formado o sistema de equações nas incógnitas ΔP_1^0 e ΔP_2^0 , cuja solução indicará as correções necessárias aos parâmetros. Na segunda iteração os parâmetros terão os valores

$$\begin{aligned}P_1^1 &= P_1^0 + \Delta P_1^0 \\ P_2^1 &= P_2^0 + \Delta P_2^0\end{aligned}$$

onde,

ΔP_1^0 e $\Delta P_2^0 \rightarrow$ são correções parciais, uma vez que as séries de Taylor são tomadas incompletas

Com o par P_1^1 e P_2^1 , procede-se da mesma forma como foi feito para P_1^0 e P_2^0 .

No fim da segunda iteração ter-se-á:

$$\begin{aligned} P_1^2 &= P_1^1 + \Delta P_1^1 \\ P_2^2 &= P_2^1 + \Delta P_2^1 \end{aligned}$$

O processo é repetido até que as correções sejam inferiores à precisão desejada.

Assim, são encontrados os valores P_1 e P_2 que anulam as derivadas primeiras.

A etapa seguinte é a verificação se foi alcançado um mínimo. As condições, para que o ponto crítico encontrado seja um mínimo, são as seguintes:

$$a) \quad [S_5^2 - S_3 \cdot S_4] < 0$$

$$b) \quad S_3 \text{ e } S_4 > 0$$

Um modo mais rápido para concluir a ocorrência de mínimo, seria através da observação dos valores da função objetiva em cada iteração. Obviamente se essa função decresce em cada passo, normalmente caminha-se para um mínimo.

Esse procedimento é repetido para cada hidrograma observado, obtendo-se, então, para cada caso os parâmetros otimizados do HUI.

2.3. Funções usadas para o Hidrograma Unitário Instantâneo

Já foi salientado que a forma da distribui-

ção gama ou Modelo Nash para o HUI, constitui o objetivo principal do trabalho; no entanto, como não se tinha informações prévias do comportamento do método de otimização escolhido, procurou-se numa primeira experiência, utilizar uma forma triangular para o HUI, que permite um acompanhamento mais fácil dos resultados obtidos.

2.3.1 Forma triangular

Os parâmetros do HUI para este caso são o tempo de pico (TP) e a vazão de pico (QP). Para satisfazer a condição de área unitária do HUI, o seu tempo de base (N) fica definido pela expressão abaixo e está indicado na figura 2b.

$$N = 2./QP$$

A transformação do HUI para o HUT, deve ser tratada para três situações diferentes, determinadas pela duração da precipitação efetiva (T), comparada aos tempos de pico e de base.

O HUI é descrito por dois tipos de equações, conforme a ordenada seja do ramo ascendente ou do ramo descendente. No ramo ascendente a expressão é

$$h_0(t) = t \cdot \frac{QP}{TP}$$

enquanto, no ramo descendente a expressão tem forma diferente, como se apresenta abaixo.

$$h_0(t) = (1 - t \cdot QP/2.) \frac{QP}{(1 - TP \cdot QP/2)}$$

A transformação dessas equações para resultar no HUT, faz-se utilizando a integral 2a, resultando

quando $t \leq TP$

$$h_T(t) = \left[\frac{t^2 \cdot QP}{2 \cdot T \cdot TP} \right]_{L_1}^{L_2} \quad (2e)$$

e quando $t > TP$

$$h_T(t) = \left\{ -\frac{1}{TS} \left[1 - \frac{t \cdot QP}{2} \right]^2 \right\}_{L_1}^{L_2} \quad (2f)$$

onde,

$L_1, L_2 \rightarrow$ são limites de integração a serem definidos, para cada caso particular.

$$S = (1 - TP \cdot QP/2)$$

2.3.1.1 Estudo do primeiro grupamento de equações ($T \leq TP$)

Para simplicidade na análise, reduz-se os casos a considerar, com as seguintes restrições:

- 1º) Não se analisa situações em que N seja menor do que $2TP$, ou seja, não se admite o ramo descendente do HUI menor do que o ramo ascendente;
- 2º) O intervalo de cada degrau do histograma das descargas dos hidrogramas observados ou HU, deve ser menor ou igual a duração da chuva.

Com isso, os casos que devem ser considerados aparecem na figura 2c.

1º caso: quando $0 < t \leq T$ utiliza-se a equação 2e, onde $L_1 = 0$ e $L_2 = t$, resultando para a ordenada do HUT

$$h_T(t) = \frac{1}{2} \frac{t^2 \cdot QP}{T \cdot TP} \quad \{\text{Expressão Tipo I}\}$$

2º caso: quando $T < t \leq TP$ ainda utiliza-se a equação 2e, onde $L_1 = t-T$ e $L_2 = t$, produzindo

$$h_T(t) = \frac{2 \cdot t - T}{2} \cdot \frac{QP}{TP} \quad \{\text{Expressão Tipo II}\}$$

3º caso: quando $TP < t \leq TP + T$ utilizam-se a equação 2e, onde $L_1 = t-T$ e $L_2 = TP$, e a equação 2f, onde $L_1 = TP$ e $L_2 = t$, sendo que as ordenadas nessa situação ficam dadas pela soma de duas parcelas:

$$1^\circ \text{ Parcela} \quad h_T(t) = \frac{1}{2} \cdot \frac{QP}{T \cdot TP} [TP^2 - (t-T)^2] \quad \{\text{Expressão Tipo III}\}$$

$$2^\circ \text{ Parcela} \quad h_T(t) = \frac{1}{TS} [S^2 - (1 - \frac{t \cdot QP}{2})^2] \quad \{\text{Expressão Tipo IV}\}$$

4º caso: quando $TP + T < t \leq N$ utiliza-se a equação 2f, onde $L_1 = t-T$ e $L_2 = t$, resultando:

$$h_T(t) = [1 - \frac{t \cdot QP}{2} + \frac{T \cdot QP}{4}] \cdot \frac{QP}{S} \quad \{\text{Expressão Tipo V}\}$$

5º caso: quando $t > N$, utiliza-se a equação 2f, onde $L_1 = t-T$ e $L_2 = N$, produzindo

$$h_T(t) = \frac{1}{TS} [1 - (t-T) \cdot \frac{QP}{2}]^2 \quad \{\text{Expressão Tipo VI}\}$$

Quando da elaboração do programa, foram consideradas as combinações possíveis desses cinco casos.

2.3.1.2 Estudo do segundo grupamento de equações ($N \geq T > TP$)

Existem várias situações a considerar, sendo que algumas delas são semelhantes ao grupamento anterior e isto será indicado.

6º caso: quando $N > t > TP$

8º caso: quando $N < t \leq T$ utilizam-se a equação 2e, com $L_1 = 0$ e $L_2 = TP$, e a equação 2f com $L_1 = TP$ e $L_2 = N$, sendo as duas parcelas dadas por:

$$1ª Parcela \quad h_T(t) = \frac{1}{2} \cdot \frac{TP \cdot QP}{T}$$

$$2ª Parcela \quad h_T(t) = \frac{S}{T}$$

que somadas resulta

$$h_T(t) = \frac{1}{T} \quad \{\text{Expressão Tipo IX}\}$$

3º caso: quando $T < t \leq TP + T$, resulta na soma das Expressões Tipo III e Tipo IV.

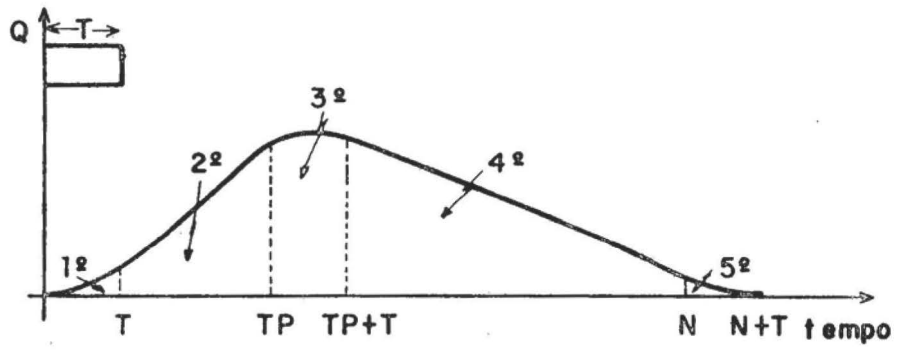
5º caso: quando $t > TP + T$, resulta na Expressão Tipo VI.

As combinações também foram consideradas, como mostra a figura 2f.

2.3.1.4 Obtenção das expressões que representam o HUT sob a forma de histograma

Basicamente o procedimento agora, consiste no manuseio das nove equações, já delineadas para as diversas situações do HUT, através da integral 2c que faz a transformação do HUT contínuo para o HUT histograma.

Mostra-se detalhadamente o procedimento para a Expressão Tipo I.



Casos HUT ($T < TP$)

Figura 2c

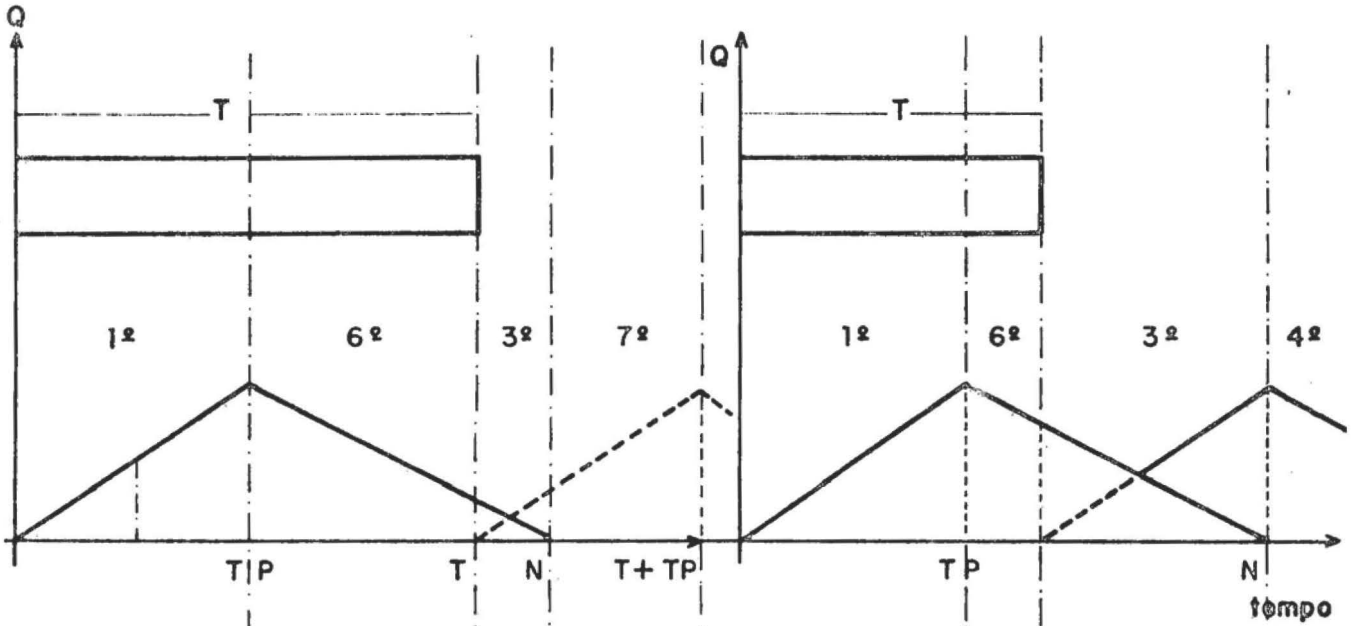


Figura 2d

Figura 2e

Casos a considerar $TP < T < N$

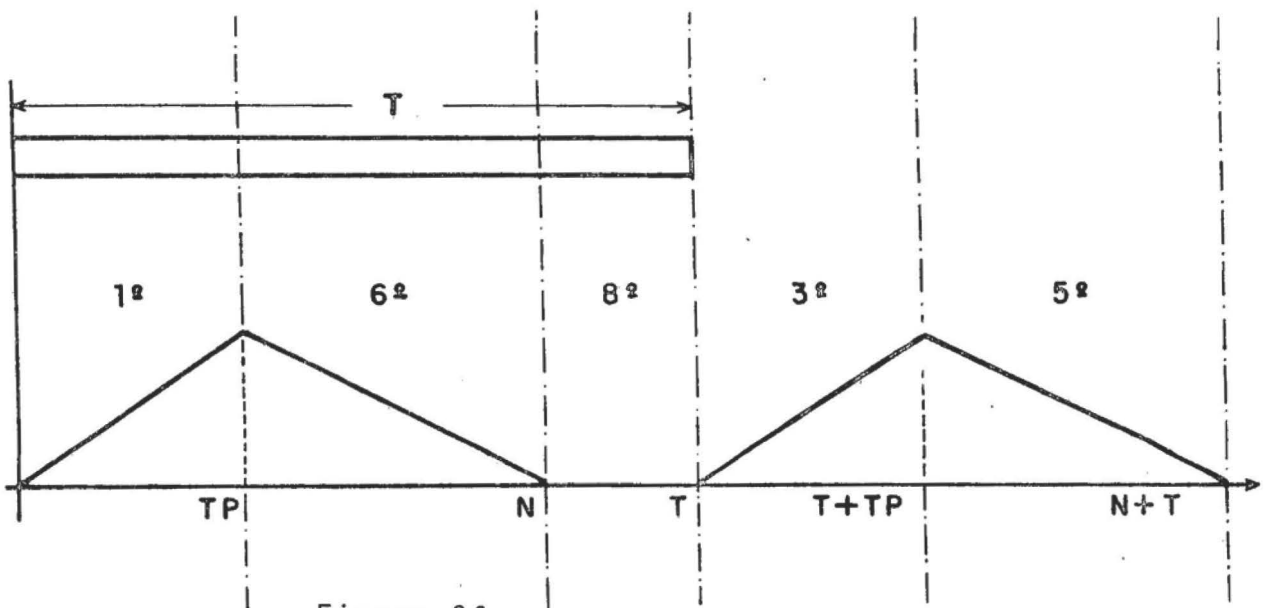


Figura 2f

Casos a considerar $T > N$

$$h_T(t) = \frac{1 \cdot t^2 \cdot QP}{2 \cdot T \cdot TP}$$

utilizando a integral 2c para a transformação

$$h(t) = \frac{1}{D} \int_{t-D}^t \frac{1 \cdot t^2 \cdot QP}{2 \cdot T \cdot TP} \cdot dt$$

produzindo para o HUT histograma a equação

$$h(t) = \frac{1 \cdot \{t^3 - (t-D)^3\} \cdot QP}{6 \cdot D \cdot T \cdot TP}$$

As demais expressões tem um desenvolvimento análogo, mostrando-se, portanto, apenas a expressão resultante para o HUT histograma em cada caso.

Expressão Tipo II

$$h(t) = \frac{2t - T - D \cdot QP}{2 \cdot TP}$$

Expressão Tipo III

$$h(t) = \frac{[TP^2 \cdot D - (t-T)^3 / 3 + (t-T-D)^3 / 3] \cdot QP}{2 \cdot D \cdot T \cdot TP}$$

Expressão Tipo IV

$$h(t) = \frac{\{S^2 \cdot D + (2/3QP)[(1-t \cdot QP/2)^3 - (1-(t-D)QP/2)^3]\}}{D \cdot T \cdot S}$$

Expressão Tipo V

$$h(t) = [1 + (D+T-2 \cdot t) \cdot \frac{QP}{4}] \cdot \frac{QP}{S}$$

Expressão Tipo VI

$$h(t) = \frac{2 \cdot \{ [1 - (t - T - D) \cdot QP/2]^3 - [1 - (t - T) \cdot QP/2]^3 \}}{3 \cdot D \cdot T \cdot S \cdot QP}$$

Expressão Tipo VII

$$h(t) = \frac{1}{2} \cdot \frac{TP \cdot QP}{T}$$

Expressão Tipo VIII

$$h(t) = \frac{S}{T}$$

Expressão Tipo IX

$$h(t) = \frac{l}{T}$$

2.3.1.5 Derivadas das ordenadas do HUT histograma

As derivadas necessárias à aplicação do método de otimização

$$\frac{\partial h}{\partial TP}; \frac{\partial^2 h}{\partial TP^2}; \frac{\partial h}{\partial QP}; \frac{\partial^2 h}{\partial QP^2}; \frac{\partial^2 h}{\partial TP \partial QP} = \frac{\partial^2 h}{\partial QP \partial TP}, \text{ devem ser desenvolvidas.}$$

desenvolvidas.

Para aglutinação das expressões, definem-se os seguintes elementos auxiliares:

$$B = t - D$$

DERIVADAS DO HUT TRIANGULAR

Expressão Tipo	$\partial h(t)/\partial TP$	$\partial^2 h(t)/\partial TP^2$	$\partial h(t)/\partial QP$
I	$-\frac{(t^3 - B^3).QP}{6.D.T.TP^2}$	$\frac{(t^3 - B^3).QP}{3.D.T.TP^3}$	$\frac{t^3 - B^3}{6.D.T.TP}$
II	$-\frac{(t + C).QP}{2.TP^2}$	$\frac{(t + C).QP}{TP^3}$	$\frac{t + C}{2.TP}$
III	$\frac{QP(TP^2D - E^3/3 + C^3/3)}{2.D.T.TP^2} + \frac{QP}{T}$	$\frac{(TP^2D - E^3/3 + C^3/3)QP}{D.T.TP^3} - \frac{QP}{T.TP}$	$\frac{TP^2.D - E^3/3 + C^3/3}{2.D.T.TP}$
IV	$-\frac{QP}{2.T} + \frac{FF3}{3.D.T.S^2}$	$\frac{FF3.QP}{3.D.T.S^3}$	$-\frac{TP}{2T} + \frac{2(QP.TP-1)FF3}{3.D.T.S^2.QP^2} + \frac{FF4}{D.T.S.QP}$
V	$\frac{(1 + F.QP).QP^2}{2.S^2}$	$\frac{(1 + F.QP).QP^3}{2.S^3}$	$\frac{1 + F.QP}{S^2} + \frac{F.QP}{S}$
VI	$\frac{FF3}{3.D.T.S^2}$	$\frac{FF3.QP}{3.D.T.S^3}$	$\frac{2.FF3(QP.TP - 1)}{3.D.T.S^2.QP^2} + \frac{FF4}{D.T.S.QP}$
VII	$\frac{QP}{2.T}$	0	$\frac{TP}{2.T}$
VIII	$-\frac{QP}{2.T}$	0	$-\frac{TP}{2.T}$
IX	0	0	0

Tabela 2 a

DERIVADAS DO HUT TRIANGULAR

Expressão Tipo	$\partial^2 h(t)/\partial QP^2$	$\partial^2 h(t)/\partial TP \partial QP$
I	0	$\frac{-\{t^3 - B^3\}}{6.D.T.TP^2}$
II	0	$\frac{-(t + C)}{2TP^2}$
III	0	$\frac{1}{T} \frac{\{TP^2.D - (E^3/3 - C^3/3)\}}{2.D.T.TP^2}$
IV	$\frac{FF3(3QP^2.TP^2 - 6TP.QP + 4)}{3.D.T.S^3.QP^3} + \frac{2(QP.TP - 1)FF4}{D.T.S^2.QP^2} + \frac{FF5}{D.T.S.QP}$	$-\frac{1}{2T} + \frac{FF3.TP}{3D.T.S^3} + \frac{FF4}{2.D.T.S^2}$
V	$\frac{TP(1 + F.QP)}{S^3} + \frac{2.F}{S^2}$	$\frac{QP(1 + F.QP)}{S^3} + \frac{F.QP^2}{2S^2}$
VI	$\frac{FF3(3QP^2.TP^2 - 6TP.QP + 4)}{3.D.T.S^3.QP^3} + \frac{2(QP.TP - 1)FF4}{D.T.S^2.QP^2} + \frac{FF5}{D.T.S.QP}$	$\frac{FF3.TP}{3D.T.S^3} + \frac{FF4}{2.D.T.S^2}$
VII	0	$\frac{1}{2T}$
VIII	0	$-\frac{1}{2T}$
IX	0	0

Tabela 2b

$$C = t - T - D$$

$$E = t - T$$

$$F = (D + T - 2 \cdot t) / 4$$

$$FF3 = (1 - t \cdot QP/2)^3 - (1 - B \cdot QP/2)^3$$

$$FF4 = -t(1 - t \cdot QP/2)^2 + B \cdot (1 - B \cdot QP/2)^2$$

$$FF5 = -C^2(1 - C \cdot QP/2) + E^2(1 - E \cdot QP/2)$$

Todas as derivadas obtidas, para cada uma das nove expressões, estão reunidas nas tabelas 2a e 2b.

2.3.2 HUI representado pela Função Gama Incompleta, ou Modelo Nash

As ordenadas do HUI, neste caso são descritas pela equação 1L.

$$h_0(t) = \frac{1}{K} \left(\frac{t}{K}\right)^{n-1} \cdot \frac{e^{-t/K}}{\Gamma n}$$

onde, todos os termos já foram definidos.

A transformação sucessiva, do HUI para o HUT contínuo, e deste para uma forma de histograma do HUT, seguirá um caminho diferente.

A solução analítica das integrais 2a e 2c, não é simples, quando se trata do Modelo Nash.

Procurou-se contornar essa dificuldade, através do uso de soluções numéricas, para essas integrais.

Não se pode perder de vista que, uma vez de finido um método numérico, que transforma as ordenadas do HUI em ordenadas do HUT sob a forma de histograma, a mesma solução poderá ser adaptada, para a transformação das derivadas do HUI nas derivadas do HUT, sob a forma de histogramas.

2.3.2.1 Método numérico proposto

As duas integrais 2a e 2c, podem ser juntadas na expressão:

$$h(t) = \frac{1}{D} \int_{t-D}^t \left\{ \frac{1}{T} \int_{t-T}^t h_0(\tau) d\tau \right\} dt$$

onde,

$h(t) \rightarrow$ ordenadas média do HUT, no intervalo $\{t; t-D\}$

As figuras 2g e 2h procuram ilustrar o caminho seguido até a obtenção de cada degrau do HUT (histo-grama). As ordenadas do HUT contínuo são obtidas com a inte-gral 2a. Depois de definido todo este hidrograma, para pas-sá-lo para forma de histograma usa-se a integral 2c.

Entre outras alternativas, escolheu-se pa-ra solução dessa dupla integração, um método numérico.

A grande vantagem desse caminho é a pos-sibilidade de evitar desenvolver as derivadas do HUT, desde que, elas sejam conhecidas para o HUI, obtendo-se as outras através do método numérico escolhido.

De modo geral, os processos numéricos, pa-ra integrais simples, estão baseados no cálculo do valor da função a ser integrada, em vários pontos do intervalo em que se busca a integral, aos quais são aplicados fatores de pon-deração, característicos do processo particular utilizado. Existem métodos nos quais as posições, dentro do intervalo, são igualmente espaçadas, e aplica-se um fator de pondera-ção, ou igual para todas as ordenadas (método do retângulo), ou diferenciado (Regra de Simpson e Método de Weddle).

Gauss observou que poderia obter maior

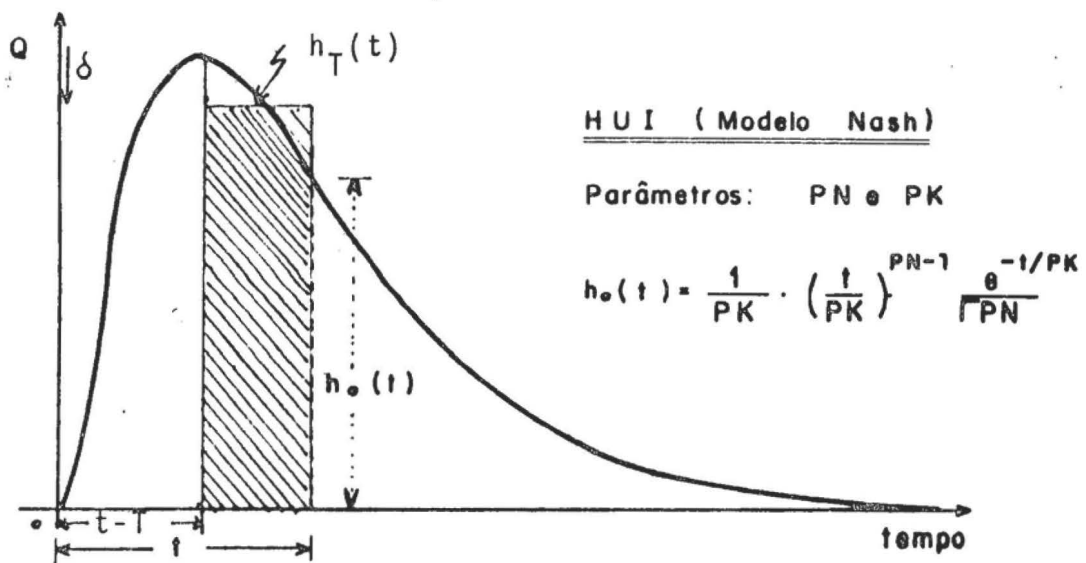


Figura 2g

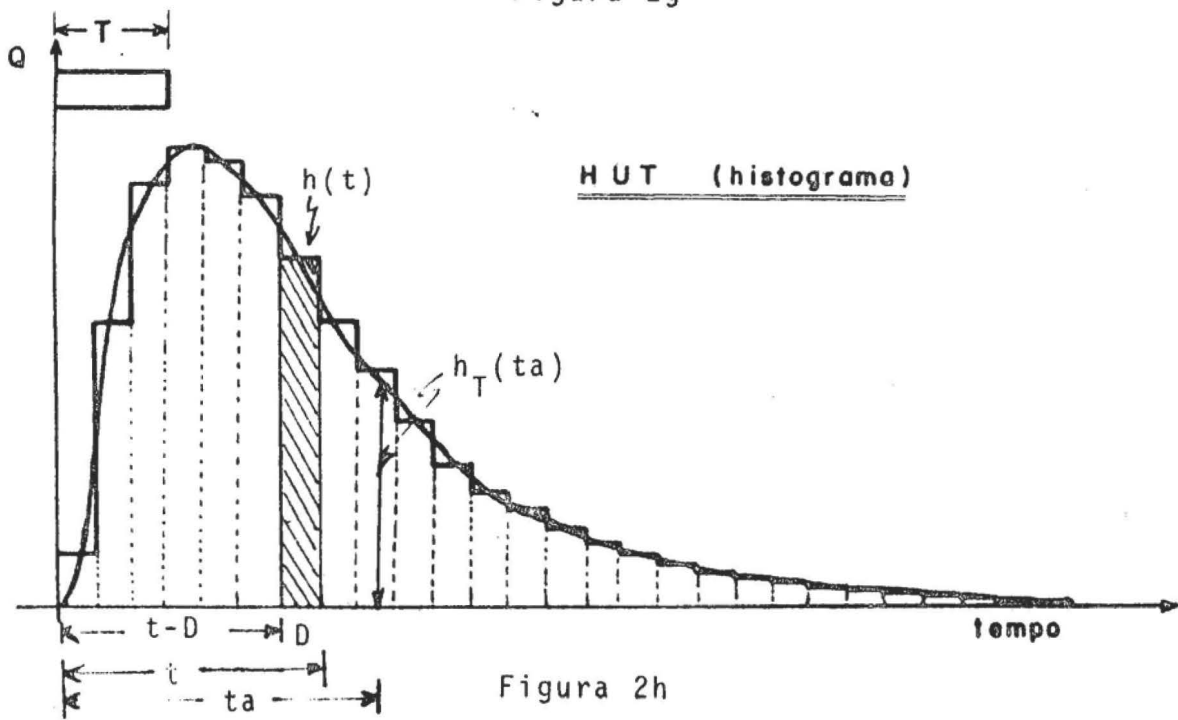


Figura 2h

precisão com um número fixo de pontos, se os espaçamentos entre os pontos e os fatores de ponderação correspondentes não contivessem restrições (Método de Quadratura de Gauss, descrição em anexo).

Optou-se por este procedimento (Quadratura de Gauss), devido à precisão que pode ser alcançada, e a considerável redução no tempo de computação necessário, em comparação aos outros processos.

Uma integral simples é obtida por:

$$I = \int_a^b f(x) dx = \frac{b-a}{2} \int_{-1}^1 \phi(u) du = \frac{b-a}{2} \cdot \sum_{i=1}^{np} K_i \cdot \phi(u_i)$$

onde,

$$\phi(u) = f\left[\frac{b-a}{2} \cdot u + \frac{a+b}{2}\right] = f(x)$$

K_i → fator de ponderação
 np → número de pontos

Para a solução da integral 2a, tem-se a expressão

$$h_T(t) = \frac{t-(t-T)}{2 \cdot T} \int_{-1}^1 \phi(u) du = \frac{1}{2} \cdot \sum_{i=1}^{np} K_i \cdot \phi(u_i)$$

onde,

$$\phi(u_i) = h_0\left[\frac{T}{2} \cdot u + \frac{2 \cdot t - T}{2}\right] = h_0(\tau)$$

$$\phi(u_i) = h_0(\tau_i)$$

e portanto,

$$h_T(t) = \frac{1}{2} \sum_{i=1}^{np} K_i \cdot h_0(\tau_i)$$

A representação gráfica da equação anterior, aparece na figura 2j, onde para $np = 4$ pontos, tem-se:

$$h_T(t) = \frac{1}{2} [K_1 \cdot h_0(\tau_1) + K_2 \cdot h_0(\tau_2) + K_3 \cdot h_0(\tau_3) + K_4 \cdot h_0(\tau_4)]$$

O que é buscado no final, é o HUT sob a forma de histograma. Para isto, tem-se que resolver a integral 2c.

A solução tem forma similar, como mostra a figura 2i, onde se busca a ordenada média do HUT no intervalo $\{ta; (ta-D)\}$; então,

$$h(ta) = \left\{ \frac{ta - (ta-D)}{2 \cdot D} \right\} \int_{-1}^1 \phi_1(u) du = \frac{1}{2} \sum_{i=1}^{np} K_i \phi_1(u_i)$$

onde,

$$\phi_1(u) = h_T \left[\frac{D}{2} \cdot u + \frac{2ta-D}{2} \right] = h_T(ta)$$

resultando, analogamente a $h_T(t)$,

$$h(ta) = \frac{1}{2} [K_1 \cdot h_T(ta_1) + K_2 \cdot h_T(ta_2) + K_3 \cdot h_T(ta_3) + K_4 \cdot h_T(ta_4)]$$

Como as ordenadas $h_T(t)$ são conhecidas, na forma numérica já apresentada, pode ser desenvolvida a expressão que define as ordenadas médias $h(t)$ relacionadas diretamente ao HUI.

Assim,

$$h_T(ta_1) = \frac{1}{2} [K_1 \cdot h_0(\tau_1 a_1) + K_2 \cdot h_0(\tau_2 a_1) + K_3 \cdot h_0(\tau_3 a_1) + K_4 \cdot h_0(\tau_4 a_1)]$$

e $h_T(ta_2)$, $h_T(ta_3)$, $h_T(ta_4)$, tem expressões análogas. Substituindo-se as expressões correspondentes dessas ordenadas, na equação de $h(ta)$, obtém-se

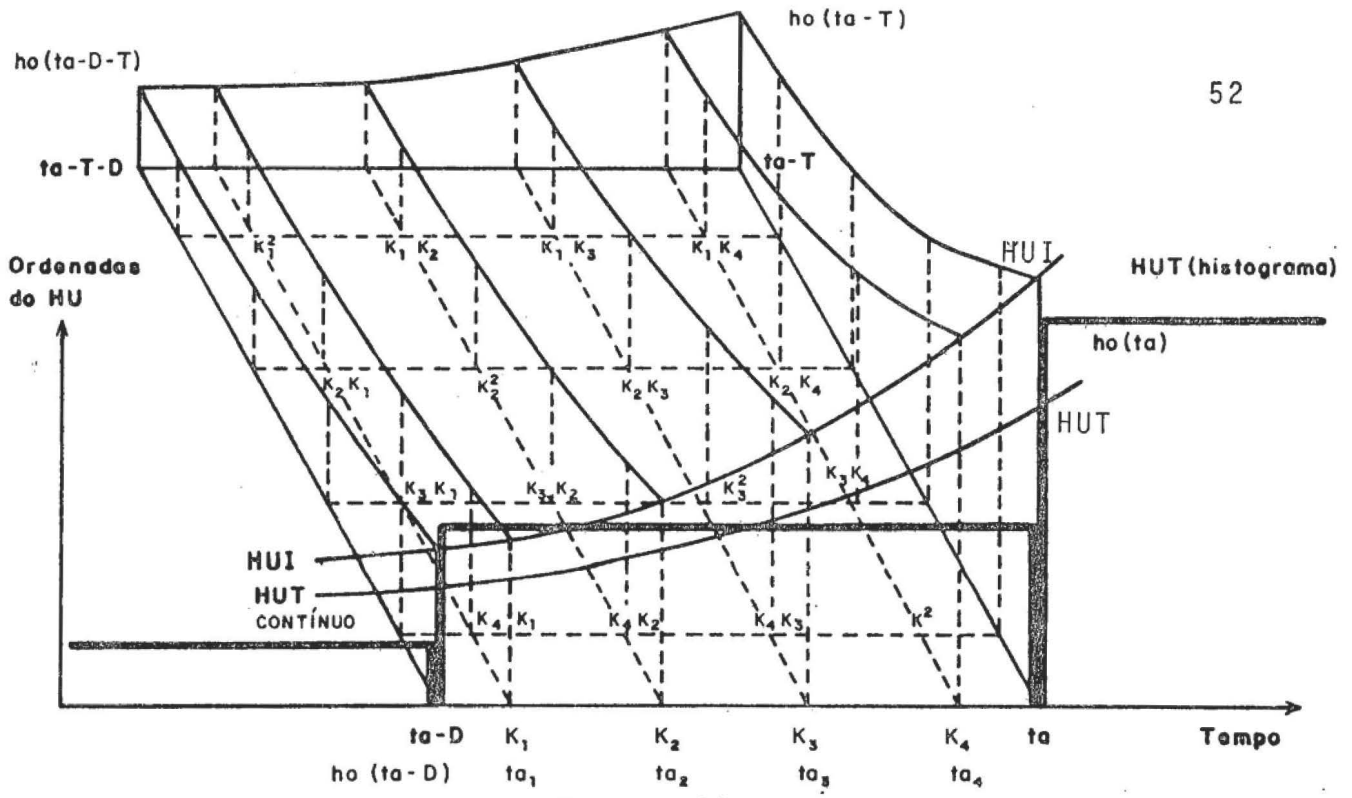


Figura 2i

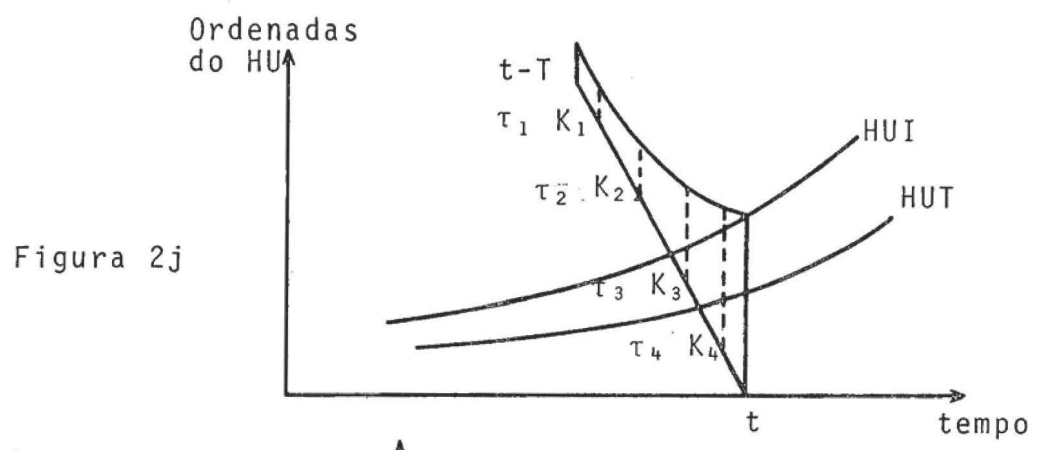


Figura 2j

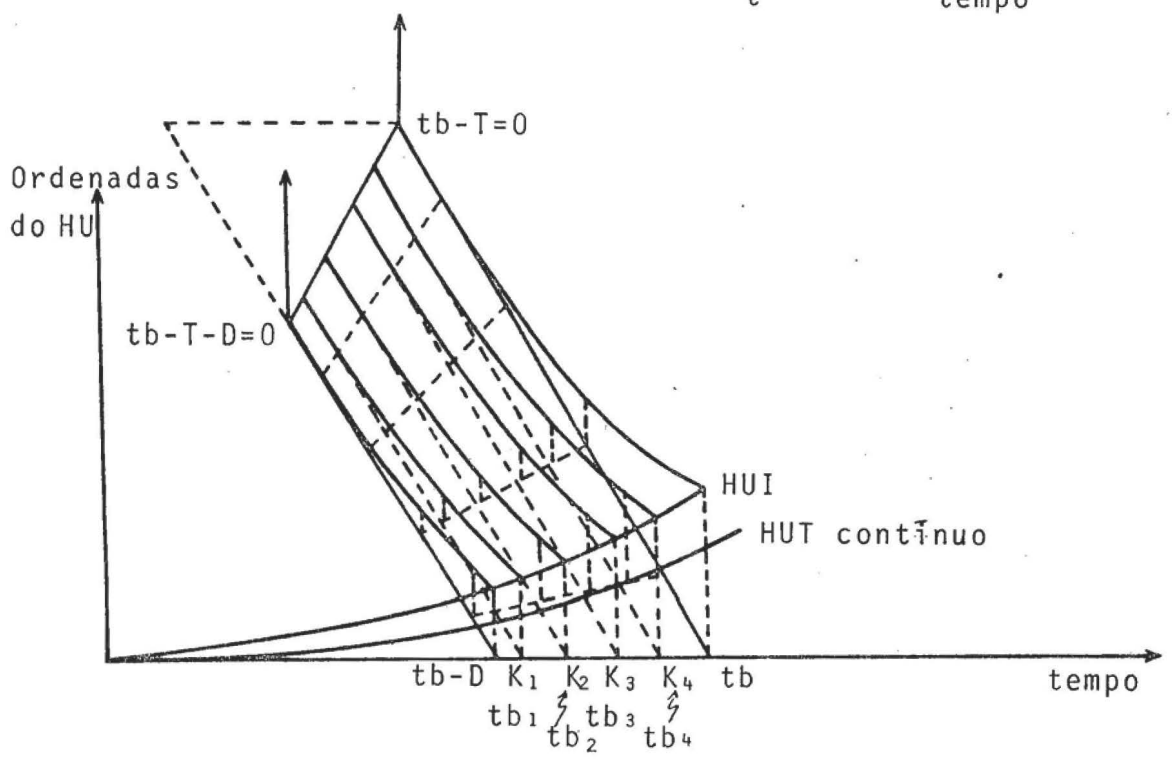


Figura 2L

$$\begin{aligned}
h(ta) = & \frac{1}{2} \left\{ K_1 \cdot \frac{1}{2} [K_1 \cdot h_0(\tau_1 a_1) + K_2 \cdot h_0(\tau_2 a_1) + K_3 \cdot h_0(\tau_3 a_1) + \right. \\
& + K_4 \cdot h_0(\tau_4 a_1)] + K_2 \cdot \frac{1}{2} [K_1 \cdot h_0(\tau_1 a_2) + K_2 \cdot h_0(\tau_2 a_2) + \\
& + K_3 \cdot h_0(\tau_3 a_2) + K_4 \cdot h_0(\tau_4 a_2)] + K_3 \cdot \frac{1}{2} [K_1 \cdot h_0(\tau_1 a_3) + \\
& + K_2 \cdot h_0(\tau_2 a_3) + K_3 \cdot h_0(\tau_3 a_3) + K_4 \cdot h_0(\tau_4 a_3)] + K_4 \cdot \frac{1}{2} \cdot \\
& \cdot [K_1 \cdot h_0(\tau_1 a_4) + K_2 \cdot h_0(\tau_2 a_4) + K_3 \cdot h_0(\tau_3 a_4) + \\
& \left. + K_4 \cdot h_0(\tau_4 a_4)] \right\}
\end{aligned}$$

A figura 2i e o desenvolvimento da expressão acima mostram que as ordenadas $h_0(\tau_i a_j)$ ficam afetadas por um produto de fatores de ponderação simples

$$\begin{aligned}
h(ta) = & \frac{1}{4} \{ K_1^2 \cdot h_0(\tau_1 a_1) + K_1 K_2 \cdot h_0(\tau_2 a_1) + K_1 K_3 \cdot h_0(\tau_3 a_1) + \\
& + \dots + \dots + K_4 K_2 \cdot h_0(\tau_2 a_4) + K_4 K_3 \cdot h_0(\tau_3 a_4) + \\
& + K_4^2 \cdot h_0(\tau_4 a_4) \}
\end{aligned}$$

Nessa figura pode ser observado que a ordenada média do HUT (histograma) representa o valor médio das ordenadas do HUI na região $\{ta; (ta-D); ta-D-T; ta-T\}$.

A figura 2L representa a solução para o caso em que $tb < T$. A solução tem semelhanças com a anterior, sendo a diferença marcante, a região considerada, que ficou reduzida.

2.3.2.2 Derivadas do HUI

$$h_0(t) = \frac{1}{K} \left(\frac{t}{K} \right)^{n-1} \cdot \frac{e^{-t/K}}{\Gamma n}$$

$$\frac{\partial h_0(t)}{\partial n} = \frac{1}{K} \cdot e^{-t/K} \left\{ \frac{(t/K)^{n-1} \cdot \text{Ln}(t/K) \cdot 1 \cdot \Gamma n - (t/K)^{n-1} \cdot d\Gamma n/dn}{(\Gamma n)^2} \right\}$$

$$\frac{\partial h_0(t)}{\partial n} = \frac{1}{K} \left(\frac{t}{K}\right)^{n-1} \cdot \frac{e^{-t/K}}{\Gamma n} \cdot \{\text{Ln}(t/K) - \Psi(n)\}$$

onde,

$$\Psi(n) = \Gamma'(n)/\Gamma n \text{ conhecida como Digama.}$$

— · — · — · —

$$\frac{\partial^2 h_0(t)}{\partial n^2} = \frac{1}{K} \left(\frac{t}{K}\right)^{n-1} \cdot \frac{e^{-t/K}}{\Gamma n} \{\text{Ln}(t/K) - \Psi(n)\}^2 + \frac{1}{K} \left(\frac{t}{K}\right)^{n-1} \cdot \frac{e^{-t/K}}{\Gamma n} \left[-\frac{d\Psi(n)}{dn} \right]$$

$$\frac{\partial^2 h_0(t)}{\partial n^2} = \frac{1}{K} \left(\frac{t}{K}\right)^{n-1} \cdot \frac{e^{-t/K}}{\Gamma n} \{ [\text{Ln}(t/K) - \Psi(n)]^2 - \Psi'(n) \}$$

onde,

$$\Psi'(n) = \frac{d\Psi(n)}{dn} \text{ é conhecida como Trigama.}$$

— · — · — · —

$$\begin{aligned} \frac{\partial h_0(t)}{\partial K} &= - \frac{1}{K^2} \left(\frac{t}{K}\right)^{n-1} \cdot \frac{e^{-t/K}}{\Gamma n} + \frac{1}{K} \left(\frac{t}{K}\right)^{n-2} \cdot (n-1) \cdot \left(-\frac{t}{K^2}\right) \cdot \frac{e^{-t/K}}{\Gamma n} + \\ &+ \frac{1}{K} \left(\frac{t}{K}\right)^{n-1} \cdot \frac{e^{-t/K}}{\Gamma n} \cdot \frac{t}{K^2} \end{aligned}$$

$$\frac{\partial h_0(t)}{\partial K} = \frac{1}{K} \cdot \frac{e^{-t/K}}{\Gamma n} \left(\frac{t}{K}\right)^{n-1} \left[-\frac{1}{K} + (n-1) \left(-\frac{1}{K}\right) + \frac{t}{K^2} \right]$$

e finalmente,

$$\frac{\partial h_0(t)}{\partial K} = \frac{1}{K} \cdot \frac{e^{-t/K}}{\Gamma n} \left(\frac{t}{K}\right)^{n-1} \left\{ -\frac{n}{K} + \frac{t}{K^2} \right\}$$

$$\frac{\partial^2 h_0(t)}{\partial K^2} = \frac{1}{K} \cdot \frac{e^{-t/K}}{\Gamma n} \cdot \left(\frac{t}{K}\right)^{n-1} \cdot \left\{-\frac{n}{K} + \frac{t}{K^2}\right\} \cdot \left\{-\frac{n}{K} + \frac{t}{K^2}\right\} +$$

$$+ \frac{1}{K} \cdot \frac{e^{-t/K}}{\Gamma n} \cdot \left(\frac{t}{K}\right)^{n-1} \left[+ \frac{n}{K^2} - \frac{2 \cdot t}{K^3} \right]$$

$$\frac{\partial^2 h_0(t)}{\partial K^2} = \frac{1}{K} \cdot \frac{e^{-t/K}}{\Gamma n} \cdot \left(\frac{t}{K}\right)^{n-1} \cdot \left\{ \left[-\frac{n}{K} + \frac{t}{K^2}\right]^2 + \left[\frac{n}{K^2} - \frac{2 \cdot t}{K^3}\right] \right\}$$

— · — · — · —

$$\frac{\partial^2 h_0(t)}{\partial n \partial K} = \frac{\partial^2 h_0(t)}{\partial K \partial n} = \frac{1}{K} \cdot \frac{e^{-t/K}}{\Gamma n} \cdot \left(\frac{t}{K}\right)^{n-1} \left\{ -\frac{n}{K} + \frac{t}{K^2} \right\} \{ \text{Ln}(t/K) - \Psi(n) \} +$$

$$+ \frac{1}{K} \cdot \frac{e^{-t/K}}{\Gamma n} \cdot \left(\frac{t}{K}\right)^{n-1} \cdot \left(-\frac{1}{K}\right)$$

$$\frac{\partial^2 h_0(t)}{\partial n \partial K} = \frac{1}{K} \cdot \frac{e^{-t/K}}{\Gamma n} \cdot \left(\frac{t}{K}\right)^{n-1} \cdot \left\{ \left[-\frac{n}{K} + \frac{t}{K^2}\right] \left[\text{Ln}(t/K) - \Psi(n) \right] - \frac{1}{K} \right\}$$

2.3.2.3 Obtenção das derivadas das ordenadas médias do HUT

Analogamente como foi feito para $h(t)$, através da solução numérica da integral repetida 2d, as derivadas são obtidas numericamente, com a solução das integrais repetidas:

$$\frac{\partial h(t)}{\partial n} = \frac{1}{D \cdot T} \int_{t-D}^t \left\{ \int_{t-T}^t \frac{\partial h_0(\tau)}{\partial n} d\tau \right\} dt$$

— · — · — · —

$$\frac{\partial^2 h(t)}{\partial n^2} = \frac{1}{D \cdot T} \int_{t-D}^t \left\{ \int_{t-T}^t \frac{\partial^2 h_0(\tau)}{\partial n^2} d\tau \right\} dt$$

$$\frac{\partial h(t)}{\partial K} = \frac{1}{D.T} \int_{t-D}^t \left\{ \int_{t-T}^t \frac{\partial h_0(\tau)}{\partial K} d\tau \right\} dt$$

— · — · — · —

$$\frac{\partial^2 h(t)}{\partial K^2} = \frac{1}{D.T} \int_{t-D}^t \left\{ \int_{t-T}^t \frac{\partial^2 h_0(\tau)}{\partial K^2} d\tau \right\} dt$$

— · — · — · —

$$\frac{\partial^2 h(t)}{\partial n \partial K} = \frac{1}{D.T} \int_{t-D}^t \left\{ \int_{t-T}^t \frac{\partial^2 h_0(\tau)}{\partial n \partial K} d\tau \right\} dt$$

Observando as expressões das derivadas, vê-se que aparecem expressões tais como: Γ_n , $\Psi(n)$, $\Psi'(n)$, que são, respectivamente, as funções Gama, Digama e Trigama de "n".

Para o cálculo da função Gama foi utilizada uma sub-rotina constante no manual da IBM (1130).

Para as funções Digama e Trigama foi criada uma sub-rotina. Esta sub-rotina está baseada em fórmulas com aproximações assintóticas para as funções, retiradas do manual de fórmulas matemáticas de ABRAMOWITZ (1970).

2.4 Fluxogramas

Tendo em vista as restrições aos nomes de variáveis, impostas pela linguagem de programação FORTRAN, descreve-se a seguir uma lista das variáveis utilizadas em cada programa, que ficaram modificadas em alguns casos da simbologia utilizada anteriormente.

HUI com forma triangular

- L → número de ordenadas de precipitação efetiva
 M → número de ordenadas de descargas observadas.
 N → tempo básico do HUI
 D_1 → intervalo utilizado dado em horas.
 $\bar{A}REA$ → área da bacia dada em km^2 .
 $PREC$ → precisão desejada para o valor dos parâmetros
 $X(K)$ → ordenadas de precipitação efetiva
 T → duração de cada ordenada de chuva efetiva dada em horas
 $Y(I)$ → ordenadas de descargas observadas
 TPI, QPI → valores iniciais dos parâmetros
 TP, QP → parâmetros do HUI
 Z → função objetiva
 S_1, S_2, S_3, S_4, S_5 → derivadas da função objetiva
 $COEF$ → fator de conversão de unidades
 $HI(I)$ → ordenadas do hidrograma calculado
 $BI(I), \dots, FI(I)$ → derivadas de $HI(I)$
 $HJ(J)$ → parcelas de convolução de $X(K)$ com o HUT histograma
 $BJ(J), \dots, FJ(J)$ → parcelas das derivadas da convolução
 $A(I)$ → é a diferença entre as ordenadas do hidrograma calculado e observado

HUI com forma da distribuição Gama

- $XITAB(I)$ → são constantes utilizadas para o método numérico da Quadratura de Gauss.
 $WLIDO(I)$ → fatores de ponderação para integrais simples
 $WI(I, J)$ → fatores de ponderação para integrais duplas
 $XI(L1, I, J)$ → posições em que são calculadas as ordenadas do HUI.
 (Os índices foram criados para simplificação na computação)
 $FXI(L1, I, J)$ → ordenadas do HUI para o valor $XI(L1, I, J)$
 $FXBJ(L1, I, J), \dots$
 $\dots FXFJ(L1, I, J)$ → ordenadas das derivadas do HUI
 NP → número de pontos a utilizar no método numérico
 D → intervalo unitário

PNI,PKI → valores iniciais para os parâmetros

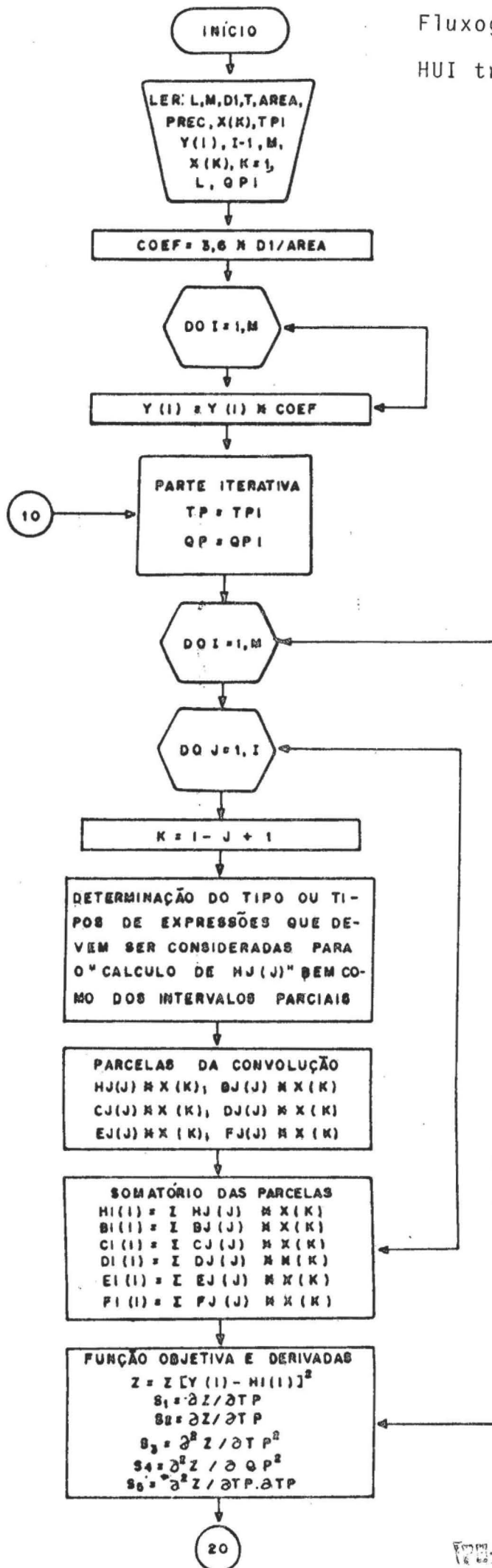
PN,PK → parâmetros do Modelo Nash

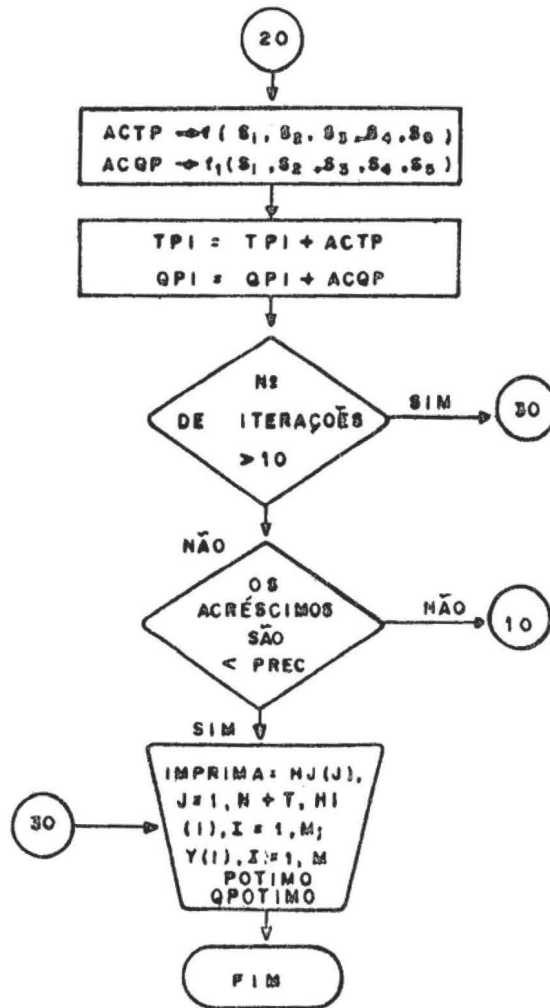
GX,DIGAM,TRIGAM → são Γ_{PN} ; $\frac{d\Gamma_{PN}}{dPN}$; $\frac{d^2\Gamma_{PN}}{dPN^2}$

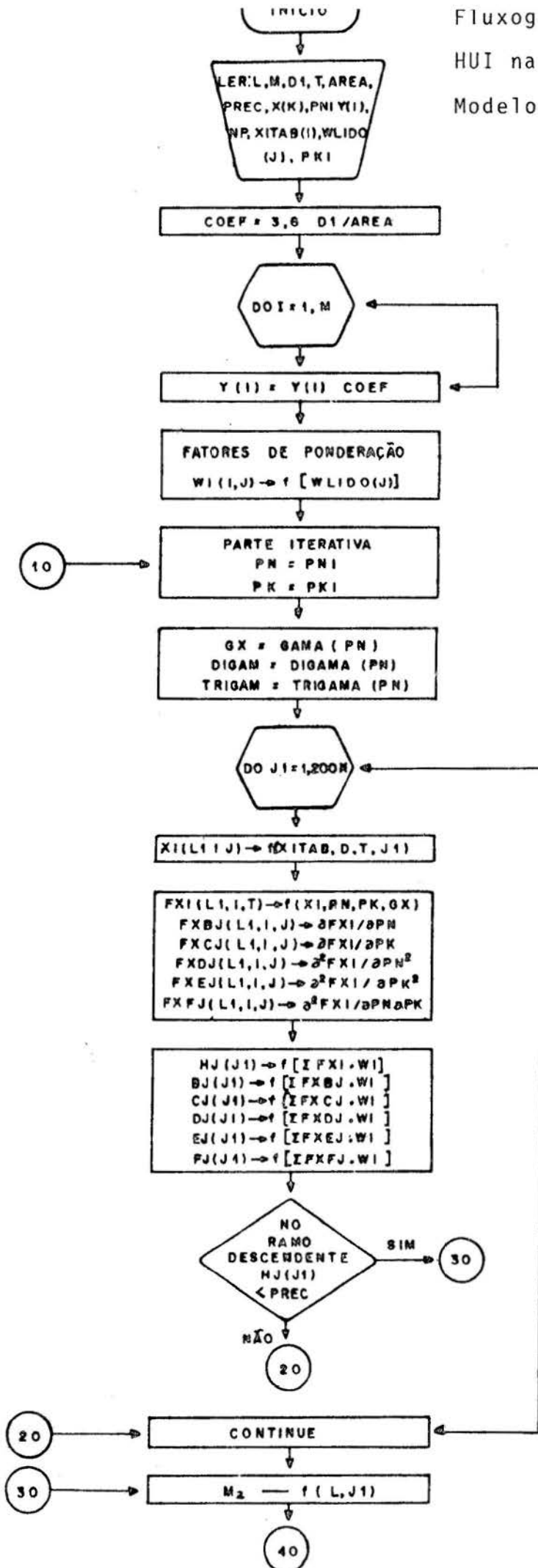
M_2 → número de ordenadas do hidrograma calculado

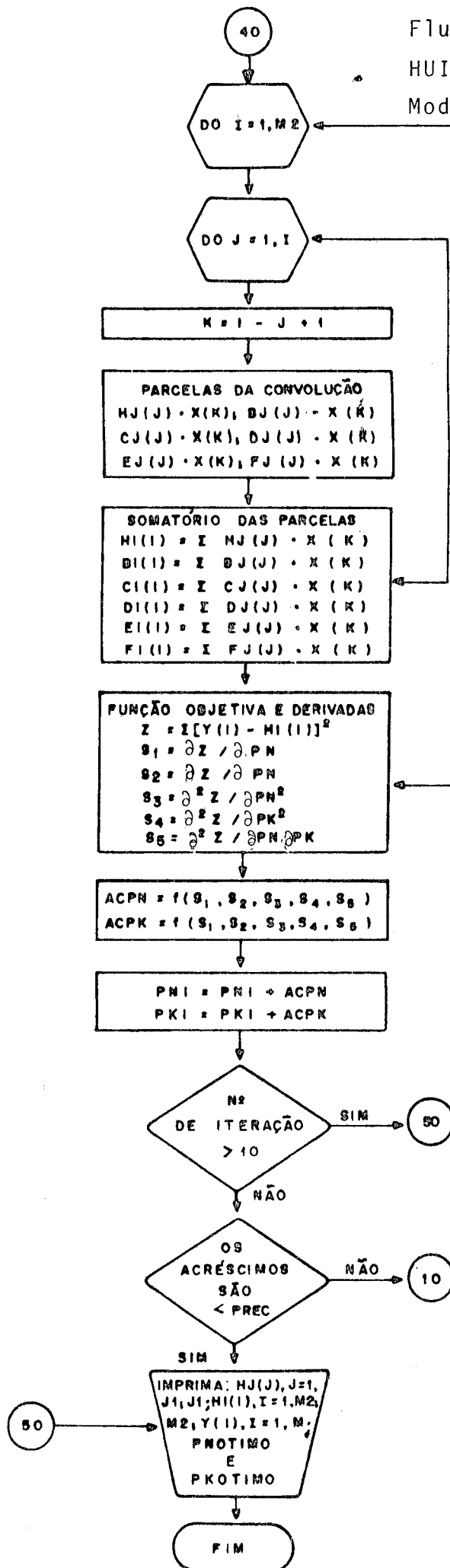
ACPN,ACPK → acréscimos aos parâmetros PN e PK (Newton-Raphson)

Os fluxogramas apresentados são bastante genéricos, pois objetiva-se dar apenas uma visão global dos principais fatores que determinaram os programas.









T E R C E I R A P A R T E

APLICAÇÃO DA METODOLOGIA E REGIONALIZAÇÃO

CAPÍTULO 3 - APLICAÇÃO DA METODOLOGIA PROPOSTA

3.1. Bacia Hidrográfica do Rio Forquetinha - Características

A bacia do Rio Forquetinha está situada entre os paralelos $29^{\circ}00'$ e $29^{\circ}30'$ Sul e entre os meridianos $52^{\circ}00'$ e $52^{\circ}30'$ Oeste (Greenwich), na região nordeste do estado do Rio Grande do Sul. A superfície total da bacia é de 413.8 km^2 quase toda assente sobre o derrame basáltico.

O Rio Forquetinha é um dos principais afluentes do Rio Forqueta. Esse rio (Forquetinha) foi tomado pelo Instituto de Pesquisas Hidráulicas, como ponto de partida para os trabalhos a serem realizados na Bacia do Rio Forqueta. Para tanto, foram instalados aparelhos registradores de precipitações e descargas, ao longo do curso principal e em alguns afluentes do Rio Forquetinha. Isso determinou a disponibilidade de dados pluvio-hidrométricos para diversas sub-bacias, permitindo, portanto, a aplicação da metodologia já descrita, não só para as sub-bacias estudadas, mas também, após efetuado um estudo de regionalização, a outras bacias sem registros e situadas próximas.

3.2. Sub-bacias estudadas

Na prancha nº 1 aparecem, individualizadas, as sub-bacias do Rio Forquetinha, para as quais foram instalados postos fluviométricos. Algumas características físicas dessas sub-bacias já estavam definidas, tais como: Área da bacia, Perímetro, Comprimento do Curso Principal, Densidade de drenagem e Declividade do Curso Principal. Os índices que caracterizam a forma de cada bacia, Coeficiente de Forma e Coeficiente de Gravelius, foram calculados a partir das características acima citadas.

Esses dados aparecem relacionados na pesquisa de BORDAS (1978).

Acrescentou-se a essas características, medidas de declividade superficial e cobertura vegetal das sub-bacias, que serão utilizadas neste trabalho, especificamente.

- Declividade Superficial - para estimar a declividade superficial, utilizou-se o método sugerido por NASH (1960). Estabelece-se uma malha, que cobre, uniformemente toda a bacia, da qual procura-se a declividade. Os nós dessa malha são os pontos que fornecem amostras da declividade. Para cada ponto individual, adota-se a máxima declividade possível (menor distância, passando pelo ponto, existente entre as curvas de níveis adjacentes). A média aritmética das declividades dos nós internos à bacia, fornece a medida de declividade superficial dessa bacia. O número médio, utilizado em cada sub-bacia, ficou em torno de 75 nós. A descrição detalhada desse processo, aparece no trabalho referido.

- Cobertura Vegetal - as estimativas foram obtidas, através de cartas do Serviço Geográfico do Exército (Esc. 1:50.000), onde aparecem as áreas cobertas por florestas, matos e bosques. Esta fonte utilizada apresenta o problema da desatualização do levantamento (fotografias aéreas datam de 1963). Planimetrou-se as áreas de florestas, matos e bosques obtendo-se, portanto, a área correspondente a vegetação mais robusta, não se considerando as áreas relativas a campos e plantações. Expressou-se, posteriormente, essas áreas de cobertura vegetal em percentagem das áreas totais das sub-bacias.

Entretanto, mesmo diante dessas dificuldades, determinou-se estimativas grosseiras para a cobertura vegetal, devido a importância dessa característica, refletida nas transformações de precipitações em escoamentos.

Uma apresentação resumida das sub-bacias com

suas características principais, é dada na tabela 3a.

3.3. Dados de precipitações e descargas

As observações de precipitações e descargas são partes integrantes do conjunto de dados, que o Setor de Hidrologia do I.P.H. vem reunindo. Abrangem o período de janeiro de 1977 a junho de 1979.

- Precipitações observadas - Há dois tipos de dados disponíveis. No primeiro tipo, as precipitações ocorridas são dadas em alturas diárias obtidas através de pluviômetros para cada posto. A partir desses dados foram obtidas alturas médias diárias para cada sub-bacia, calculadas com a utilização do processo dos Polígonos de Thiessen. No segundo tipo, as precipitações são dadas em alturas médias para um intervalo de 120 minutos, originárias de medições de pluviógrafos.

- Descargas observadas - Da mesma forma acima, utiliza-se dois tipos de dados de descargas. No primeiro tipo, as descargas são definidas a partir de leituras de escalas linimétricas (três leituras diárias) e no segundo, são definidas a partir de linigramas. Partindo-se dos níveis d'água, obtidos das duas formas indicadas acima, para chegar-se às correspondentes vazões, analisou-se as observações originais com a utilização das curvas-chaves que já se achavam de lineadas para os postos fluviométricos. A apresentação final dos dados de descargas é feita sob a forma de valores médios em intervalos de 120 minutos, distribuídos nas diferentes bacias utilizadas.

Cita-se os instrumentos de medidas disponíveis em cada posto e o período de funcionamento dos mesmos a seguir:

PFI - Escalas linimétricas, linígrafo de bóia.

CARACTERÍSTICAS FÍSICAS DAS SUB-BACIAS

1	2	3	4	5	6	7	8	9
Nº POSTO	CURSO D' ÁGUA PRINCIPAL	ÁREA DA BACIA (km ²)	COMPRIMENTO DO CURSO PRINCIPAL (km)	COEFICIENTE DE FORMA	DENSIDADE DE DRENAGEM	DECLIVIDADE DO CURSO PRINCIPAL (%)	DECLIVIDADE SUPERFICIAL DA BACIA (m/m)	COBERTURA VEGETAL DA BACIA (%)
1	ARROIO ALEGRE	71.5	19.0	0.19	0.574	0.0170	0.294	12.5
2	RIO FORQUETINHA	413.8	53.1	0.15	0.494	0.0102	0.282	18.9
3	ARROIO ARAGUARI	25.3	10.5	0.23	0.405	0.0367	0.358	14.0
4	RIO FORQUETINHA	308.0	44.1	0.16	0.447	0.0121	0.290	21.3
6	RIO FORQUETINHA	236.8	33.9	0.22	0.452	0.0140	0.289	22.4
8	RIO FORQUETINHA	117.0	16.4	0.49	0.464	0.0200	0.276	25.7

Tabela 3a

Observações de níveis desde abril de 1977.

- PF2 - Escalas linimétricas, linígrafo de pressão, teleféricos para medição de descargas.
Início das observações em fevereiro de 1977.
- PF3 - Escalas linimétricas, linígrafo de bôia.
Observações desde abril de 1977.
- PF4 - Escalas linimétricas, linígrafo de pressão.
Observações desde janeiro de 1977.
- PF6 - Escalas linimétricas, linígrafo de pressão.
Observações desde abril de 1977.
- PF8 - Escalas linimétricas, linígrafo de pressão.
Observações a partir de maio de 1977.

Além dos postos fluviométricos, existem instalados dois postos pluviométricos.

- PP3 - Posto Pluviográfico Araguari.
Pluviôgrafo IHLNG-7.
- PP8 - Posto Pluviográfico Alta Forquetinha.
Pluviôgrafo SIAP.

O delineamento preliminar das curvas-chaves dos diferentes postos, pode ser encontrado na referência U.F.R.G.S., I.P.H. (1978).

3.4. Preparação dos dados de entrada para otimização

Procura-se definir caminhos e critérios para determinação do escoamento superficial e a correspondente precipitação efetiva. Como as sub-bacias apresentam ainda pouca informação, não se pode utilizar métodos sofisticados

para essa finalidade.

3.4.1 Separação do escoamento superficial

É recomendável, que a maneira adotada para se fazer a separação dos escoamentos (básico e superficial) produza resultados consistentes, isto é, quando se tiver durações de chuvas iguais (efetivas), os diversos tempos de base dos hidrogramas (escoamento superficial) resultam iguais.

O método adotado para separar os escoamentos, foi proposto por LINSLEY et alii (1958). Eles consideram, que o tempo transcorrido desde a ocorrência do pico do Hidrograma até o término do escoamento superficial, é constante para cada bacia. Esse tempo, indicado por N, aparece na figura 3a e pode ser estimado pela equação:

$$N = (\bar{AREA})^{0.2}$$

onde,

N → é dado em dias

\bar{AREA} → é a área da bacia dada em milhas quadradas.

Deve ser acentuado, que a qualidade e a quantidade, escassa, dos dados, não permite a determinação de coeficientes médios de recessão; além disso, a plotagem em gráficos logarítmicos do ramo de recessão, não conduziu a uma clara definição do ponto C, onde termina o escoamento superficial.

Hidrogramas complexos - nos hidrogramas que apresentam vários picos, o ponto C é obtido da mesma forma, devendo estar situado no ramo descendente do último pico.

Na figura 3b, mostra-se como são trabalha-

VAZÕES

SEPARAÇÃO DOS ESCOAMENTOS

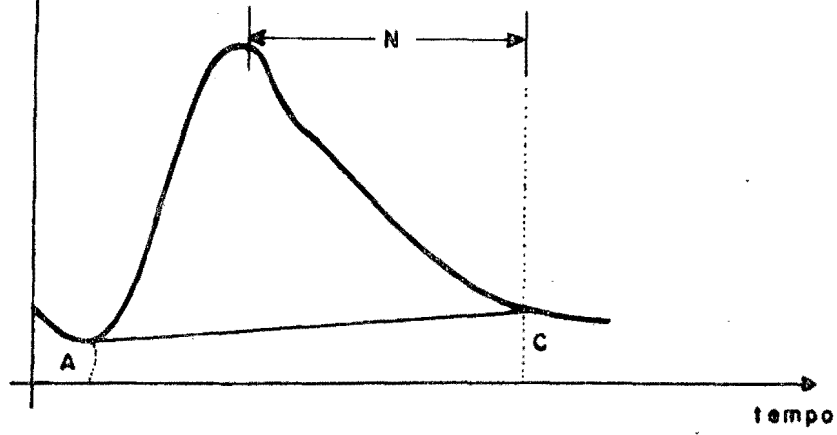


Figura 3a

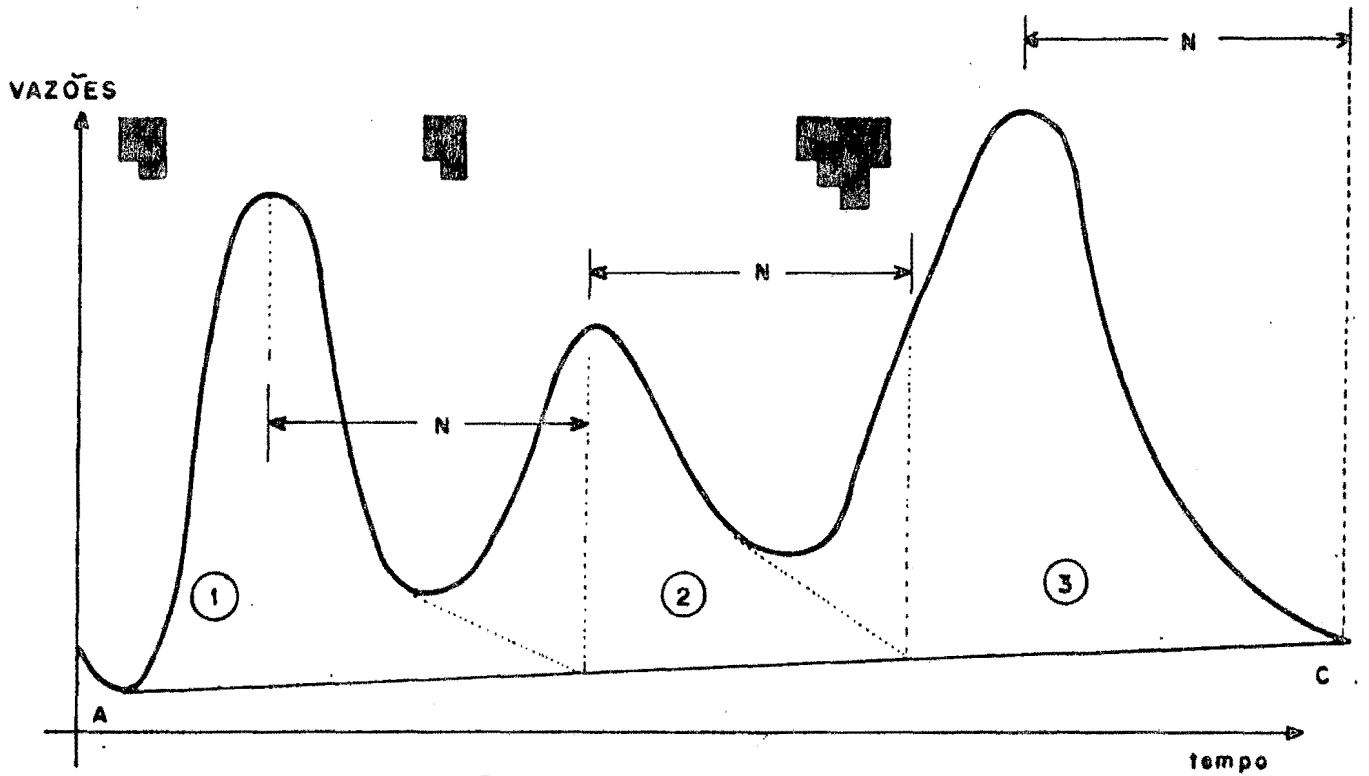


Figura 3b

VAZÕES

ÍNDICE ϕ

DETERMINAÇÃO DA CHUVA EFETIVA

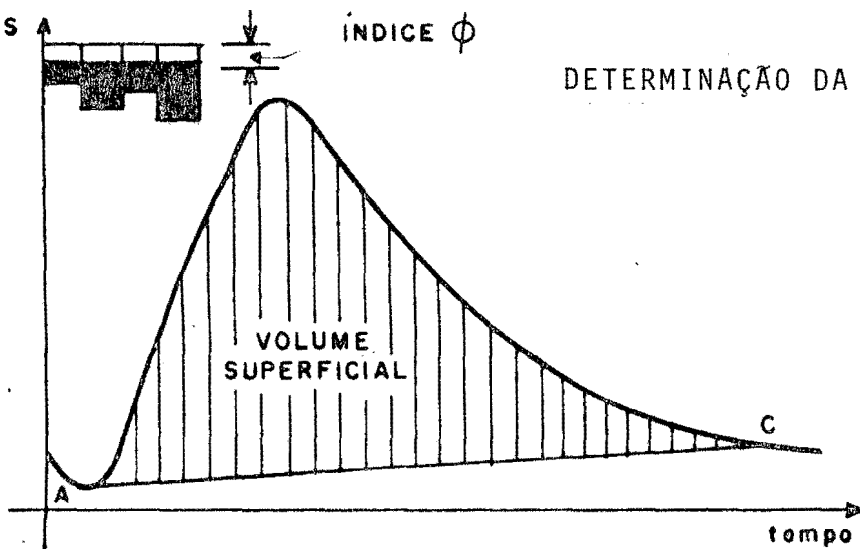


Figura 3c

dos os diferentes picos. Precisa-se determinar quais os volumes de escoamento superficial a considerar nas diferentes parcelas de precipitação ocorrida. É como buscar os efeitos isolados de cada parte do hidrograma complexo. O pico 1, assinalado na figura 3b, tem seu volume de escoamento obtido do seguinte modo: calcula-se o valor de N, tendo-se então o ponto onde termina o escoamento devido a primeira parcela de precipitação; prolongando-se o ramo descendente do primeiro pico, até este ponto, tem-se o volume de escoamento superficial a considerar para a primeira parcela de precipitação. Para o pico 2 procede-se da mesma forma, e, então, define-se o volume a considerar para a segunda parcela de precipitação. Repete-se o mesmo procedimento, até alcançar-se o último pico do hidrograma complexo.

Nas figuras 3a e 3b o escoamento subterrâneo fica definido através de uma linha reta unindo os pontos A e C. Nos hidrogramas complexos, a individualização dos picos apoia-se nessa linha, como mostra a figura 3b.

3.4.2 Determinação da precipitação efetiva

O volume escoado superficialmente ficou definido no item anterior com a separação dos escoamentos. Este volume, dividido pela área da bacia, fornece a altura total de precipitação efetiva. A distribuição no tempo, desse total, faz-se através do cálculo do índice ϕ . Na figura 3c indica-se a obtenção das ordenadas de chuva efetiva (parte hachurada na figura). Considera-se a taxa de infiltração constante ao longo da tempestade, na utilização desse índice ϕ . Para observações de chuva dadas por pluviômetros, isso é suficiente para obtenção da precipitação efetiva.

Para observações dadas através de pluviômetros, deve-se estabelecer um modo de definir a duração da chuva. Busca-se fugir da simplificação, de tomar a chuva distribuída uniformemente para todo o dia, independente do hi-

drograma observado. Com esse objetivo se estabelece o seguinte:

- a duração máxima da chuva a utilizar, será o tempo de ocorrência do pico do hidrograma.

- quando a altura de precipitação reduz-se de um dia para o outro, procura-se fazer uma distribuição de tal maneira, que a chuva apresente uma taxa uniforme, tomando como referência o início da precipitação, que é sempre conhecido através da forma dos hidrogramas.

Isso é menos arbitrário, que a distribuição da precipitação em períodos diários completos.

As durações das precipitações, com estas restrições, caíram, em grande parte, na faixa de 0.7 a 0.9 do tempo de pico do hidrograma. O objetivo buscado, é obter-se durações menores do que o tempo de ocorrência do pico, por acreditar-se que isso é algo esperado, para hidrogramas com características normais.

3.4.3 Unidades utilizadas

Os hidrogramas estudados são apresentados sob a forma de histograma, onde as vazões são dadas em valores médios (m^3/s) para os diferentes intervalos de 2 horas.

As precipitações são registradas em alturas pluviométricas (mm), para os mesmos intervalos de 2 horas.

É conveniente, portanto, que o HUT (operador) seja representado sob a forma de histograma, no mesmo intervalo de 2 horas dos outros elementos. No Capítulo 2, salientou-se a conveniência de que o intervalo em que aparecem as vazões (2 horas) seja menor ou igual ao intervalo em que são dadas as precipitações, para que se tenha a execução

da convolução simplificada.

A área unitária do HU, requer que suas ordenadas sejam expressas em descargas específicas por altura unitária de precipitação efetiva. As ordenadas dos HU, serão dadas, portanto, em $\frac{\text{mm}}{2\text{h}}$ ou $(1/2\text{h})$, uma vez que o intervalo utilizado é 2 horas.

Quando se faz a convolução, as descargas calculadas serão dadas em $\frac{(\text{mm})}{2\text{h}}$.

Para transformar para m^3/s , utiliza-se um fator de conversão.

Transforma-se em volume a altura dada em (mm), ou seja,

Volume de 1mm de precipitação:

$$\text{ÁREA (m}^2\text{)} \cdot 10^{-3}\text{m}$$

$$\text{ÁREA (km}^2\text{)} \cdot 10^6 \cdot 10^{-3}\text{m}$$

$$\text{ÁREA} \cdot 10^3\text{m}^3$$

onde, a área da bacia é dada em km^2 .

Transforma-se em segundos as horas

$$2 \text{ horas} \rightarrow 3600 \text{ seg.}$$

$$\frac{1\text{mm}}{2\text{h}} \rightarrow \frac{\text{ÁREA} \cdot 10^3\text{m}^3}{2 \cdot 3600 \text{ s}} \rightarrow \frac{\text{ÁREA m}^3}{2.3,6 \text{ s}}$$

define-se:

$$\text{COEF} = \frac{2.3,6}{\text{ÁREA}}$$

Então, as ordenadas dadas em (mm/2h), divididas pelo COEF, resultam em ordenadas dadas em (m³/s), pois

$$1\left(\frac{\text{mm}}{2\text{h}}\right) \text{ corresponde a } \frac{1}{\text{COEF}}\left(\frac{\text{m}^3}{\text{s}}\right)$$

e, inversamente,

$$1\left(\frac{\text{m}^3}{\text{s}}\right) \text{ corresponde a } \text{COEF} \left(\frac{\text{mm}}{2\text{h}}\right).$$

Como nem sempre o intervalo utilizado \bar{e} de 2 horas, COEF pode ser definido para um intervalo qualquer (D_1) pela expressão:

$$\text{COEF} = \frac{D_1 \cdot 3,6}{\bar{\text{ÁREA}}}$$

onde,

$$\begin{array}{ll} D_1 & \bar{e} \text{ dado em horas} \\ \bar{\text{ÁREA}} & \bar{e} \text{ dada em km}^2 \end{array}$$

3.4.4 Dados de precipitação efetiva e escoamento superficial

Com os procedimentos preliminares já definidos, tem-se condições de analisar e relacionar os dados de entrada (precipitação - descarga) necessários à otimização dos parâmetros do HUI. É interessante, em cada sub-bacia estudada, conseguir-se um conjunto de dados, o mais amplo possível, tal que os valores médios desses conjuntos sejam representativos.

Das cheias disponíveis descartou-se aquelas que apresentam erros grosseiros de observações das descargas ou das precipitações. Ocorreram casos onde os dados de precipitações não concordavam com as correspondentes descargas, representando, claramente, falhas dos instrumentos de medi-

das ou das curvas-chave com pontos insuficientes.

Hidrogramas provenientes de precipitações com larga duração (acima de 30 h), cujos instrumentos eram pluviômetros e escalas linimétricas, não foram considerados. A razão disso é que, com essas características, a duração da chuva efetiva apresenta-se muito indefinida, podendo prejudicar, sobremaneira, os resultados dos parâmetros para o evento considerado.

Com a separação do escoamento superficial e a determinação da chuva efetiva, conseguiu-se os conjuntos, distribuídos nas sub-bacias, onde as precipitações efetivas são dadas em mm para intervalos de 2 horas, e as descargas em m^3/s para o mesmo intervalo. Os dados estão nas tabelas 3b a 3j.

3.5. Resultados obtidos

Acham-se reunidos nas tabelas 3L e 3m os valores dos parâmetros otimizados agrupados em cada sub-bacia.

Nelas são dadas as características das observações, tais como, data de início da tempestade, número das ordenadas das precipitações efetivas e das descargas, os valores dos parâmetros do HUI triangular, os valores dos parâmetros para o HUI sob a forma da distribuição gama, os equipamentos usados nas observações de chuva e descarga e, ainda, os valores médios dos parâmetros das sub-bacias, na última linha das colunas de valores.

A performance dos programas criados para execução da otimização foi muito boa. O método de Newton-Raphson requer estimativas iniciais dos parâmetros; isto determina a análise detalhada de algum evento em cada sub-bacia, de maneira que se possa definir a faixa de valores a ser utilizada em cada caso. Esses valores dependem, entre outros fatores, do tamanho da bacia hidrográfica.

PRECIPITAÇÕES EFETIVAS E DESCARGAS

POSTO: PFT

ÁREA: 71,5 km²

Data da cheia 10.03.79	31 0.233 32 0.146 33 0.038		3 0.000 4 0.000 5 0.000 6 0.000 7 0.000 8 2.937 9 0.000 10 0.000 11 0.000 12 0.000 13 0.000 14 0.000 15 0.000 16 0.000 17 0.000 18 0.000 19 0.000 20 0.000 21 0.000 22 0.000 23 0.000 24 0.000 25 0.000 26 0.000 27 5.250 28 5.250 29 0.000 30 0.000 31 5.250	17 1.457 18 1.305 19 1.153 20 1.003 21 0.851 22 0.669 23 0.548 24 0.396 25 0.244 26 0.093 27 0.060 28 1.306 29 3.139 30 3.870 31 4.234 32 7.702 33 8.472 34 9.341 35 10.248 36 10.612 37 9.857 38 9.066 39 8.275 40 7.652 41 7.194 42 6.736 43 6.279 44 5.821 45 5.363 46 4.906 47 4.448 48 3.990 49 3.533 50 3.075 51 2.617 52 2.221 53 1.885 54 1.549 55 1.214 56 0.878 57 0.542 58 0.272 59 0.116	Precipit. mm 1 14.354 2 0.000 3 6.854 4 7.854 Descargas m ³ /s 1 0.254 2 2.294 3 4.756 4 10.873 5 26.631 6 33.329 7 30.406 8 25.565 9 20.718 10 17.161 11 14.438 12 12.340 13 10.868 14 9.441 15 8.574 16 7.874 17 7.175 18 6.475 19 5.776 20 5.076 21 4.391 22 3.926 23 3.534 24 3.156 25 2.793 26 2.430 27 2.067 28 1.703 29 1.340 30 1.000 31 0.800 32 0.624 33 0.447 34 0.270 35 0.093	Precipit. mm 1 9.016 2 1.817 3 0.000 4 0.000 5 0.000 6 0.000 7 0.000 8 0.500 9 0.100 10 0.100 11 0.000 12 0.050 13 0.000 14 0.050 Descargas m ³ /s 1 0.421 2 3.060 3 5.928 4 7.690 5 8.401 6 8.705 7 8.254 8 7.753 9 7.251 10 6.749 11 6.248 12 5.746 13 5.244 14 4.743 15 4.241 16 3.831 17 3.513 18 3.195 19 2.877 20 2.559 21 2.241 22 1.924 23 1.606 24 1.288 25 0.970 26 0.652 27 0.334 28 0.098
Precipit. mm 1 1.033 2 1.033 3 1.033 4 1.033 5 1.033 6 1.033 7 1.033 8 1.033 9 1.033 10 1.032	Data da cheia 24.12.78 Precipit. mm 1 2.711 Descargas m ³ /s 1 0.027 2 0.096 3 0.307 4 5.194 5 3.637 6 2.913 7 2.326 8 1.873 9 1.491 10 1.348 11 1.226 12 1.102 13 0.980 14 0.857 15 0.734 16 0.611 17 0.487 18 0.364 19 0.285 20 0.252 21 0.219 22 0.184 23 0.151 24 0.116 25 0.082 26 0.048 27 0.014		Descargas m ³ /s 1 0.011 2 0.442 3 1.139 4 1.836 5 2.533 6 3.231 7 4.133 8 5.242 9 6.351 10 7.460 11 8.377 12 7.981 13 7.336 14 6.692 15 6.046 16 5.401 17 4.756 18 4.111 19 3.564 20 3.117 21 2.669 22 2.222 23 1.774 24 1.332 25 1.088 26 0.946 27 0.804 28 0.662 29 0.520 30 0.378	Data da cheia 03.12.78 Precipit. mm 1 0.752 2 0.000	Data da cheia 03.11.78	Data da cheia 30.08.78

Tabela 3b

PRECIPITAÇÕES EFETIVAS E DESCARGAS

POSTO: PF1

ÁREA: 71,5 km²

Data da cheia	44	1.727	38	3.141	1	7.234	11	3.046	59	0.408
18.11.78	45	0.000	39	3.262	2	0.000	12	2.402	60	0.186
Precipit. mm	46	0.000	40	3.299	3	0.000	13	1.839		
1	47	0.000	41	3.192	4	0.000	14	1.647	Data da cheia	
2	48	5.992	42	3.034	5	0.000	15	2.804	27.07.77	
3	49	1.727	43	2.825	6	0.000	16	6.096	Precipit. mm	
4	50	1.442	44	2.617	7	0.000	17	7.185	1	14.300
5	51	2.611	45	2.540	8	0.000	18	7.069	2	14.300
6			46	2.562	9	0.000	19	6.927	3	14.287
7	Descargas		47	2.583	10	0.000	20	6.547	4	14.287
8	m ³ /s		48	2.605	11	0.000	21	5.885		
9	1	0.034	49	2.900	12	0.000	22	5.166	Descargas	
10	2	0.248	50	4.091	13	0.000	23	4.446	m ³ /s	
11	3	0.645	51	5.732	14	3.257	24	3.726	1	0.100
12	4	1.280	52	7.373	15	3.257	25	3.007	2	10.244
13	5	2.252	53	9.237	16	0.000	26	2.356	3	30.528
14	6	3.226	54	11.228	17	0.000	27	2.041	4	41.691
15	7	4.093	55	12.066	18	0.000	28	1.769	5	42.509
16	8	4.573	56	11.222	19	0.000	29	1.498	6	44.866
17	9	4.890	57	10.177	20	0.000	30	1.227	7	47.428
18	10	5.008	58	9.014	21	0.000	31	0.960	8	50.030
19	11	5.083	59	7.912	22	0.000	32	0.858	9	51.905
20	12	4.990	60	6.809	23	0.000	33	0.844	10	48.955
21	13	4.840	61	5.707	24	0.000	34	0.830	11	38.449
22	14	4.571	62	5.012	25	0.000	35	2.675	12	28.945
23	15	4.234	63	4.725	26	0.000	36	6.333	13	23.659
24	16	4.046	64	4.438	27	0.000	37	8.346	14	17.527
25	17	4.131	65	4.151	28	0.000	38	9.212	15	14.743
26	18	3.961	66	3.864	29	0.000	39	8.734	16	12.139
27	19	3.713	67	3.578	30	0.000	40	8.111	17	10.545
28	20	3.465	68	3.291	31	0.000	41	7.488	18	9.485
29	21	3.267	69	3.004	32	0.000	42	6.865	19	8.424
30	22	3.064	70	2.717	33	0.000	43	6.242	20	7.364
31	23	2.820	71	2.430	34	9.999	44	5.619	21	6.304
32	24	2.577	72	2.143	35	0.188	45	5.026	22	5.244
33	25	2.344	73	1.856			46	4.462	23	4.184
34	26	2.156	74	1.569	Descargas		47	3.899	24	3.271
35	27	2.017	75	1.282	m ³ /s		48	3.336	25	2.504
36	28	1.828	76	0.995	1	0.424	49	2.922	26	1.951
37	29	1.639	77	0.708	2	4.625	50	2.660	27	1.612
38	30	1.450	78	0.421	3	7.072	51	2.399	28	1.272
39	31	1.650	79	0.134	4	8.430	52	2.138	29	0.945
40	32	2.213			5	7.771	53	1.877	30	0.630
41	33	2.732	Data da cheia		6	6.414	54	1.616	31	0.315
42	34	2.874	20.07.78		7	5.378	55	1.355		
43	35	2.933	Precipit. mm		8	4.892	56	1.093		
	36	2.992			9	4.332	57	0.851		
	37	3.051			10	3.689	58	0.629		

Tabela 3c

PRECIPITAÇÕES EFETIVAS E DESCARGAS

POSTO: PF1		ÁREA: 71.5 km ²		
Data da cheia	29 1.235	27 2.098	16 41.563	Descargas m ³ /s
14.08.78	30 1.077	28 1.928	17 54.963	
Precipit. mm	31 0.919	29 1.757	18 58.610	1 0.011
1 1.386	32 0.760	30 1.586	19 53.487	2 0.041
2 1.386	33 0.602	31 1.395	20 47.953	3 0.587
3 1.386	34 0.445	32 1.034	21 42.419	4 1.777
4 1.386	35 0.287	33 0.461	22 36.885	5 2.967
5 1.386	36 0.129	34 0.113	23 31.350	6 4.749
6 1.386			24 26.039	7 7.121
7 1.386	Data da cheia	Data da cheia	25 22.287	8 9.493
8 0.000	03.02.78	16.08.77	26 14.374	9 11.865
9 0.000	Precipit. mm	Precipit. mm	27 11.252	10 14.237
10 0.000	1 2.558	1 2.230	28 8.979	11 16.608
11 0.000	2 2.558	2 2.230	29 6.682	12 19.002
12 1.386	3 2.557	3 2.230	30 5.355	13 22.445
Descargas m ³ /s	4 2.557	4 2.230	31 4.998	14 22.182
1 0.320	5 2.557	5 2.230	32 4.641	15 16.845
2 1.000	Descargas m ³ /s	6 2.230	33 4.284	16 14.551
3 1.621	1 0.597	7 2.230	34 3.927	17 12.996
4 2.272	2 1.781	8 2.230	35 3.570	18 11.849
5 2.923	3 2.966	9 2.230	36 3.213	19 10.849
6 3.573	4 4.150	10 2.230	37 2.781	20 9.849
7 4.223	5 5.334	11 2.230	38 2.274	21 8.849
8 4.874	6 6.519	12 2.230	39 1.775	22 7.849
9 5.525	7 7.703	13 8.603	40 1.285	23 6.849
10 6.156	8 8.215	14 8.603	41 0.795	24 5.849
11 6.242	9 8.055	15 8.603	42 0.428	25 5.197
12 6.078	10 7.520	16 8.603	43 0.185	26 4.894
13 5.981	11 6.610	Descargas m ³ /s	Data da cheia	27 4.634
14 5.952	12 5.700	1 0.153	21.07.77	28 4.418
15 5.922	13 5.129	2 0.433	Precipit. mm	29 4.203
16 5.716	14 4.896	3 0.955	1 2.431	30 3.962
17 5.273	15 4.663	4 1.718	2 2.431	31 3.696
18 4.830	16 4.430	5 2.481	3 2.431	32 3.430
19 4.386	17 4.197	6 3.328	4 2.431	33 3.164
20 3.943	18 3.964	7 4.260	5 2.431	34 2.898
21 3.499	19 3.731	8 5.191	6 2.431	35 2.632
22 3.055	20 3.545	9 6.123	7 2.431	36 2.366
23 2.611	21 3.405	10 7.055	8 2.431	37 1.933
24 2.167	22 3.200	11 7.986	9 2.431	38 1.326
25 1.867	23 2.930	12 8.918	10 2.431	39 0.852
26 1.709	24 2.660	13 13.213	11 2.431	40 0.509
27 1.551	25 2.440	14 20.871	12 2.431	41 0.166
28 1.393	26 2.269	15 28.435		

Tabela 3d

PRECIPITAÇÕES EFETIVAS E DESCARGAS

POSTO: PF2

ÁREA: 413,8 km²

Data da cheia	31	4.194	21	1.565	20	2.333	12	30.813	1	0.400
10.03.79	32	3.943	22	1.551	21	2.312	13	30.750	2	0.580
Precipit. mm	33	3.693	23	1.392	22	2.115	14	30.188	3	2.990
1 0.500	34	3.223	24	1.378	23	1.918	15	29.625	4	5.859
2 0.500	35	2.973	25	1.219	24	1.896	16	28.313	5	6.264
3 0.500	36	2.723	26	1.204	25	1.700	17	26.500	6	5.789
4 0.500	37	2.472	27	1.045	26	1.503	18	24.838	7	5.314
5 0.500	38	2.222	28	1.031	27	1.481	19	23.375	8	4.838
6 0.500	39	1.972	29	0.872	28	1.284	20	21.423	9	4.433
7 0.500	40	1.722	30	0.858	29	1.088	21	19.860	10	3.843
8 0.352	41	1.506	31	0.699	30	1.066	22	18.188	11	3.438
9 0.351	42	1.291	32	0.684	31	1.044	23	16.725	12	3.217
10 0.351	43	1.076	33	0.525	32	0.877	24	15.523	13	2.997
Descargas m ³ /s	44	1.046	34	0.511	33	0.856	25	14.380	14	2.962
1 0.350	45	0.831	35	0.352	34	0.689	26	13.508	15	2.926
2 0.670	46	0.615	36	0.338	35	0.667	27	12.695	16	2.706
3 1.360	47	0.400	37	0.178	36	0.500	28	11.913	17	2.496
4 1.699	48	0.185	38	0.164	37	0.479	29	11.130	18	2.461
5 2.779	Data da cheia		39	0.075	38	0.312	30	10.328	19	2.250
6 4.509	12.02.79				39	0.145	31	9.745	20	2.040
7 6.299	Precipit. mm		Data da cheia				32	8.903	21	1.830
8 7.849	1 1.431		25.12.78		Data da cheia		33	8.060	22	1.620
9 8.918	Descargas m ³ /s		Precipit. mm		05.12.78		34	7.278	23	1.409
10 10.248	1 0.050		1 1.958		Precipit. mm		35	6.755	24	1.374
11 11.598	2 0.075		Descargas m ³ /s		1 1.336		36	6.233	25	1.339
12 13.388	3 0.286		1 0.050		2 1.336		37	5.710	26	1.129
13 14.617	4 2.797		2 0.075		3 1.336		38	5.188	27	1.073
14 14.347	5 6.782		3 0.493		4 1.336		39	4.905	28	1.058
15 13.557	6 6.548		4 9.271		5 1.336		40	4.623	29	1.023
16 12.487	7 6.094		5 10.810		6 1.336		41	4.120	30	0.812
17 11.677	8 5.640		6 9.458		7 1.336		42	3.838	31	0.777
18 10.696	9 5.256		7 8.286		8 1.330		43	3.335	32	0.742
19 9.976	10 4.686		8 6.904		Descargas m ³ /s		44	3.053	33	0.707
20 9.026	11 4.302		9 5.783		1 0.060		45	2.550	34	0.671
21 8.556	12 3.918		10 5.101		2 0.958		46	2.258	35	0.461
22 7.646	13 3.544		11 4.709		3 2.655		47	1.965	36	0.426
23 7.175	14 3.180		12 4.502		4 4.653		48	1.213	37	0.391
24 6.245	15 2.991		13 4.111		5 6.370		49	0.460	38	0.355
25 5.755	16 2.626		14 3.904		6 8.798		Data da cheia		39	0.145
26 5.265	17 2.262		15 3.512		7 14.965		19.03.77			
27 5.004	18 2.073		16 3.120		8 17.463		Precipit. mm			
28 4.774	19 1.739		17 2.924		9 19.920		1 1.475			
29 4.714	20 1.725		18 2.727		10 26.938		Descargas m ³ /s			
30 4.454			19 2.530		11 30.875					

Tabela 3e

PRECIPITAÇÕES EFETIVAS E DESCARGAS

POSTO: PF2 ÁREA: 413.8 km ²			POSTO: PF3 ÁREA: 25.3 km ²			
Data da cheia	31	7.054	Data da cheia	7	0.921	
14.07.77	32	6.529	Descargas m ³ /s	1	0.006	
Precipit. mm	33	6.244	2	0.246	Descargas m ³ /s	
1	34	5.739	3	0.588	1	0.097
2	35	5.233	4	0.496	2	0.195
3	36	4.948	5	0.387	3	0.387
4	37	4.663	6	0.945	4	0.618
5	38	4.158	7	1.719	5	0.848
6	39	3.873	8	1.750	6	1.079
7	40	3.348	9	1.861	7	1.309
8	41	3.052	10	2.228	8	1.540
9	42	2.757	11	2.175	9	1.769
10	43	2.462	12	2.141	10	1.806
Descargas m ³ /s	44	2.167	13	2.166	11	1.649
1	45	1.872	14	2.140	12	1.493
2	46	1.806	15	2.023	13	1.336
3	47	1.511	16	1.865	14	1.181
4	48	1.216	17	1.708	15	1.065
5	49	0.921	18	1.550	16	0.964
6	50	0.856	19	1.400	17	0.863
7	51	0.570	20	1.289	18	0.762
8	52	0.285	21	1.183	19	0.661
9	53	0.220	22	1.078	20	0.560
10			23	0.974	21	0.459
11			24	0.879	22	0.388
12			25	0.792	23	0.349
13			26	0.715	24	0.309
14			27	0.645	25	0.269
15			28	0.575	26	0.230
16			29	0.506	27	0.190
17			30	0.435	28	0.151
18			31	0.379	29	0.111
19			32	0.338	30	0.072
20			33	0.296	31	0.033
21			34	0.033		
22			Data da cheia			
23			05.12.78			
24			Precipit. mm	Data da cheia		
25			1	1.063	03.02.78	
26			2	1.063	Precipit. mm	
27			3	1.063	1	0.921
28			4	1.063	2	0.921
29			5	1.063	3	0.921
30			6	1.063	4	0.921
			7	1.063	5	0.921
			8	1.063	6	0.921
			9	1.063		
			10	1.066		

Tabela 3f

PRECIPITAÇÕES EFETIVAS E DESCARGAS

POSTO: PF3		ÁREA: 25.3 km ²	
Data da cheia	Precipit. mm	2 0.792	20 0.000
21.11.78		3 1.755	21 0.000
Precipit. mm		4 1.828	22 0.000
1 1.689	1 4.293	5 1.770	23 0.000
2 1.689	2 0.000	6 1.700	24 0.000
3 1.688	3 4.293	7 1.605	25 0.000
4 1.688	4 4.293	8 1.509	26 0.000
5 1.688		9 1.413	27 0.000
6 1.688		10 1.308	28 0.000
Descargas m ³ /s		11 1.193	29 0.000
1 0.065	1 0.040	12 1.079	30 0.000
2 0.219	2 0.468	13 0.966	31 0.000
3 0.552	3 0.902	14 0.852	32 0.000
4 0.970	4 2.431	15 0.737	33 0.000
5 1.552	5 4.090	16 0.641	34 0.000
6 2.040	6 4.111	17 0.561	35 5.588
7 2.325	7 3.938	18 0.481	Descargas m ³ /s
8 2.660	8 3.612	19 0.400	1 0.022
9 2.590	9 3.286	20 0.320	2 0.174
10 2.510	10 2.960	21 0.240	3 2.383
11 2.330	11 2.634	22 0.161	4 2.518
12 2.166	12 2.361	23 0.080	5 2.225
13 2.004	13 2.143	24 0.040	6 2.007
14 1.842	14 1.925	Data da cheia	7 1.790
15 1.660	15 1.705	20.07.78	8 1.587
16 1.454	16 1.487	Precipit. mm	9 1.399
17 1.325	17 1.280	1 3.122	10 1.237
18 1.243	18 1.141	2 3.122	11 1.102
19 1.096	19 1.015	3 0.000	12 0.967
20 0.946	20 0.888	4 0.000	13 0.832
21 0.804	21 0.760	5 0.000	14 0.699
22 0.713	22 0.634	6 0.000	15 0.628
23 0.600	23 0.507	7 0.000	16 2.062
24 0.500	24 0.399	8 0.000	17 3.189
25 0.450	25 0.311	9 0.000	18 3.012
26 0.380	26 0.224	10 0.000	19 2.848
27 0.300	27 0.135	11 0.000	20 2.665
28 0.200	28 0.047	12 0.000	21 2.413
29 0.100	Data da cheia	13 0.000	22 2.168
Data da cheia	30.08.78	14 0.000	23 1.930
03.11.78	Precipit. mm	15 7.875	24 1.693
	1 6.122	16 0.000	25 1.456
		17 0.000	26 1.222
	Descargas m ³ /s	18 0.000	27 1.062
	1 0.081	19 0.000	28 0.931
		20 0.000	29 0.801

Tabela 3g

PRECIPITAÇÕES EFETIVAS E DESCARGAS

POSTO: PF4

ÁREA: 308 km²

Data da cheia 10.03.79	33 1.351	17 15.833	Descargas m ³ /s	Data da cheia 27.03.77	34 5.323
Precipit. mm	34 1.173	18 14.687	1 0.220	Precipit. mm	35 4.211
1 0.292	35 1.156	19 13.840	2 0.319	1 5.239	36 3.620
2 0.291	36 0.978	20 12.733	3 0.577	2 5.239	37 3.029
3 0.291	37 0.960	21 11.887	4 0.836	3 5.239	38 2.697
4 0.291	38 0.782	22 10.780	5 2.335	4 5.239	39 2.106
5 0.291	39 0.764	23 9.933	6 7.193	5 5.239	40 1.514
6 0.291	40 0.587	24 8.907	7 13.172	6 5.239	41 1.183
7 0.291	41 0.569	25 8.120	8 20.371	7 5.239	42 0.591
8 0.291	42 0.391	26 7.333	9 26.009	8 5.238	43 0.260
Descargas m ³ /s	43 0.373	27 6.827	10 29.788	Descargas	
1 0.160	44 0.196	28 6.320	11 33.487	1 0.040	
2 0.302	45 0.178	29 5.813	12 33.425	2 3.829	
3 0.604	46 0.160	30 5.307	13 30.564	3 11.497	
4 1.067	Data da cheia 15.12.78	31 4.800	14 28.583	4 21.886	
5 1.689	Precipit. mm	32 4.333	15 26.441	5 35.354	
6 2.151	1 0.909	33 3.867	16 24.380	6 51.723	
7 2.613	2 0.907	34 3.400	17 22.219	7 69.711	
8 3.076	3 0.907	35 3.133	18 20.357	8 88.230	
9 3.598	4 0.907	36 2.867	19 18.496	9 107.499	
10 3.940	5 0.907	37 2.600	20 16.935	10 150.287	
11 4.462	6 0.907	38 2.333	21 15.073	11 151.916	
12 4.804	7 0.907	39 1.907	22 14.112	12 125.614	
13 4.987	8 0.907	40 1.840	23 12.971	13 115.483	
14 4.969	9 0.907	41 1.413	24 12.129	14 106.331	
15 4.751	Descargas m ³ /s	42 1.347	25 11.288	15 97.180	
16 4.553	1 0.120	43 0.920	26 10.187	16 88.029	
17 4.176	2 0.693	44 0.853	27 9.345	17 78.877	
18 3.978	3 1.747	45 0.427	28 8.504	18 69.906	
19 3.780	4 2.640	46 0.360	29 7.703	19 61.439	
20 3.402	5 3.813	Data da cheia 03.11.78	30 6.921	20 52.638	
21 3.204	6 4.867	Precipit. mm	31 6.140	21 45.371	
22 3.007	7 6.840	1 0.100	32 5.599	22 39.280	
23 2.809	8 10.453	2 1.693	33 5.097	23 33.789	
24 2.471	9 14.767	3 1.693	34 4.596	24 28.657	
25 2.293	10 17.500	4 1.693	35 4.315	25 24.086	
26 2.276	11 18.333	5 1.693	36 3.813	26 21.194	
27 2.258	12 19.167	6 1.693	37 3.312	27 18.463	
28 2.080	13 19.700	7 1.693	38 2.831	28 16.631	
29 1.902	14 19.033	8 1.690	39 2.569	29 14.500	
30 1.724	15 18.067	Descargas	40 2.308	30 12.669	
31 1.547	16 16.800	1 0.360	41 1.847	31 10.537	
32 1.369		2 0.360	42 1.585	32 8.706	
		3 0.360	43 1.324	33 6.954	
		4 0.360	44 0.863		
		5 0.360	45 0.601		
		6 0.360	46 0.360		

PRECIPITAÇÕES EFETIVAS E DESCARGAS

POSTO: PF6		ÁREA: 236.8 km ²	
Data da cheia	38 0.572	32 0.490	34 0.236
03.05.79	39 0.537	33 0.317	35 0.071
Precipit. mm	40 0.501	34 0.145	36 0.050
1 0.058	41 0.346		37 0.030
2 2.900	42 0.311	Data da cheia	Data da cheia
3 0.058	43 0.155	12.02.79	24.12.78
	44 0.120	Precipit. mm	Precipit. mm
Descargas m ³ /s	Data da cheia	1 0.100	1 0.100
1 0.100	02.01.79	2 0.100	2 0.100
2 0.365	Precipit. mm	3 2.252	3 0.100
3 1.449	1 2.428	Descargas m ³ /s	4 1.721
4 2.314		1 0.090	Descargas m ³ /s
5 3.119	Descargas m ³ /s	2 0.115	1 0.060
6 3.583	1 0.030	3 0.115	2 0.407
7 3.908	2 0.060	4 0.409	3 1.098
8 3.873	3 0.558	5 2.789	4 1.700
9 4.197	4 7.845	6 6.209	5 2.167
10 4.522	5 7.278	7 6.188	6 2.673
11 4.487	6 5.991	8 5.808	7 3.240
12 4.451	7 5.423	9 5.068	8 3.847
13 4.416	8 4.896	10 4.768	9 4.373
14 4.200	9 4.449	11 4.467	10 4.620
15 3.985	10 4.001	12 4.307	11 4.727
16 3.950	11 3.553	13 4.147	12 4.553
17 3.734	12 3.287	14 3.986	13 4.100
18 3.519	13 3.019	15 3.426	14 3.787
19 3.304	14 2.872	16 3.046	15 3.333
20 3.088	15 2.605	17 2.906	16 2.940
21 2.873	16 2.337	18 2.645	17 2.547
22 2.658	17 2.190	19 2.385	18 2.153
23 2.482	18 2.063	20 2.145	19 1.800
24 2.307	19 1.935	21 2.024	20 1.467
25 2.272	20 1.908	22 1.804	21 1.333
26 2.236	21 1.780	23 1.584	22 1.200
27 2.201	22 1.653	24 1.464	23 1.067
28 2.166	23 1.526	25 1.343	24 0.933
29 1.850	24 1.398	26 1.223	25 0.800
30 1.675	25 1.171	27 1.203	26 0.767
31 1.500	26 1.144	28 1.083	27 0.733
32 1.324	27 1.016	29 0.917	28 0.700
33 1.149	28 0.889	30 0.897	29 0.522
34 0.973	29 0.862	31 0.732	30 0.488
35 0.938	30 0.689	32 0.566	31 0.455
36 0.763	31 0.517	33 0.401	
37 0.727			

Tabela 3i

PRECIPITAÇÕES EFETIVAS E DESCARGAS

POSTO: PF8		ÁREA: 117 km ²						
Data da cheia	30	0.758	28	1.989	22	5.722	13	8.014
15.04.79	31	0.708	29	1.719	23	5.317	14	6.730
Precipit. mm	32	0.658	30	1.449	24	4.911	15	6.109
1	33	0.608	31	1.178	25	4.505	16	5.623
2	34	0.488	32	1.043	26	4.099	17	5.137
3	35	0.438	33	0.773	27	3.829	18	4.516
4	36	0.388	34	0.503	28	3.423	19	4.030
5	37	0.338	35	0.232	29	3.153	20	3.575
6	38	0.219			30	2.747	21	3.119
7	39	0.169	Data da cheia		31	2.341	22	2.914
8			31.07.77		32	2.206	23	2.708
9	Data da cheia		Precipit. mm		33	2.071	24	2.528
10	20.11.78		1	1.511	34	1.800	25	2.347
11	Precipit. mm		2	1.500	35	0.989	26	2.166
	1	0.142	3	1.500	36	0.314	27	1.886
Descargas m ³ /s	2	11.000	4	1.511	37	0.200	28	1.705
1	Descargas m ³ /s		5	1.500	38	0.100	29	1.525
2	1	0.097	6	1.500	Data da cheia		30	1.344
3	2	0.232	7	1.511	18.06.77		31	1.164
4	3	4.153	8	1.500	Precipit. mm		32	0.983
5	4	9.698	9	1.500	1	0.691	33	0.903
6	5	14.973	10	1.500	2	0.691	34	0.722
7	6	15.649	Descargas m ³ /s		3	0.691	35	0.542
8	7	14.297	1	0.173	4	0.691	36	0.361
9	8	12.944	2	0.989	5	0.691	37	0.181
10	9	11.592	3	1.935	6	0.690	38	0.050
11	10	10.374	4	2.747	7	0.690		
12	11	9.157	5	3.694	8	0.690		
13	12	8.075	6	4.505	9	0.690		
14	13	7.128	7	5.452	10	0.690		
15	14	6.046	8	7.751	Descargas m ³ /s			
16	15	5.505	9	11.403	1	0.030		
17	16	5.099	10	14.350	2	0.166		
18	17	4.694	11	16.750	3	0.399		
19	18	4.423	12	18.100	4	0.738		
20	19	4.017	13	17.354	5	1.258		
21	20	3.612	14	16.002	6	1.800		
22	21	3.206	15	14.649	7	2.497		
23	22	3.071	16	13.432	8	3.316		
24	23	3.206	17	12.079	9	5.106		
25	24	3.206	18	10.727	10	7.998		
26	25	2.935	19	9.510	11	9.025		
27	26	2.530	20	8.157	12	8.994		
28	27	2.259	21	6.804				
29								

Tabela 3j

RESULTADOS OBTIDOS PARA OS PARÂMETROS

PF1 - ARROIO ALEGRE

ÁREA: 71.5 km²

Características da Precipitação			HUI Triangular		HUI Modelo Nash		Aparelhos de medição	
Nº	Data	L, M	TP (2h)	OP (mm/2h)	PN (Adim.)	PK (2h)	Precipitação	Descarga
1	10.03.79	10-33	2.855	0.099	2.433	3.354	Pluviômetro	Linígrafo
2	24.12.78	01-27	3.214	0.123	3.061	2.085	Pluviômetro	Linígrafo
3	03.12.78	31-59	4.840	0.071	2.329	4.997	Pluviômetro	Linígrafo
4	18.11.78	51-79	4.460	0.069	2.302	4.853	Pluviômetro	Linígrafo
5	03.11.78	04-35	2.645	0.103	2.147	3.506	Pluviômetro	Linígrafo
6	30.08.78	14-28	2.780	0.083	2.025	4.636	Pluviômetro	Linígrafo
7	14.08.78	12-36	3.370	0.075	2.204	4.896	Pluviômetro	Linígrafo
8	20.07.78	35-60	2.520	0.096	2.022	4.006	Pluviômetro	Linígrafo
9	03.02.78	05-34	1.581	0.063	1.558	7.640	Pluviômetro	Escalas
10	16.08.77	16-43	3.519	0.121	2.956	2.333	Pluviômetro	Escalas
11	27.07.77	04-31	1.461	0.107	1.891	3.933	Pluviômetro	Escalas
12	21.07.77	12-41	2.498	0.080	2.063	4.715	Pluviômetro	Escalas
	Média	-	2.979	0.091	2.249	4.426	Prod.:	9.549

PF2 - RIO FORQUETINHA

ÁREA: 413.8 km²

Características da Precipitação			HUI Triangular		HUI Modelo Nash		Aparelhos de medição	
Nº	Data	L, M	TP (2h)	OP (mm/2h)	PN (Adim.)	PK (2h)	Precipitação	Descarga
1	10.03.79	10-48	4.576	0.056	2.139	6.498	Pluviômetro	Linígrafo
2	12.02.79	01-39	4.616	0.069	2.541	4.424	Pluviômetro	Linígrafo
3	25.12.78	01.39	3.608	0.071	2.127	5.010	Pluviômetro	Linígrafo
4	05.12.78	08-49	5.491	0.056	2.236	6.698	Pluviômetro	Linígrafo
5	14.07.77	10-53	7.861	0.047	2.545	6.948	Pluviômetro	Escalas
6	19.03.77	01-39	3.127	0.063	1.828	6.613	Pluviômetro	Escalas
	Média	-	-	-	2.236	6.032	Prod.:	13.488

PF3 - ARROIO ARAGUARÍ

ÁREA: 25.3 km²

Características da Precipitação			HUI Triangular		HUI Modelo Nash		Aparelhos de medição	
Nº	Data	L, M	TP (2h)	OP (mm/2h)	PN (Adim.)	PK (2h)	Precipitação	Descarga
1	24.12.78	01-23	1.314	0.152	1.668	2.956	Pluviômetro	Linígrafo
2	05.12.78	10-34	2.015	0.073	1.900	5.560	Pluviômetro	Linígrafo
3	21.11.78	06-29	2.576	0.083	2.000	4.737	Pluviômetro	Linígrafo
4	03.11.78	04-28	1.514	0.095	1.733	4.657	Pluviômetro	Linígrafo
5	30.08.78	01.24	2.222	0.090	1.943	4.473	Pluviômetro	Linígrafo
6	20.07.78	35-57	1.872	0.104	1.837	4.088	Pluviômetro	Linígrafo
7	03.02.78	07-31	2.551	0.089	2.062	4.330	Pluviômetro	Escalas
	Média	-	2.009	0.098	1.878	4.400	Prod.:	8.263

RESULTADOS OBTIDOS PARA OS PARÂMETROS								
PF4 - RIO FORQUETINHA					ÁREA: 308 km ²			
Características da Precipitação			HUI Triangular		HUI Modelo Nash		Aparelhos de medição	
Nº	Data	L, M	TP (2h)	OP (mm/2h)	PN (Adim.)	PK (2h)	Precipitação	Descarga
1	10.03.79	08-46	4.822	0.053	2.111	7.080	Pluviômetro	Linígrafo
2	05.12.78	09-46	4.928	0.061	2.289	5.732	Pluviômetro	Linígrafo
3	03.11.78	08-46	4.408	0.066	2.222	5.440	Pluviômetro	Linígrafo
4	27.03.77	08-43	4.251	0.086	2.614	3.686	Pluviômetro	Escalas
	Média	-	-	-	2.309	5.485	Prod.:	12.665
PF6 - RIO FORQUETINHA					ÁREA: 236.8 km ²			
Características da Precipitação			HUI Triangular		HUI Modelo Nash		Aparelhos de medição	
Nº	Data	L, M	TP (2h)	OP (mm/2h)	PN (Adim.)	PK (2h)	Precipitação	Descarga
1	03.05.79	03-44	5.180	0.049	2.095	7.842	Pluviômetro	Linígrafo
2	02.01.79	01-34	3.378	0.070	2.108	5.062	Pluviômetro	Linígrafo
3	12.02.79	03-37	3.394	0.069	2.100	5.274	Pluviômetro	Linígrafo
4	24.12.78	04-40	4.280	0.077	2.172	4.954	Pluviômetro	Linígrafo
	Média	-	-	-	2.119	5.783	Prod.:	12.254
PF8 - RIO FORQUETINHA					ÁREA: 117 km ²			
Características da Precipitação			HUI Triangular		HUI Modelo Nash		Aparelhos de medição	
Nº	Data	L, M	TP (2h)	OP (mm/2h)	PN (Adim.)	PK (2h)	Precipitação	Descarga
1	15.04.79	11-39	5.552	0.072	2.862	3.960	Pluviômetro	Linígrafo
2	20.11.78	02-35	2.724	0.076	1.863	5.236	Pluviômetro	Linígrafo
3	31.07.77	10-38	4.184	0.081	2.562	3.936	Pluviômetro	Escalas
4	18.06.77	10-38	3.720	0.079	2.424	4.124	Pluviômetro	Escalas
	Média	-	-	-	2.428	4.314	Prod.:	10.474

Tabela 3m

No quadrante que corresponde aos valores positivos para os dois parâmetros, PN e PK ou TP e QP, verificou-se a ocorrência de ponto de mínimo único, para a função objetiva. É a primeira informação favorável à aplicação do método de otimização adotado. Por outro lado, nas sub-bacias estudadas, observou-se que estimativas de PN = 2.5 (número de reservatório) e PK = 3.5 (tempo de armazenamento em cada reservatório), levaram à convergência do processo, para a grande maioria dos hidrogramas selecionados. Não se precisou, portanto, estudar em detalhe o comportamento da função objetiva, nas sub-bacias.

A não convergência, em cerca de 20% dos eventos, é devido à estimativa inicial, que determina que a segunda iteração parta de valor negativo para um dos parâmetros ou, então, parta de valores muito afastados da posição do ótimo, onde, para a economia no tempo de computação, a função objetiva não apresenta um valor completo e, por conseguinte, nem as derivadas da função objetiva são exatas. Em outros casos houve convergência para o máximo da função objetiva, identificável pelos valores das derivadas.

Nesses casos, a solução foi adotar um novo ponto de partida, que pode ser definido observando-se a tendência mostrada na iteração que não convergiu, ou então, analisando-se a forma da função objetiva num programa, sem o mecanismo de otimização.

O restante dos casos estudados, convergiram na segunda tentativa, e, em vista disto, optou-se pela não sofisticação do programa de otimização que seria obtida se fosse usada uma busca sistemática de estimativas iniciais para os parâmetros, que levassem à convergência do processo.

A convergência do processo, quando alcançada, faz-se rapidamente. Para ter-se uma idéia, quando se deseja valores dos parâmetros com erros menores do que 10^{-4} , o número médio de iterações é 5. Em decorrência dessa observa

ção, o programa foi montado para realizar no máximo 10 iterações.

3.6. Dependência entre os parâmetros PN e PK com a duração da precipitação efetiva

Para determinação da duração da precipitação efetiva com observações de pluviômetros, estabeleceu-se critérios apoiados, apenas, em características gerais que os eventos hidrológicos apresentam normalmente.

Referindo-se a análises de precipitações, BARNES (1952) considerou o seguinte:

"Registros de precipitações não são sempre essenciais à obtenção de hidrogramas unitários", no entanto, ele acentuou, que nos estudos sem direto conhecimento das precipitações, tantos eventos quanto praticável seja, devem ser isolados e comparados.

No estudo de dependência, procede-se como se a duração da chuva fosse desconhecida, e verifica-se qual o comportamento dos parâmetros frente a esse aspecto e as variações apresentadas pela função objetiva.

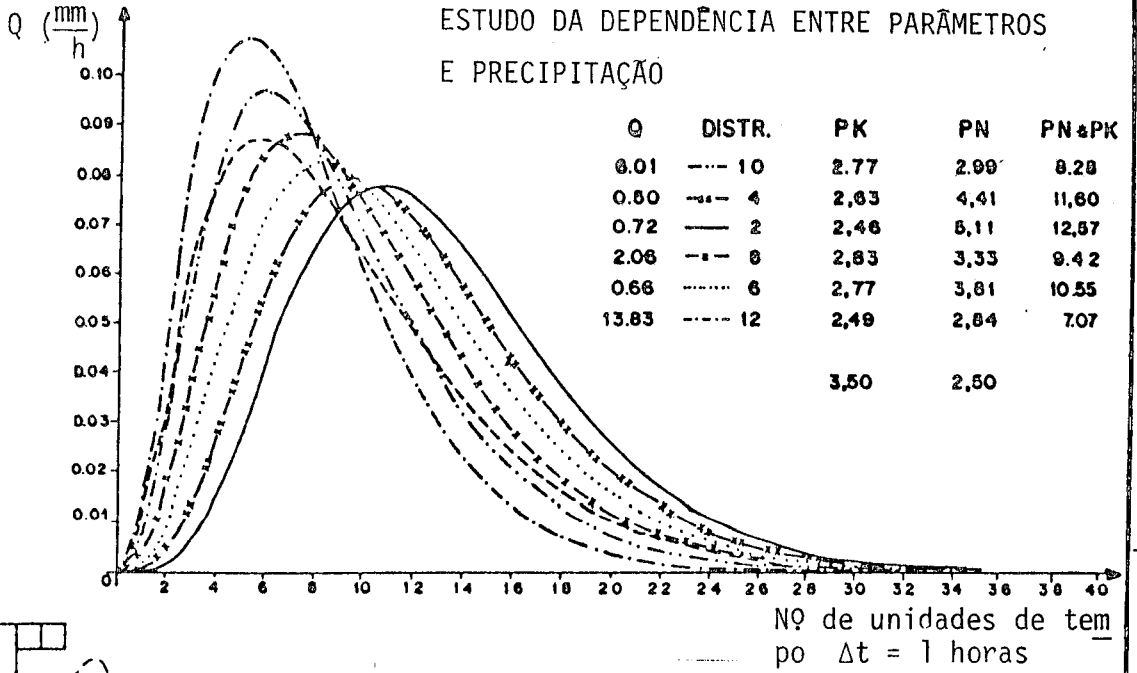
Para isto, toma-se um hidrograma observado e analisa-se várias durações com taxas uniformes durante a precipitação efetiva, otimizando os parâmetros em cada caso.

Na figura 3d (exemplo teórico), aparecem as distribuições de chuvas adotadas e o hidrograma observado (teórico), além dos HUT resultantes da otimização com cada duração de precipitação usada. Como se trata de um exemplo, obtido com uma convolução do Modelo Nash, a função objetiva é nula para a distribuição real da chuva.

As diferentes distribuições de chuva estu-

ESTUDO DA DEPENDÊNCIA ENTRE PARÂMETROS E PRECIPITAÇÃO

Q	DISTR.	PK	PN	PN&PK
0.01	10	2.77	2.99	0.28
0.80	4	2.03	4.41	11.60
0.72	2	2.46	5.11	12.57
2.06	8	2.83	3.33	9.42
0.68	6	2.77	3.81	10.55
13.83	12	2.49	2.84	7.07
		3.50	2.50	



Q (m³/s)

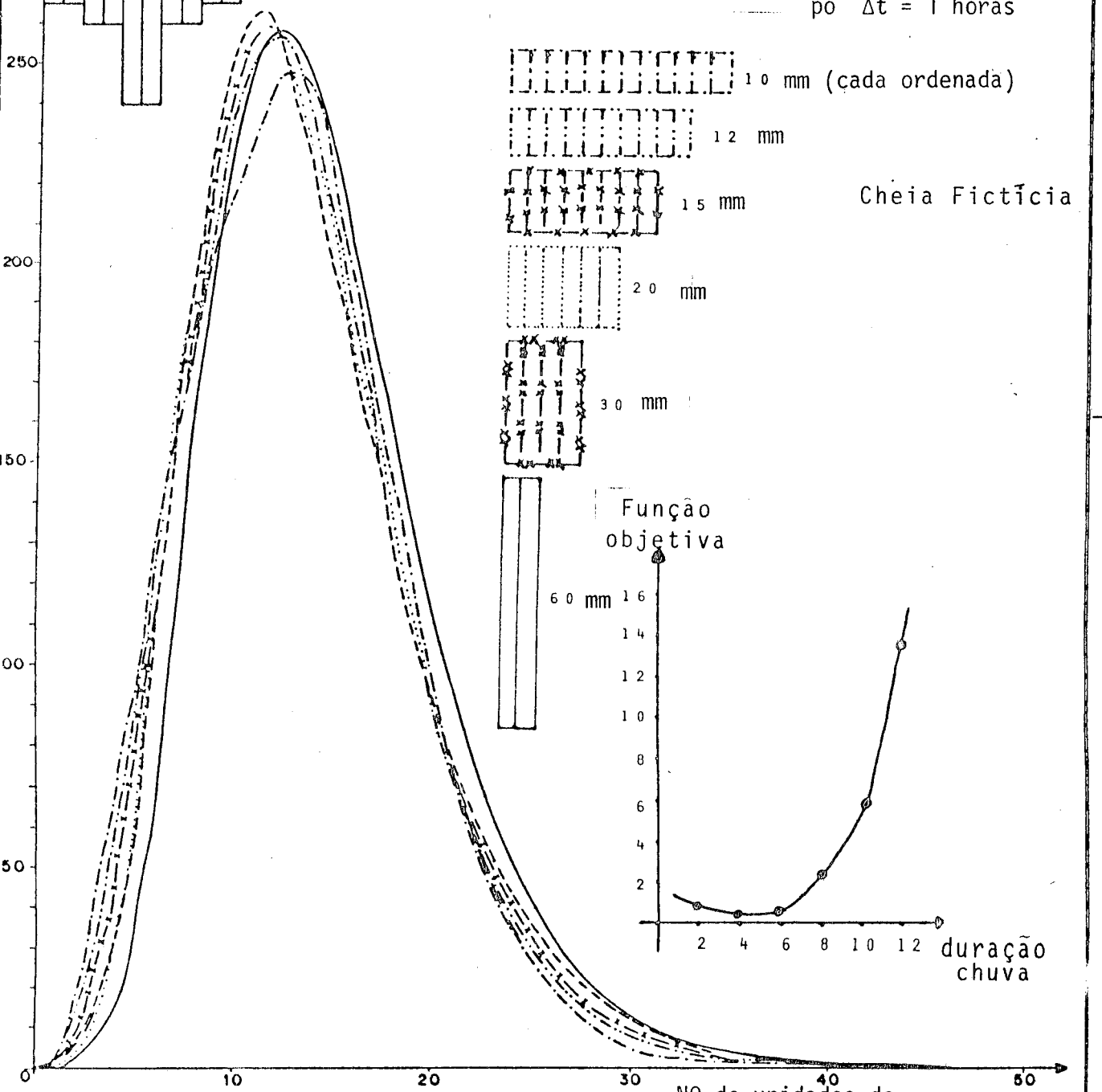


Figura 3d Nº de unidades de tempo: Δt = 1 hora

dadas, tem ordenadas variando em número, desde 2 a 12.

Verifica-se, nos gráficos auxiliares, a existência de uma faixa de durações de chuva, em que a função objetiva tem pequenas variações. Quando as durações se aproximam e ultrapassam o tempo de pico do hidrograma observado, ocorrem acréscimos consideráveis no valor da função objetiva.

Nas figuras 3e e 3f os resultados são provenientes de análise semelhante aplicada a hidrogramas selecionados reais, tendo, portanto, maior significância.

Dessas informações obtidas, tem-se, em parte, justificado o procedimento estabelecido anteriormente, de restringir o campo de variação das durações da chuva, dada por pluviômetro, ao tempo de pico do hidrograma. Para se considerar durações superiores de precipitações, os hidrogramas devem apresentar características especiais, semelhantes ao "Hidrograma em S".

3.7. Formas do HUI representado pelo Modelo Nash e comportamento da função objetiva

As diferentes formas que a distribuição gama representa são mostradas nas figuras 3g e 3h; podem ser observados os efeitos determinados por cada parâmetro, individualmente, nos HUT graficados.

O parâmetro PN é determinante das variações na forma, enquanto PK é responsável pelas variações de escalas dos hidrogramas unitários.

O comportamento da função objetiva está dado nas figuras 3i e 3j.

Estes gráficos foram obtidos, determinando-

ESTUDO DE DEPENDÊNCIA ENTRE PARÂMETROS 92 E PRECIPITAÇÃO

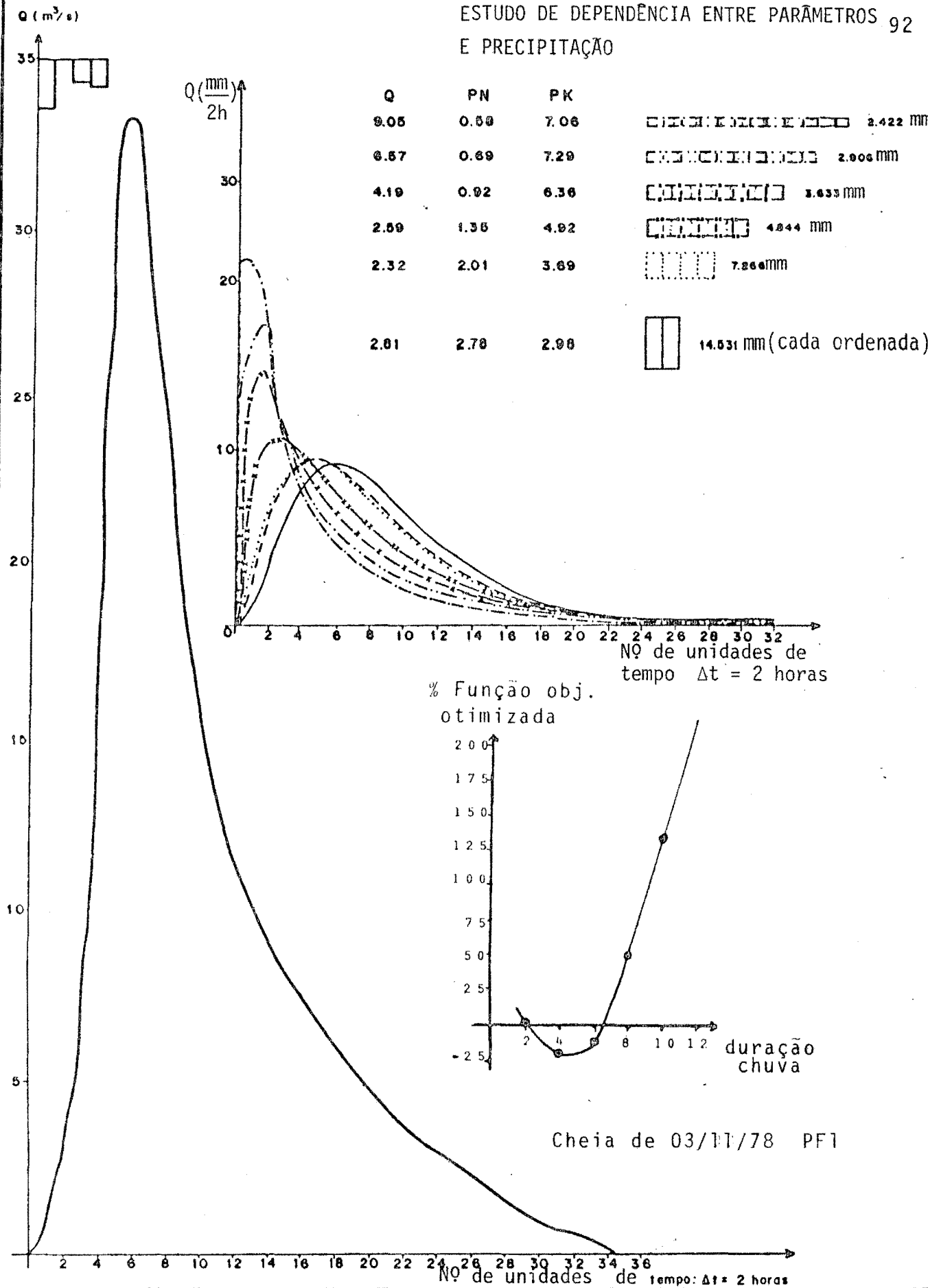


Figura 3e

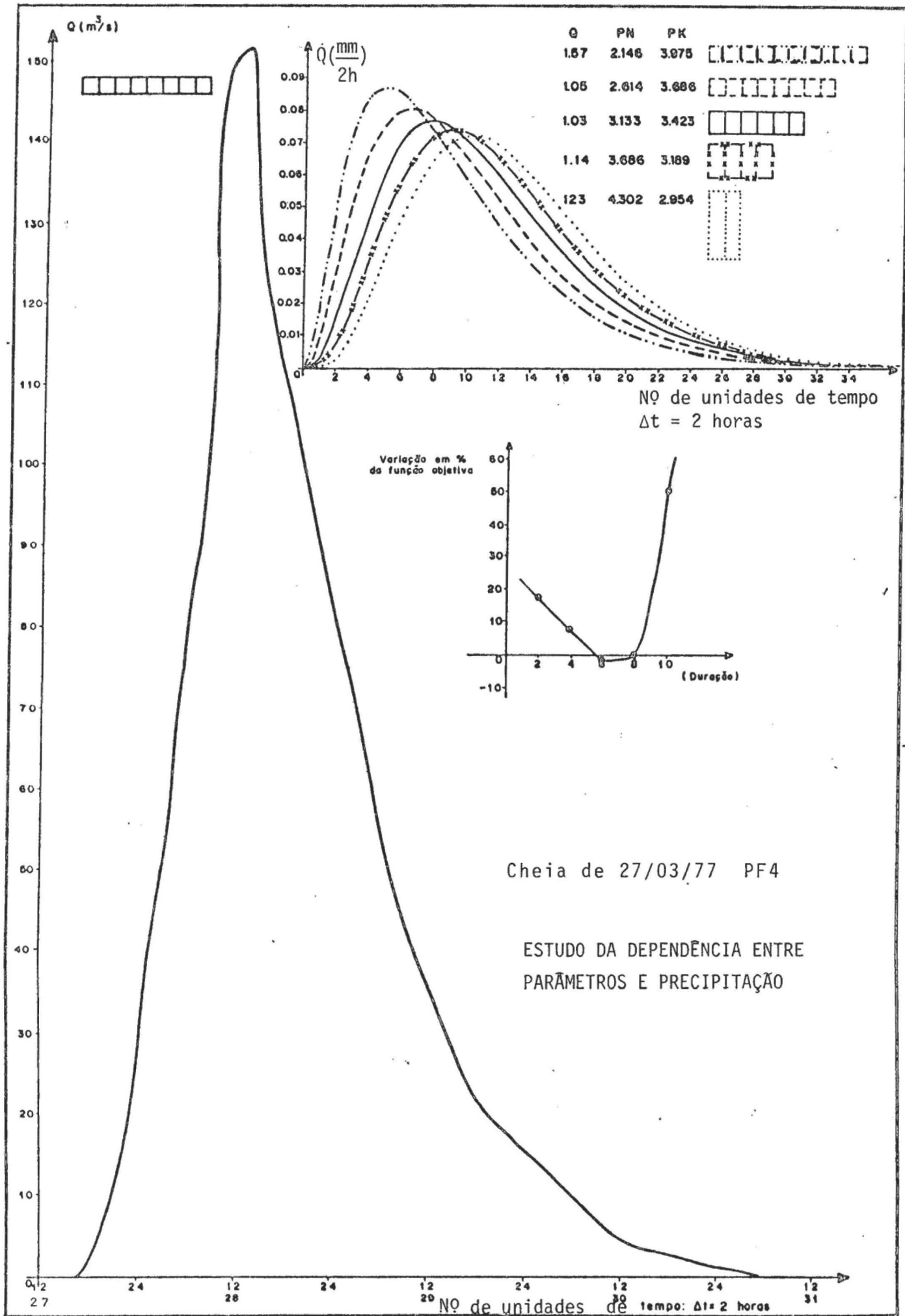


Figura 3f

FORMAS DA DISTRIBUIÇÃO GAMA
(Variações de escala no HUT)

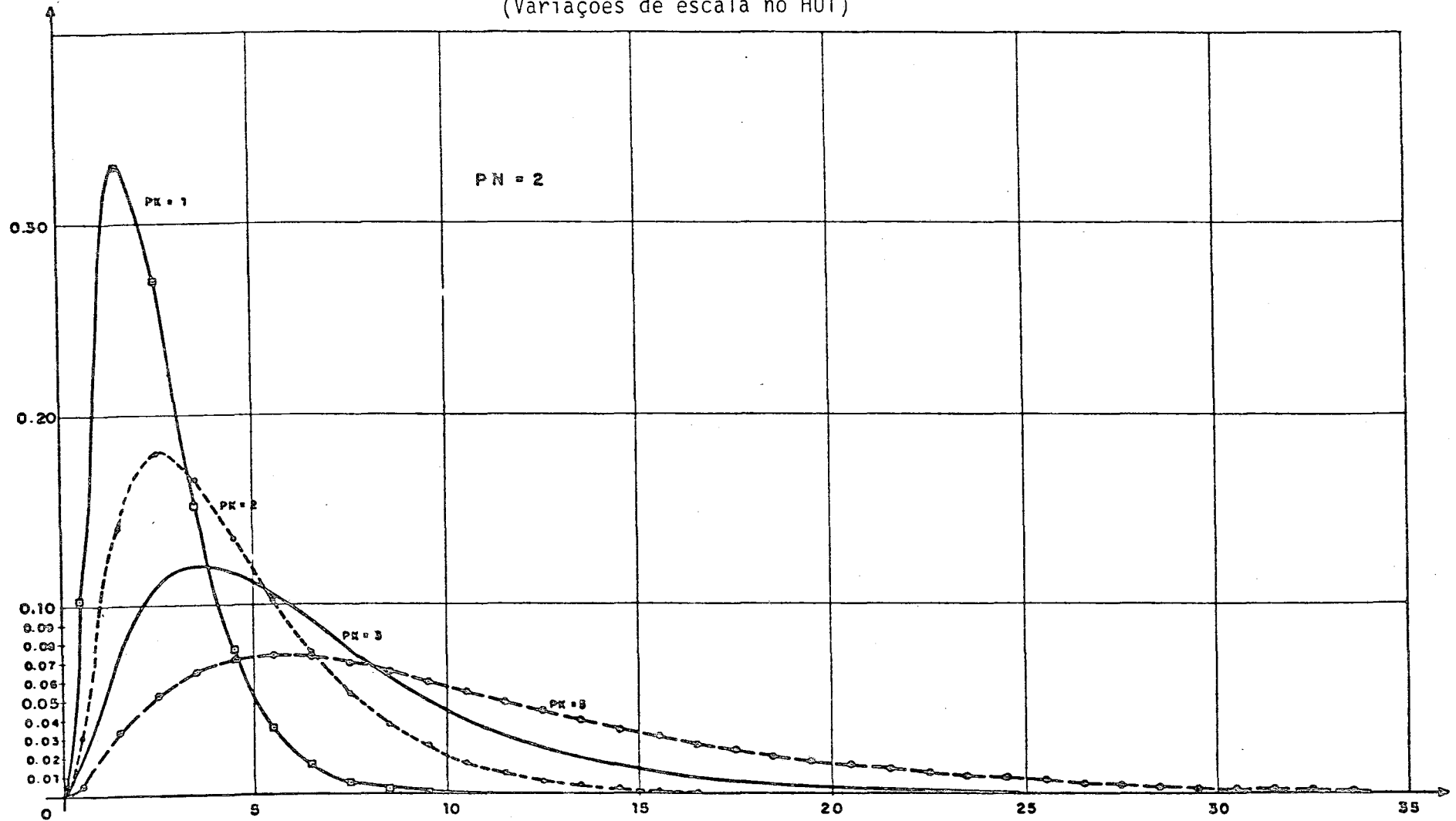


Figura 3g

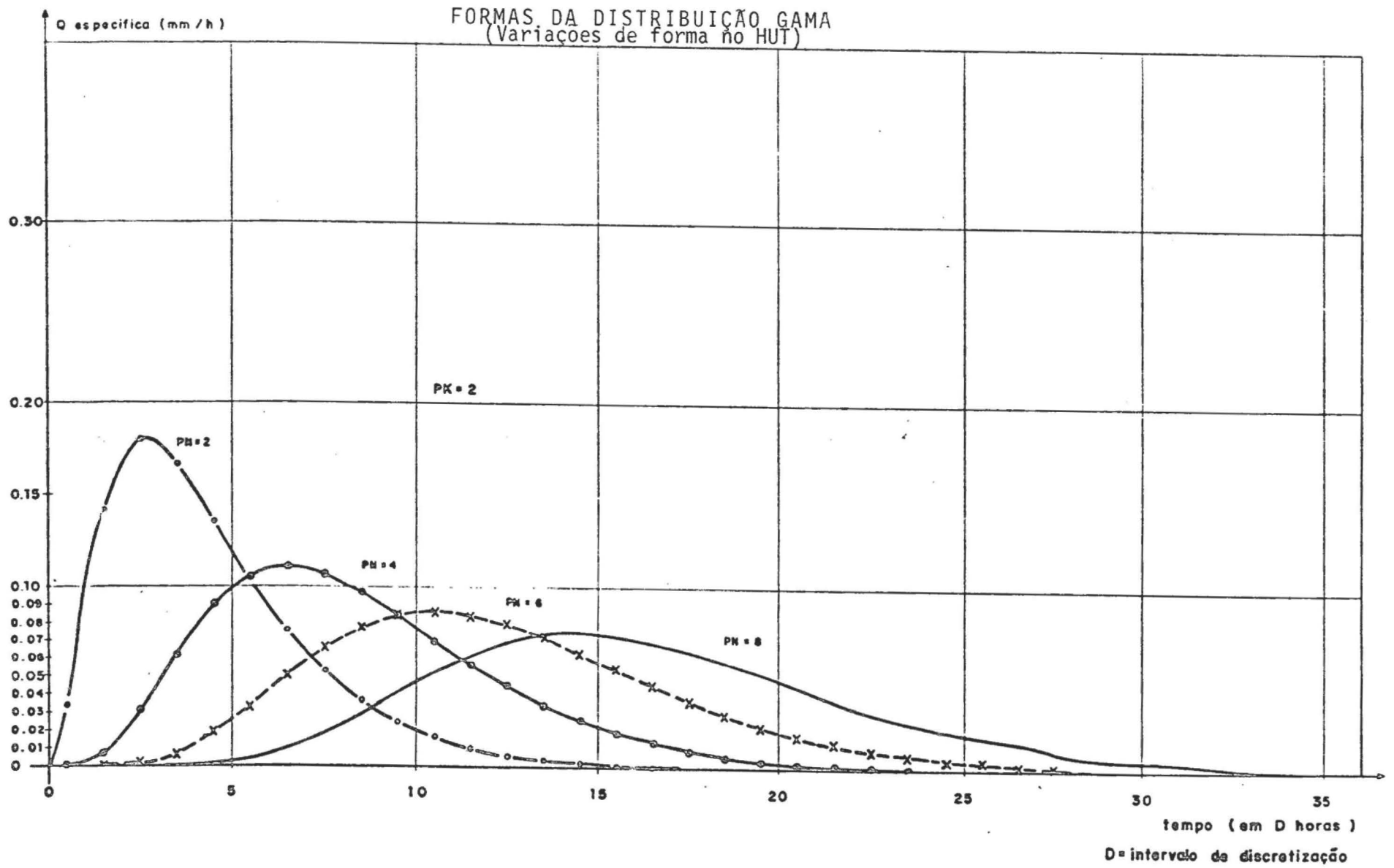


Figura 3h

Comportamento da função objetiva para Modelo Nash

Valores reduzidos pelo fator : $(COEF)^2$

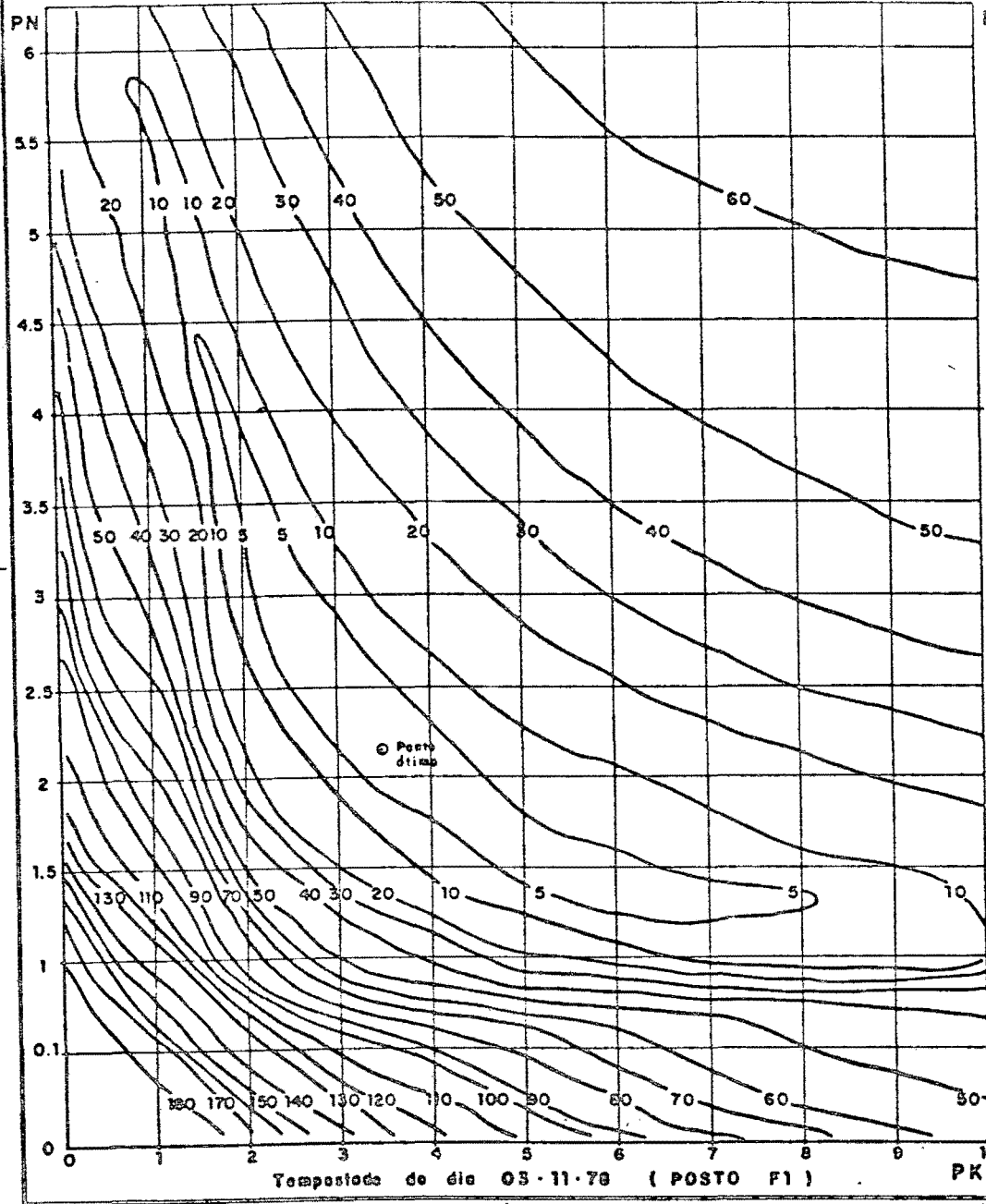


Figura 3i

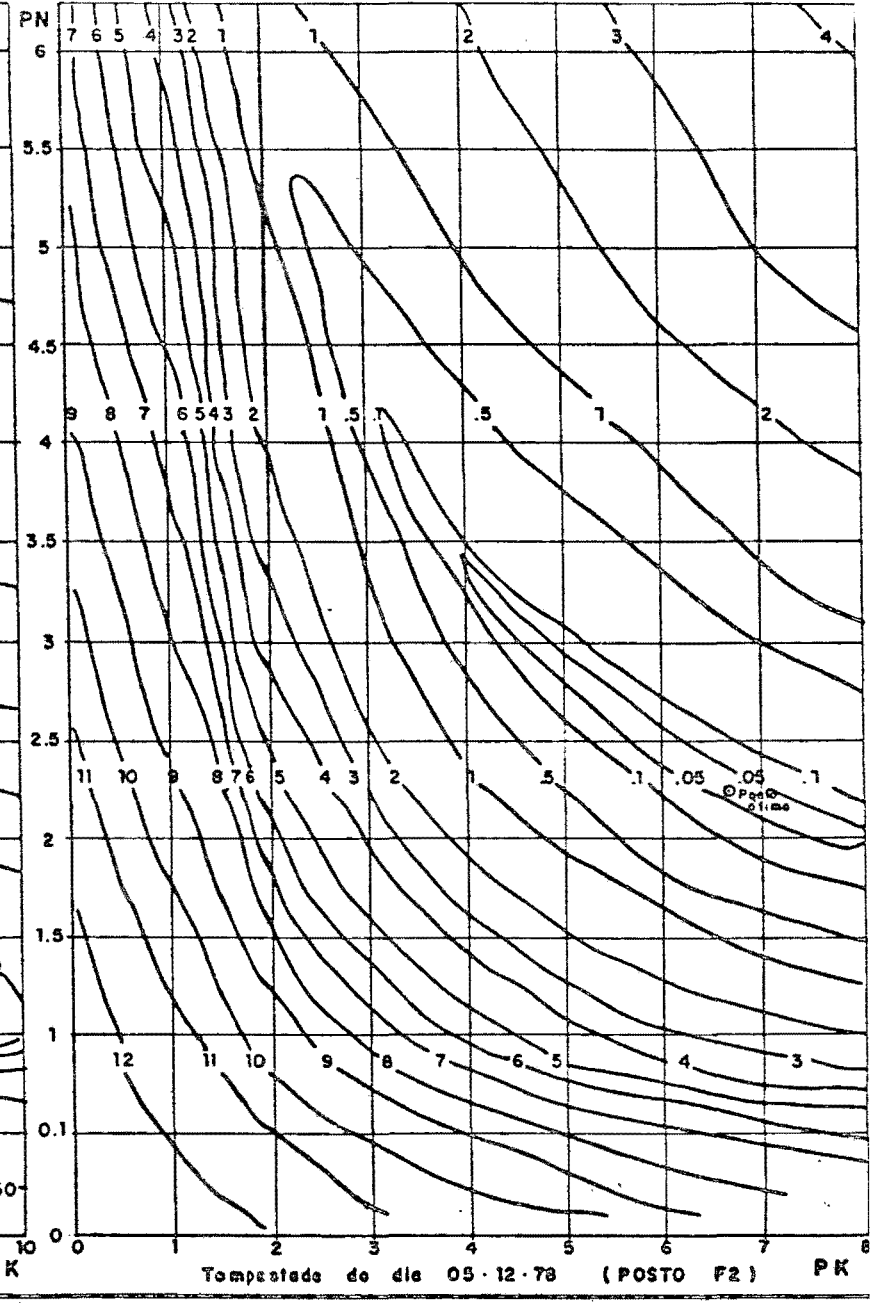


Figura 3i

-se vários valores da função objetiva, para diferentes valores dos parâmetros, cobrindo-se o quadrante de valores positivos para PN e PK. Formada a malha com os valores da função objetiva, foram interpoladas as linhas de iguais valores da mesma (análogo ao traçado de curvas de níveis em topografia).

A característica marcante, apresentada pelos dois hidrogramas analisados, é a nítida dependência dos parâmetros PN e PK. A explicação para essa dependência, pode estar numa das características mais importante de uma dada cheia, que é o tempo de retardo dado pelo produto (PN.PK). A função objetiva, para valores iguais do produto, tende a assumir, também, valores aproximados.

Esse fato determinou o caminho a seguir, na busca de correlações com características físicas das bacias, utilizando-se como uma das variáveis dependentes o produto (PN.PK).

3.8. Sensibilidade dos parâmetros

A sensibilidade dos parâmetros foi estudada para duas cheias observadas.

Utilizou-se para essa análise, um processo comumente usado, cuja descrição pode ser encontrada na Tese de Mestrado do Professor TUCCI (1975).

A sensibilidade dos dois parâmetros, é maior para valores inferiores ao ótimo valor correspondente a cada um deles; o parâmetro PN mostrou-se globalmente, mais sensível que o parâmetro PK; os gráficos são mostrados nas figuras 3L e 3m.

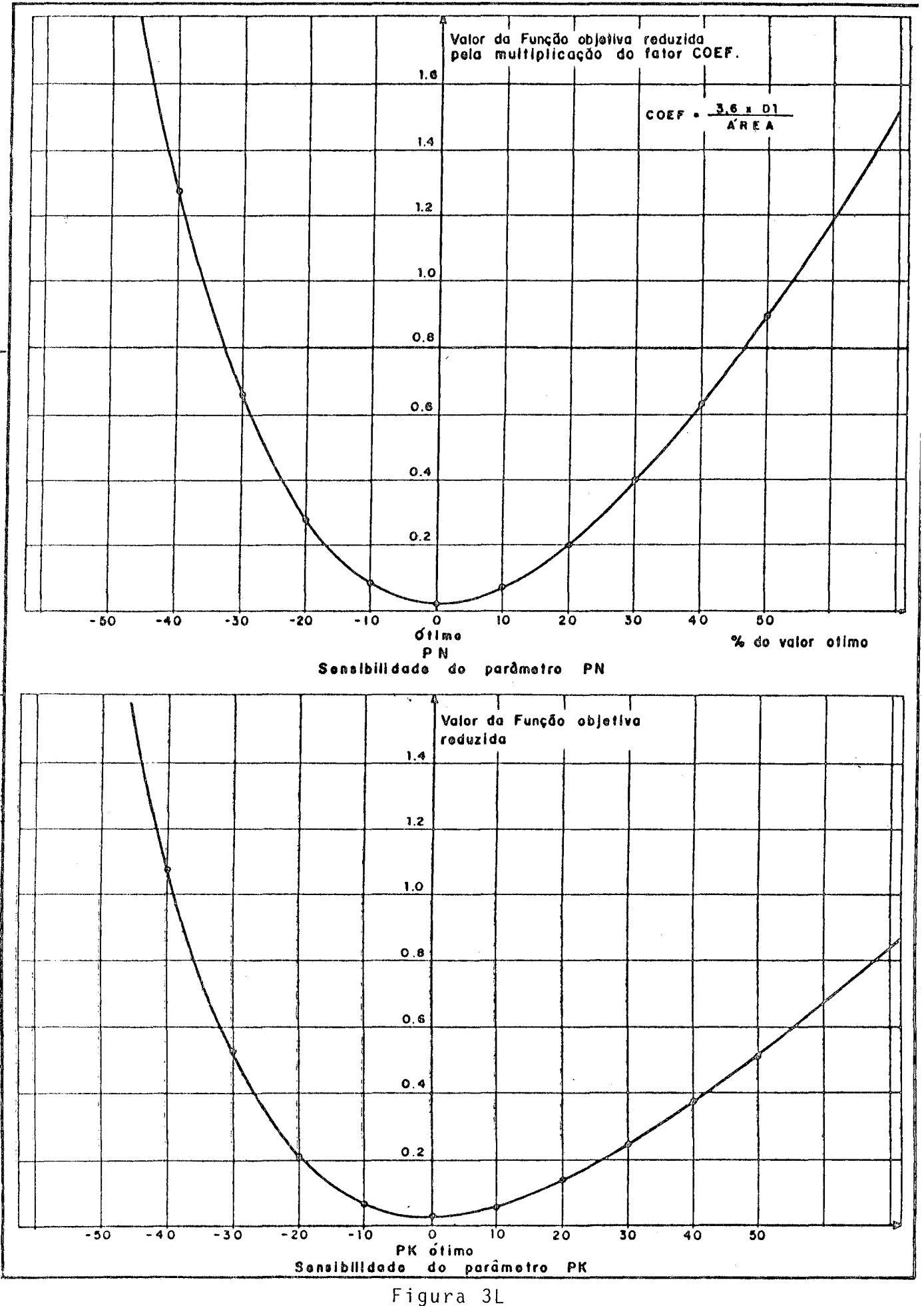
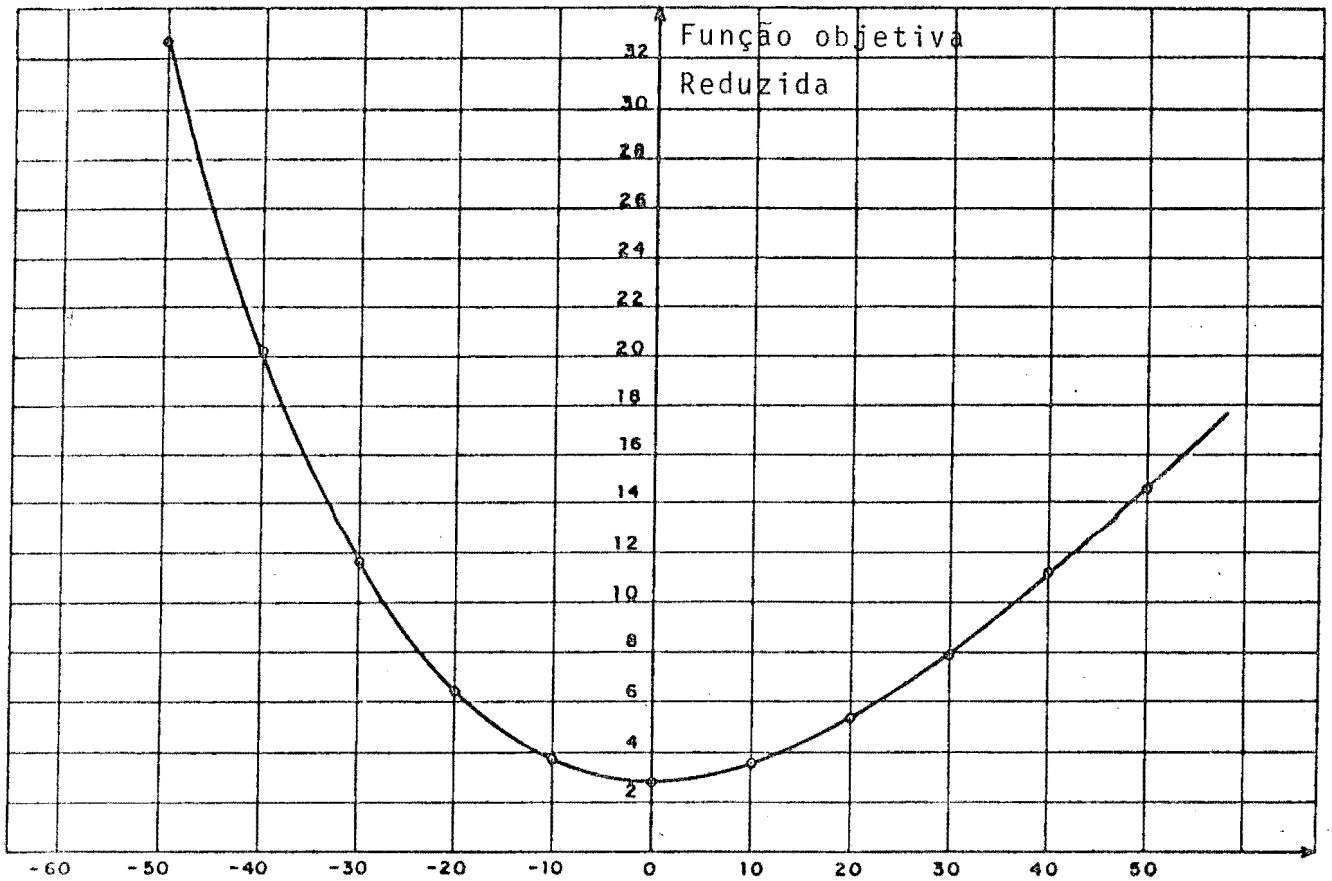
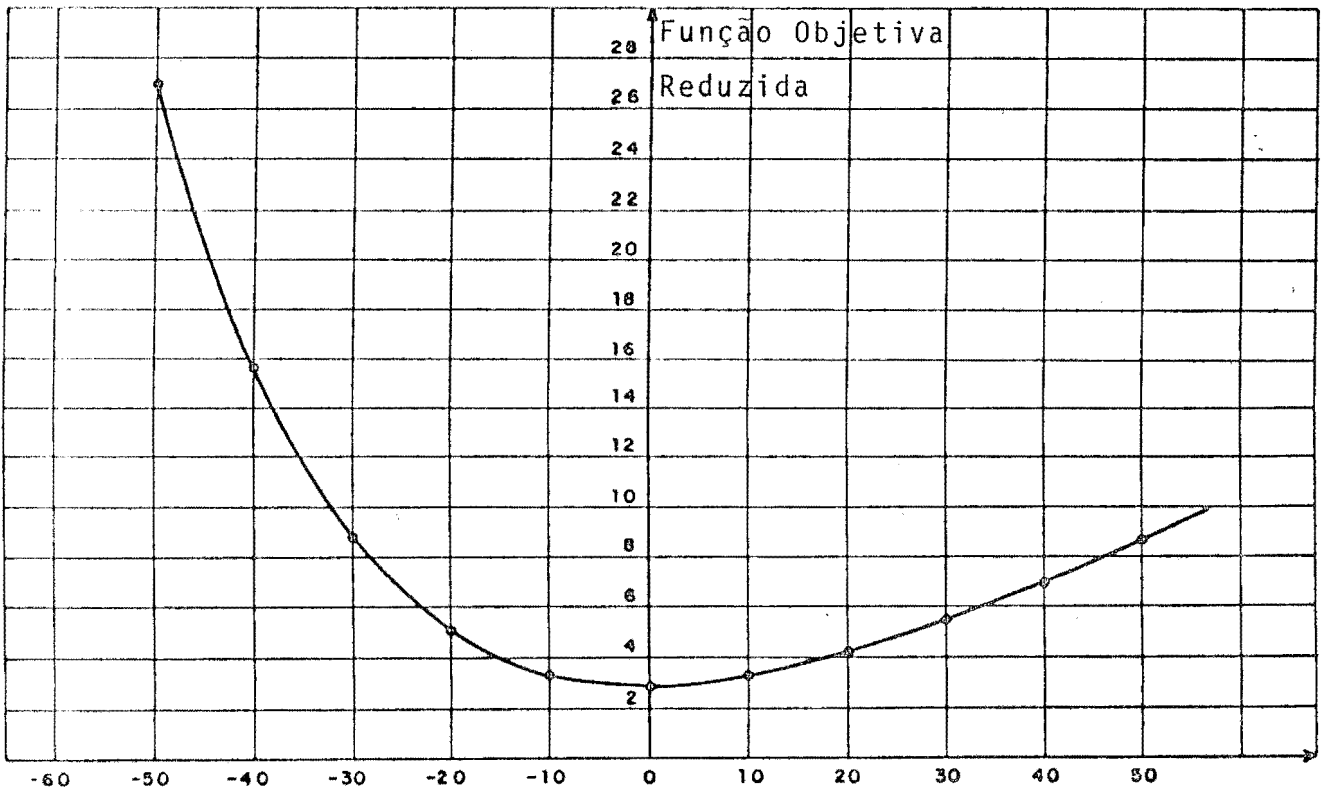


Figura 3L



PN Ótimo

Sensibilidade do Parâmetro PN



PK Ótimo

Sensibilidade do Parâmetro PK

Figura 3m

CAPÍTULO 4 - REGIONALIZAÇÃO

As características físicas já determinadas e os valores médios dos parâmetros do HUI definidos para cada sub-bacia em estudo, são os dados requeridos para o estudo da regionalização.

Para se realizar a síntese de hidrogramas em bacias sem observações e com características semelhantes às estudadas, devem ser obtidas tantas relações independentes quantos forem os parâmetros que descrevem os hidrogramas unitários, relacionando-os às características físicas das bacias que apresentam informações pluvio-hidrométricas.

Essas relações serão buscadas através de análises de Regressão Linear Múltipla.

4.1. Modelo e Método de Pesquisa das regressões

O modelo escolhido baseia-se em alguns resultados de pesquisas realizadas, tais como os dos trabalhos de NASH (1960) e de DOOGE, publicado no livro de CIARINI (1977) que usaram um Modelo Não-Linear, Intrinsecamente Linear, da forma:

$$y = \alpha \cdot X_1^\beta \cdot X_2^\gamma \cdot X_3^\delta \cdot \epsilon$$

onde,

y → é a variável dependente

X_1, X_2, X_3 → são as variáveis independentes

$\alpha, \beta, \gamma, \delta$ → são os parâmetros desconhecidos da equação de regressão a serem determinados

ϵ → erro aleatório multiplicativo

A transformação, para forma linear, é feita com a utilização de logarítmos.

$$\text{Ln}(y) = \text{Ln}(\alpha) + \beta \cdot \text{Ln}(X_1) + \gamma \cdot \text{Ln}(X_2) + \delta \cdot \text{Ln}(X_3) + \text{Ln}(\varepsilon)$$

Esta forma transformada, pode ser trabalhada por processos padronizados de análise de regressão linear múltipla.

Na seleção da melhor equação de regressão usa-se, um método, descrito por DRAPER & SMITH (1966), conhecido como o "Forward Selection Procedure", que consiste em inserir variáveis independentes, uma a uma, na equação de regressão, até que se alcance uma variável que não represente um papel significativo na equação, indicadora do final da análise de regressão.

Os passos necessários ao procedimento completo são:

- 1º) Seleciona-se a variável independente mais correlacionada com a dependente y . Suponha-se X_1 essa variável. Ela será a primeira variável a fazer parte da regressão.
- 2º) Determina-se a equação de regressão entre as variáveis.
 $\hat{y} = f(X_1)$
 -Verifica-se a significância da equação de regressão (Teste F global).
 Não significativa: termina o processo
 Significativa: segue o próximo passo.
- 3º) Calcula-se os coeficientes de correlação parcial das variáveis que restaram do 1º passo, com relação a y , considerando-se que X_1 já pertence à equação de regressão. O mais alto coeficiente de correlação indicará a próxima variável a integrar a equação de regressão. Suponha-se seja X_2 .
- 4º) Determina-se a equação de regressão

$$\hat{y} = f(X_1, X_2)$$

-Verifica-se a significância da equação de regressão (Teste F global).

-Verifica-se a significância da entrada da última variável (X_2) (Teste F parcial).

Não significativa: termina o processo e a equação de regressão é:

$$\hat{y} = f(X_1)$$

Significativa: segue-se ao próximo passo.

59) Calcula-se os coeficientes de correlação parcial, das variáveis que restaram no 3º passo, com a variável dependente, considerando que X_1 e X_2 já estão na regressão. O maior coeficiente define a próxima variável a se considerar. Suponha-se seja X_3 .

60) Determina-se nova equação

$$\hat{y} = f(X_1, X_2, X_3)$$

-Verifica-se a significância da equação

-Verifica-se a significância da entrada da última variável.

Não significativa: termina o processo

$$\hat{y} = f(X_1, X_2)$$

Significativa: segue o próximo passo.

Assim segue, sucessivamente, até alcançar-se uma variável não significativa, ou esgotar-se as variáveis independentes.

4.2. Resultados obtidos

Primeira regressão: variável dependente

PN. PK

a) Modelo adotado na 1ª alternativa

$$PN.PK = c_1.(L)^{c_2}.(CV)^{c_3}$$

onde,

PN → parâmetro do Modelo Nash (adim.)

PK → parâmetro do Modelo Nash (é dado em número de intervalo de 2h)

L → comprimento do curso d'água principal da bacia (km).

CV → cobertura vegetal (%)

 c_1, c_2, c_3 → são os parâmetros a determinar

$$\ln(PN.PK) = \ln(c_1) + c_2.\ln(L) + c_3.\ln(CV)$$

$$\ln(c_1) = 1.0421 \quad \therefore \quad c_1 = 2.835$$

$$c_2 = 0.256$$

$$c_3 = 0.18$$

$$PN.PK = 2.835.(L)^{0.256}.(CV)^{0.18}$$

$$R_{1.38}^2 = 0.997 \rightarrow \text{coeficiente de correlação múltipla.}$$

b) Modelo adotado para uma 2ª alternativa:

$$PN.PK = c_1' . \bar{AREA}^{c_2'}$$

onde,

 \bar{AREA} → área da bacia dada em km²

$c_1' \cdot c_2'$ → são os parâmetros a determinar

$$\ln(c_1') = 1.5124$$

$$c_1' = 4.538$$

$$c_2' = 0.18$$

$$PN \cdot PK = 4.538 \cdot (\text{ÁREA})^{0.18}$$

$$R_{12}^2 = 0.99 \rightarrow \text{coeficiente de correlação}$$

Segunda regressão: para PN como variável dependente

a) Modelo adotado para a 1ª alternativa

$$(1/PN) = c_1 \cdot (DS)^{c_2}$$

onde,

DS → declividade superficial da bacia dada em (m/m).

c_1, c_2 → são os parâmetros

$$\ln(c_1) = 0.259$$

$$c_1 = 1.296$$

$$c_2 = 0.862$$

$$(1/PN) = 1.296 (DS)^{0.862}$$

ou,

$$PN = 0.772 (DS)^{-0.862}$$

$$R_{1,7}^2 = 0.828 \rightarrow \text{coeficiente de correlação}$$

Ao nível de significância adotado nenhuma outra variável independente deveria ser considerada, porém apresenta-se a outra equação de regressão, pois o coeficiente de correlação múltipla sofre uma elevação para 0.87.

b) Modelo adotado para 2ª alternativa:

$$(1/PN) = c_1'(DS)^{c_2'} \cdot (\bar{AREA})^{c_3'}$$

$$\ln(c_1') = 0.431$$

$$c_1' = 1.538$$

$$c_2' = 1.123$$

$$c_3' = 0.03$$

$$PN = 0.65 \cdot (DS)^{-1.123} \cdot (\bar{AREA})^{-0.03}$$

$$R_{1,27}^2 = 0.87 \rightarrow \text{coeficiente de correlação múltipla.}$$

Observação: A apresentação completa dos diversos passos seguidos para a determinação das regressões são apresentadas em anexo.

4.3. Validação da regionalização

Embora os resultados obtidos na determinação das regressões revelem um alto ajuste dos dados ao modelo de regressão escolhido, é interessante verificar, para alguma outra bacia, como o hidrograma unitário determinado através das equações obtidas, se aproxima do hidrograma unitário médio desta bacia. Obviamente isto equivale a comparar hidrogramas observados na bacia, com hidrogramas calculados com

utilização do HUT, determinado a partir das características físicas dessa bacia.

Foi utilizada a bacia do PF5 (Arroio Pinheirinho) com $\bar{A}REA = 56 \text{ km}^2$ e $DS = 0.312 \text{ m/m}$. A determinação desta última característica seguiu o mesmo critério já exposto anteriormente.

As equações de regressão a utilizar são as seguintes:

$$PN.PK = 4.538.(\bar{A}REA)^{0.18}$$

$$PN = 0.77 (DS)^{-0.86}$$

Os parâmetros a serem utilizados para o PF5, determinados a partir dessas equações, são:

$$PN = 2.097$$

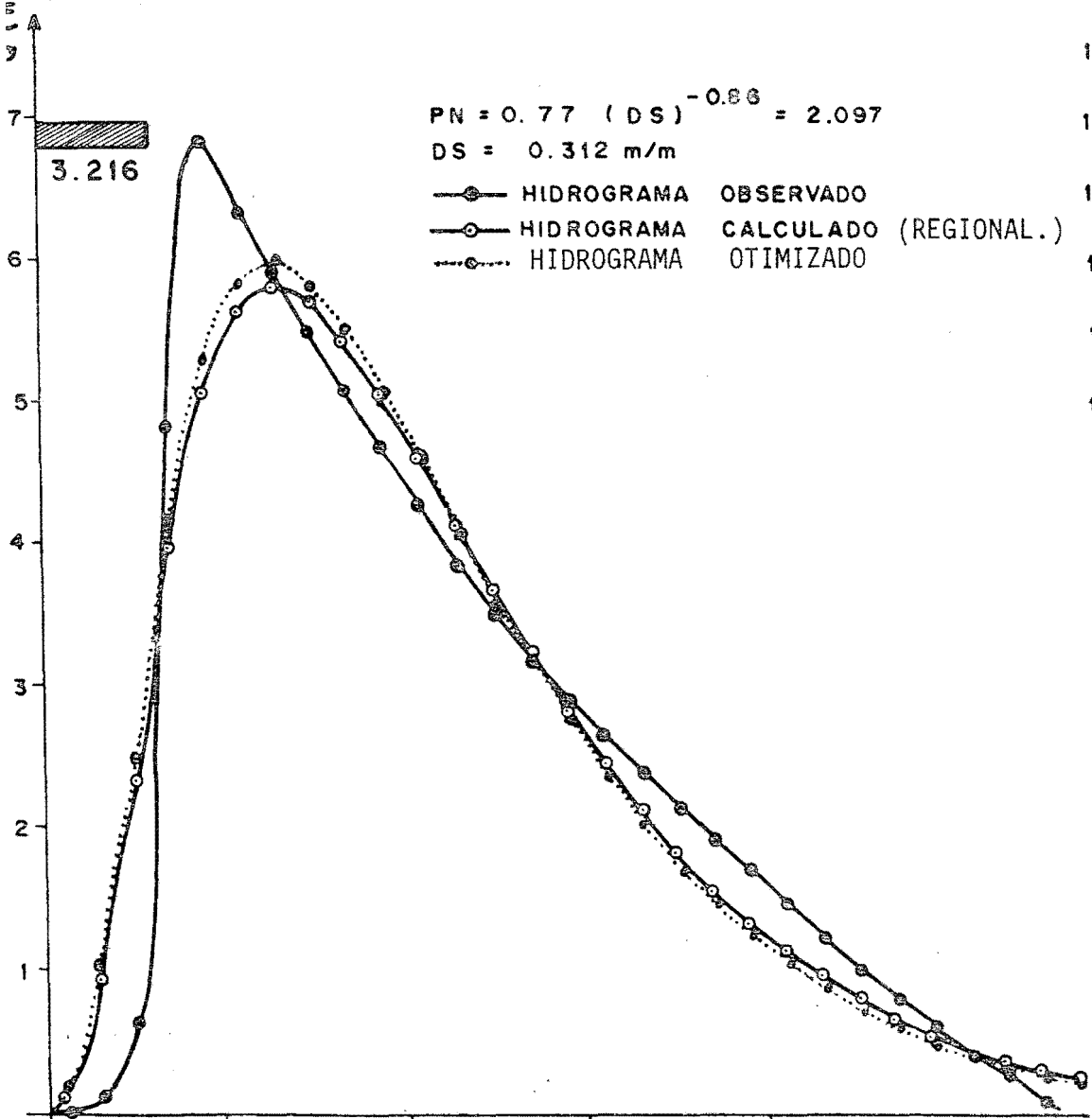
$$PK = 4.466$$

Nas cheias utilizadas, figuras 4a e 4b, os dados de precipitação são registrados por pluviômetros e as descargas por linígrafos. Realizou-se a separação dos escoamentos e determinou-se as precipitações efetivas. Aparecem os hidrogramas calculado e observado nas figuras citadas.

As figuras mostram uma aproximação relativamente grande, havendo discrepâncias maiores apenas nas proximidades da vazão de pico dos hidrogramas. Como termo de comparação destes resultados, inclui-se as figuras 4c e 4d, que são resultantes da aplicação do processo de otimização a hidrogramas observados nos postos PF1 e PF3.

Verifica-se, portanto, que o processo de REGIONALIZAÇÃO pode fornecer uma aproximação, entre os hidrogramas observado e calculado, bastante semelhante aquela ob-

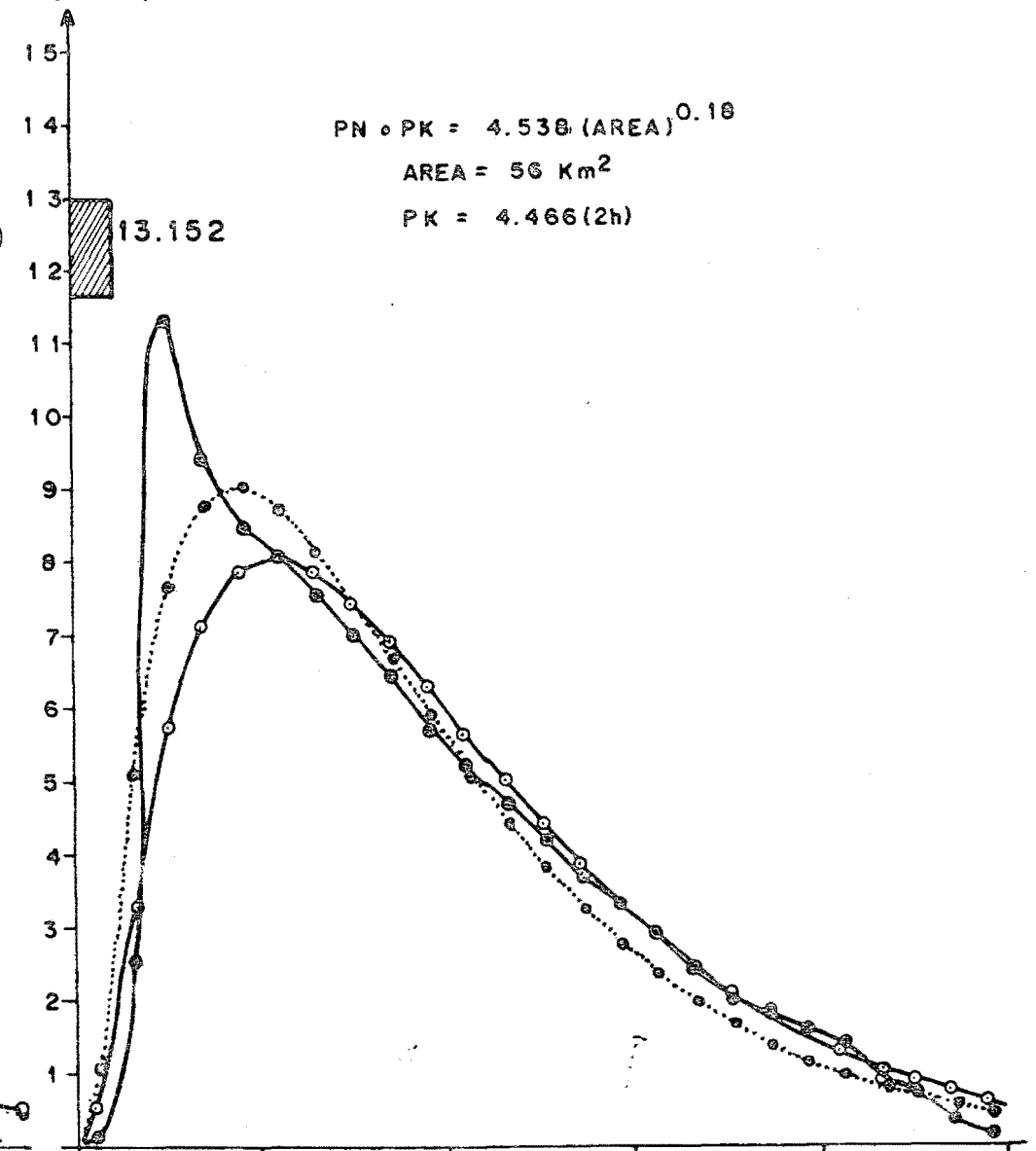
VALIDAÇÃO DA REGIONALIZAÇÃO



03.08.79 04.08.79 05.08 06.08

Figura 4a

VALIDAÇÃO DA REGIONALIZAÇÃO



07.11.79 08.11 09.11

Figura 4b

HIDROGRAMA COMPLEXO OTIMIZADO

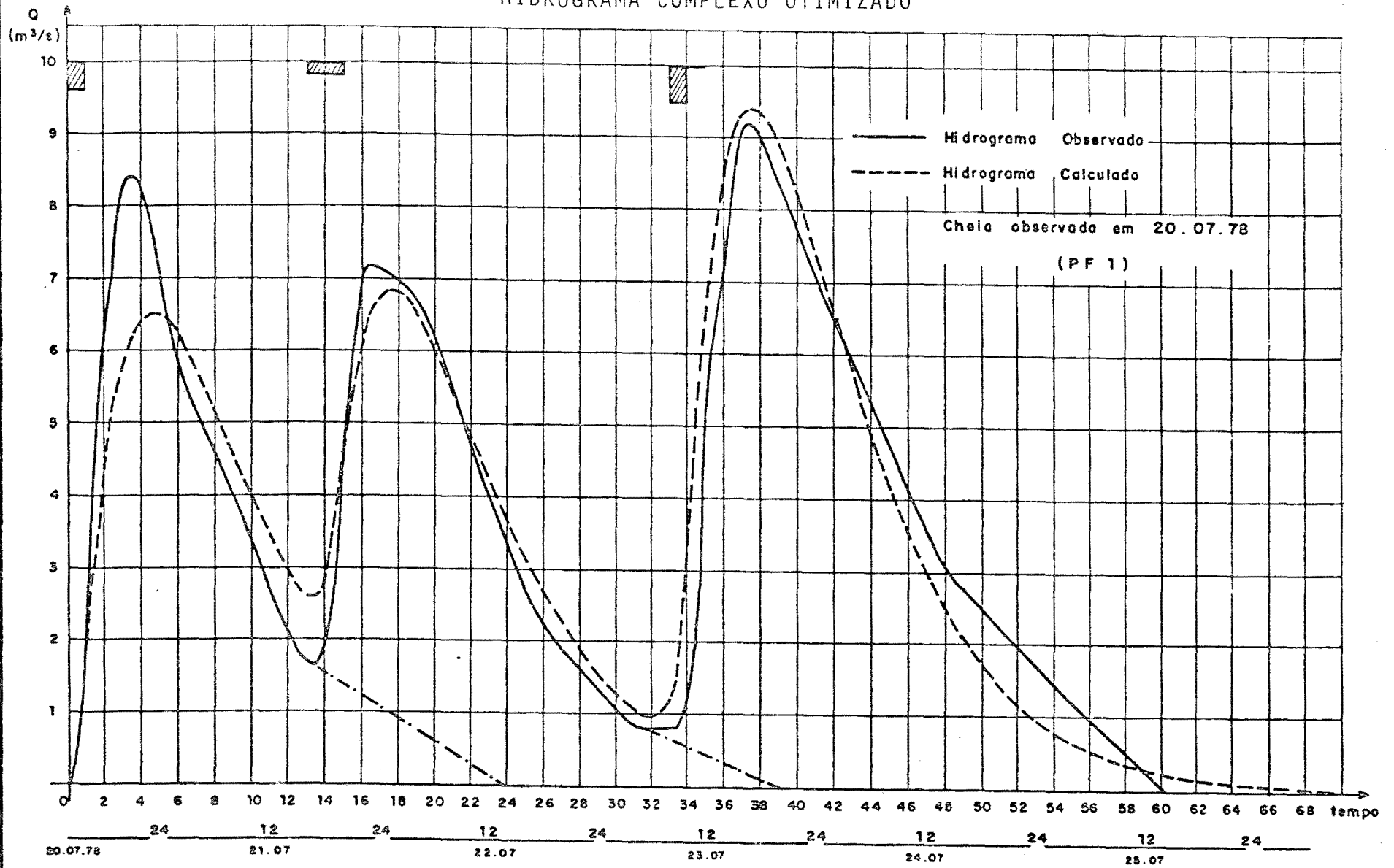


Figura 4c

($\Delta t = \Delta l = 2$ horas)

HIDROGRAMA COMPLEXO OTIMIZADO

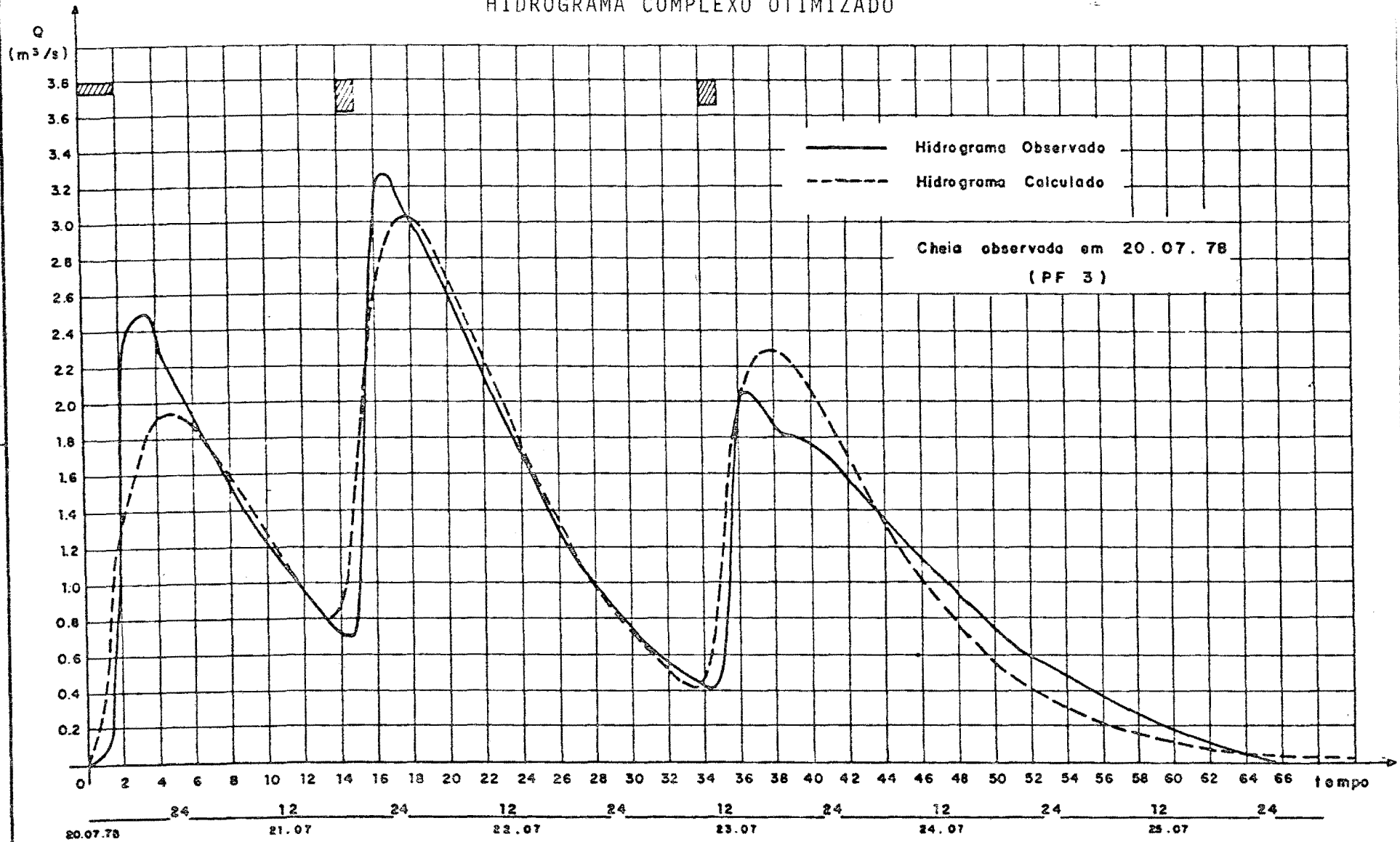


Figura 4d

($\Delta t = \Delta D = 2$ horas)

tida pelo procedimento de OTIMIZAÇÃO.

Posteriormente, determinou-se os parâmetros otimizados das duas cheias usadas para a validação. Os hidrogramas resultantes dessa otimização mostram características diversas; na figura 4a ocorreu, praticamente, concordância completa entre os hidrogramas calculados através da Regionalização e Otimização; na figura 4b nota-se uma diferença maior entre esses dois hidrogramas. Esses resultados reforçam a regionalização e parecem mostrar limitações do modelo, nas condições em que foi estudado.

CONCLUSÕES E RECOMENDAÇÕES

Antes da análise específica dos resultados e conclusões é conveniente fazer-se alguns comentários sobre os dados pluvio-hidrométricos utilizados e o critério de separação dos escoamentos adotado.

A existência de observações colhidas com pluviômetros e escalas linimétricas, reduziria, aparentemente a qualidade dos resultados. Para atenuar essa influência negativa, selecionou-se os eventos provenientes das menores durações de precipitações dentre os conjuntos de dados existentes. Com esse procedimento o erro na duração da chuva fica reduzido. Os hidrogramas, cujas descargas eram dadas por linígrafos e apresentavam falhas corrigíveis (2 ou 3 intervalos sem registros) foram utilizados, pois a carência de cheias em algumas sub-bacias assim requeria.

A arbitrariedade inerente a todos os processos de separação dos escoamentos e das precipitações permite a adoção de métodos simples que conduzam a resultados razoáveis. Com relação ao método escolhido, não se crê numa influência perniciosa sobre os resultados da otimização e regionalização.

Para a obtenção dos valores representativos dos parâmetros para cada sub-bacia, pensou-se inicialmente, na ponderação dos valores obtidos com os diferentes eventos em função do grau de precisão do tipo de equipamento utilizado. No entanto, abandonou-se essa idéia, utilizando-se a média simples, por se terem mostrado insignificantes as diferenças entre os dois critérios.

Embora as limitações encontradas na aplicação da metodologia, podem ser relacionadas algumas conclusões que são umas independentes da qualidade e quantidade

dos dados utilizados, e outras dependentes dos mesmos.

a) Foi estabelecido um algoritmo que otimiza os parâmetros do Hidrograma Unitário Instantâneo com a forma triangular. Este modelo apresenta problemas para uma representação mais acabada de hidrogramas observados. Os resultados dos parâmetros otimizados, vistos isoladamente em cada sub-bacia (Tabela 3L e 3m), mostram uma variação grande no parâmetro TP, enquanto QP apresenta maior aproximação nos diversos eventos analisados. No entanto, nada impede a sua utilização na obtenção dos Hidrogramas Unitários médios para as bacias hidrográficas, numa forma apenas aproximada.

b) Outro algoritmo foi estudado, utilizando a forma da distribuição gama para o Hidrograma Unitário Instantâneo. A variação dos valores dos parâmetros é bem menor que no caso anterior. Ocorre uma evolução muito grande com este modelo, se comparado ao outro, no que se refere a performance na representação de hidrogramas observados. A possibilidade de se aperfeiçoar este modelo é, também, bem maior. Esta parte do trabalho representa um dos principais objetivos alcançados.

c) Nos dois procedimentos referidos acima, o Método de Newton-Raphson foi utilizado para obtenção dos parâmetros otimizados. A sua utilização está diretamente ligada à conformação da função objetiva. As figuras 3i e 3j mostram características favoráveis à aplicação de um método simples como o escolhido. No entanto, o aspecto mais importante na sua aplicação é a convergência rápida da otimização. Na maioria dos casos entre 5 a 10 iterações conseguiu-se o resultado final.

d) A identificação do operador pluvio-hidrométrico, em qualquer dos dois procedimentos, não exige hidrogramas com picos isolados, o que representa uma considerável evolução com relação aos primeiros trabalhos propostos sobre Hidrograma Unitário. As figuras 4c e 4d são exemplos da uti-

lização de hidrogramas complexos na aplicação da metodologia.

e) O desconhecimento da duração das precipitações originárias de pluviômetros determinou prejuízos na consistência dos dados de entrada para otimização, pois tornou-se necessário adotar um critério para definir essa duração, enquanto as precipitações registradas por pluviógrafos têm a duração definida pelo índice ϕ .

f) Os estudos de dependência dos parâmetros com relação às durações da chuva tem interesse na definição das faixas de durações que são incoerentes aos hidrogramas observados. Nas figuras 3d, 3e e 3f as durações das precipitações mais concordantes aos hidrogramas observados são definidas nos gráficos duração x valor da função objetiva. No entanto, deve ser acentuado que os resultados dessa análise estão diretamente ligados ao modelo que está sendo utilizado.

g) O comportamento da função objetiva mostra a existência de ponto mínimo único para valores positivos dos parâmetros, além de uma conformação regular, semelhante nos casos apresentados. A dependência entre os parâmetros PN e PK está, claramente, evidenciada nas figuras 3i e 3j. Essas características constituem-se em peculiaridades do Modelo Nash.

h) A sensibilidade dos dois parâmetros PN e PK, é acentuada. (Figuras 3l e 3m). O parâmetro PK, globalmente menos sensível do que PN, apresenta uma variação percentual da função objetiva em relação ao ponto ótimo em torno de 300% para acréscimos positivos de 50% no parâmetro em relação ao ótimo, isto na região menos sensível do parâmetro, numa das cheias analisadas.

i) Na parte da regionalização, encontrou-se duas alternativas de iguais desempenhos, nas regressões esta

belecidas. Assim, PN.PK, primeira variável dependente estudada, tem uma correlação muito forte com o comprimento do curso d'água principal da bacia junto com a cobertura vegetal, numa regressão, e, isoladamente, com a área na segunda regressão. A segunda variável dependente PN, mostrou-se, na primeira regressão, fortemente relacionada com a medida de declividade superficial adotada. Não existe, neste caso, o estudo de uma segunda regressão, mostrando-se apenas que a próxima variável mais correlacionada a PN é a área da bacia hidrográfica. Esses resultados obtidos devem ser encarados como uma tendência de regionalização passível de confirmação em estudos mais amplos. O agrupamento das variáveis dependentes para o estudo de Regionalização como PN.PK e PN, está ligado à dependência existente entre as duas variáveis PN e PK, indicando não ser o caminho mais fácil buscar-se correlações isoladas de PN e PK.

j) Os altos coeficientes de correlação múltipla obtidos, podem ser atribuídos ao reduzido conjunto de dados utilizados na pesquisa das regressões.

L) A validação da regionalização, mesmo que aplicada apenas a uma bacia, apresenta alguns aspectos interessantes. As cheias analisadas apresentam aproximações diferentes entre os hidrogramas calculados e observados. Na cheia de 03/08/79 (Figura 4a) ocorre uma diferença de 15% nas vazões de picos dos hidrogramas observados e hidrograma calculado; na outra cheia (Figura 4b) a diferença sobe para 30%. As fontes desses erros podem estar na regionalização, no modelo utilizado e nos dados utilizados. A qualidade da regionalização ficou comprovada ao se obter os hidrogramas otimizados para as cheias e compará-los aos resultados da regionalização. As limitações do modelo e a influência dos dados utilizados não podem ser separados em seus efeitos isolados. No entanto, esses aspectos contribuem para as discrepâncias, notadamente a utilização de durações e distribuições uniformes das precipitações. As figuras 4c e 4d, resultantes de otimização, mostram alguns problemas na

representação das vazões nas proximidades do pico, da mesma forma como ocorre em 4a e 4b.

m) Os resultados obtidos, tanto no procedimento de otimização como de regionalização, fazem prever sucessos possíveis em estudos dessa natureza, quando o conjunto de informações for mais completo e extenso.

n) A aplicação deste trabalho está no apoio a projetos e previsão de cheias nas bacias hidrográficas. Já o uso para simulação global de escoamento, deve ser acompanhado de modelo de escoamento subterrâneo, algoritmos de infiltração e evaporação entre outros.

Como recomendações a uma possível extensão do trabalho desenvolvido, ou ao desenvolvimento de estudos relacionados, apoiando-se na experiência adquirida e nas dificuldades encontradas, podem ser sugeridas as seguintes:

- Num estudo mais amplo, surgirá a necessidade de aprimorar o algoritmo de otimização do Modelo Nash. Isto pode ser realizado, incluindo no programa uma sub-rotina para analisar a função objetiva e estabelecer um ponto de partida convergente para as iterações.

- Os estudos mais elaborados sobre a separação dos escoamentos, assim como a determinação da chuva efetiva, apoiados em informações sobre infiltração e análises detalhadas dos ramos de recessão dos hidrogramas, determinarão, seguramente, maior confiabilidade nos resultados.

- Deve ser encontrada uma forma de incluir, no estudo de regionalização, características geológicas e informações completas sobre as coberturas vegetais das bacias hidrográficas.

- A regionalização estabelecida deve ser aperfeiçoada à medida que se tornarem disponíveis outras bacias

com dados pluvio-hidrométricos na região e complementados os dados para as bacias estudadas. As regressões obtidas, agora encaradas como uma tendência, possivelmente serão confirmadas, não na exatidão dos resultados numéricos, e sim nos aspectos qualitativos de dependência existente entre características físicas das bacias hidrográficas e formas dos hidrogramas nelas gerados.

BIBLIOGRAFIA

1. ABRAMOWITZ, Milton & STEGUN, Irene A. 1972. *Handbook of mathematical functions with formulas, graphs, and mathematical tables*. New York, Dover. 1046p.
2. AU, Tung & STELSON, Thomas E. 1969. *Introduction to systems engineering, deterministic models* Reading, Addison-Wesley. 334p.
3. BARNES, B.S. 1952. *Unitgraph procedures*. Denver, Bureau of Reclamation. 48p.
4. BETSON, Roger P. & GREEN, Ralph F. 1968. *Analytically derived unit graph and runoff*. Journal of the Hydraulics Division, New York, 94(6): 1489-505, Nov.
5. BORDAS, Marc P., coord. 1978. *Pesquisas aplicadas sobre uso e conservação dos recursos hídricos do Rio Grande do Sul; relatório final*. Porto Alegre, Instituto de Pesquisas Hidráulicas da UFRGS. 6v.
6. BURROUGHS CORPORATION. 1974. *Fortran reference manual: B6700/7700; relative to mark II. 6 release*. s.l. n.p.
7. CHOW, Ven Te, ed. 1964. *Handbook of applied hydrology*. New York, McGraw-Hill. n.p.
8. CHOW, Ven Te & KULANDAISWAMY, V.C. 1971. *General hydrologic system model*. Journal of the Hydraulics Division, New York, 97(6): 791-804, June.
9. CIRIANI, Tito A.; MAIONE, Ugo; WALLIS, James R., ed. 1977. *Mathematical models for surface hydrology*. London, John Wiley. 423p.

10. CLARK, C. O. 1945. *Storage and unit hydrograph*. Transactions. American Society of Civil Engineers, New York, 110: 1419-46.
11. CONTE, S.D. 1975. *Elementos de análise numérica*. Porto Alegre, Globo. 331p.
12. DING, J. Y. 1974. *Variable unit hydrograph*. Journal of Hydrology, Amsterdam, 22(1/2): 53-69.
13. DISKIN, M.H. 1979. *Some dimensional considerations in the unit hydrograph theory*. Journal of Hydrology, Amsterdam, 42(3/4): 199-208, July.
14. DOOGE, James C.I. 1959. *A general theory of unit hydrograph*. Journal of Geophysical Research, Washington, 64(2): 241-56, Feb.
15. DOOGE, James C.I. 1973. *Linear theory of hydrologic systems*. Washington, U.S. Department of Agriculture. 327p.
16. DRAPER, N.R. & SMITH, H. 1966. *Applied regression analysis*. New York, John Wiley. 407p.
17. EZEKIEL, Mordecai & FOX, Karl A. 1967. *Methods of correlation and regression analysis; linear and curvilinear*. 3.ed. New York, John Wiley. 548p.
18. GETTY, Hugh C. & MCHUGHS, James H. 1962. *Synthetic, peak discharge for design criteria*. Journal of the Hydraulics Division. New York, 88(5): 1-12, Sept.
19. GORDON, Geoffrey. 1969. *System simulation*. Englewood Cliffs, Prentice-Hall. 303p.
20. GUPTA, Vulli L. & MOIN, Syed A. 1974. *Surface runoff hydrograph equation*, Journal of the Hydraulics Division, N.Y., 100(10).

21. HOFFMEISTER, G. & WEISMAN, R.N. 1977. Accuracy of synthetic hydrographs derived from representative basins. Hydrological Sciences Bulletin, Reading, 22(2): 297-312, June.
22. IBM/1130; scientific subroutine package. Paris, IBM, s. d. 156p.
23. KAPLAN, Wilfred. 1971. *Cálculo avançado*. São Paulo, Edgard Blücher. 2v.
24. LINSLEY, Ray K., Jr.; KOHLER, M.A.; PAULHUS, Joseph L. H. 1958. *Hydrology for engineers*. New York, McGraw-Hill. 340p.
25. MCCRACKEN, Daniel D. 1972. *A guide to Fortran IV programming*. 2.ed. New York, John Wiley. 288p.
26. MORGAN, Paul E. & JOHNSON, Stanley M. 1962. Analysis of synthetic unit - graph methods. Journal of the Hydraulics Division. New York, 88(5): 199-220, Sept.
27. MUNOZ ESPINOSA, Héctor Raúl. 1972. *Aproximación a un modelo determinístico de simulación pluvio-hidrológica*. Porto Alegre, Instituto de Pesquisas Hidráulicas da UFRGS. m.p. Diss. (mestr. hidrol. apl.)U.F. R.G.S. Curso Pós-Grad. Hidrol. Apl., Porto Alegre, BR RS, 1972.
28. NASH, J.E. 1959. Systematic determination of unit hydrograph parameters. Journal of Geophysical Research, Washington, 64(1): 111-5, Jan.
29. _____. 1960. A note on a investigation into two aspects of relation between rainfall and storm runoff. In: IASH GENERAL ASSEMBLY OF HELSINKI, 1960. Surface waters. Gentbrugge. p.567.78.

30. _____. 1960. A unit hydrograph study, with particular reference to British catchments. Proceedings. Institution of Civil Engineers, London, 17: 249-82, Nov.
31. NASH, J.E & SUTCLIFFE, J.V. 1970. River flow forecasting through conceptual models; part I- a discussion of principles. Journal of Hydrology, Amsterdam, 10: 282-90.
32. PACITTI, Tercio. 1972. Fortran - monitor; princípios. Rio de Janeiro, Ao Livro Técnico. 347p.
33. PICKUP, G. 1977. Testing the efficiency of algorithms and strategies for automatic calibration of rainfall-runoff models. Hydrological Sciences Bulletin, Reading, 22(2): 257-74, June.
34. PINTO, Nelson L.de Souza; HOLTZ, Antonio Carlos Tatit; MARTINS, José Augusto; GOMIDE, Francisco Luiz Sibut. 1976. Hidrologia básica. São Paulo, Edgar Blücher. 278p.
35. REED, D.W.; JOHNSON, P.; FIRTH, J.M. 1975. A non-linear rainfall-runoff model, providing for variable lag time. Journal of Hydrology, Amsterdam, 25:295-305.
36. SCARBOROUGH, J.B. 1962. Numerical Mathematical analysis. Baltimore, Johns Hopkins.
37. TAYLOR, Arnold B. & SCHWARZ, Harry E. 1972. Unit hydrograph lag and peak flow related to basin characteristics. Transactions AGU, 33(2): 235-46, Apr.
38. TUCCI, Carlos Eduardo Morelli. 1975. Otimização dos parâmetros de modelos hidrológicos. Porto Alegre, Instituto de Pesquisas Hidráulicas da UFRGS. 140 f. Diss. (mestr. hidrol. apl.) UFRGS - Curso Pós-Grad. Apl., Porto Alegre, BR-RS, 1975.

A N E X O I

MÉTODO DA QUADRATURA DE GAUSS

MÉTODO DA QUADRATURA DE GAUSS

Utiliza-se a descrição do Método de Gauss, que aparece de forma complementar, nos livros de Análise Numérica de CONTE (1975) e SCARBOROUGH (1962).

Se uma integral definida $\int_a^b f(x)dx$ deve ser calculada através de um determinado número de valores para $f(x)$, num intervalo, o método de Gauss define os pontos onde $f(x)$ deve ser calculada para alcançar o melhor resultado possível.

Embora a posição desses pontos dentro do intervalo não necessita um espaçamento igual, é necessário uma distribuição simétrica com relação ao ponto médio do intervalo:

Seja $I = \int_a^b ydx$, a integral procurada, onde $y = f(x)$. Fazendo mudança de variáveis, pela transformação.

$$x = \frac{(b-a)}{2}u + \frac{1}{2}(a+b); \quad dx = \left(\frac{b-a}{2}\right) du$$

$$y = f(x) = f\left[\frac{(b-a)}{2}u + \frac{a+b}{2}\right] = \phi(u)$$

então,

$$I = \left(\frac{b-a}{2}\right) \int_{-1}^{+1} \phi(u) du$$

A fórmula de Gauss é dada por

$$I_1 = \int_{-1}^{+1} \phi(u) du = K_1 \phi(u_1) + K_2 \phi(u_2) + \dots + K_n \phi(u_n)$$

onde,

$I_1 \rightarrow$ uma integral simples qualquer

$K_1, K_2, \dots, K_n \rightarrow$ fatores de ponderação
 $u_1, u_2, \dots, u_n \rightarrow$ são os pontos da subdivisão no intervalo (+1, -1).

Os valores correspondentes de "x" são:

$$x_1 = \frac{(b-a)}{2} u_1 + \frac{a+b}{2}, \quad x_2 = \frac{(b-a)}{2} u_2 + \frac{a+b}{2}, \quad \dots \text{ etc.}$$

A integral

$$I = \int_a^b f(x) dx = \frac{(b-a)}{2} [K_1 \phi(u_1) + K_2 \phi(u_2) + \dots + K_n \phi(u_n)]$$

que é semelhante a

$$I = \int_a^b f(x) dx = \frac{(b-a)}{2} [K_1 f(x_1) + K_2 f(x_2) + \dots + K_n f(x_n)]$$

desde que a cada valor de x seja dado por

$$x = \frac{b-a}{2} \cdot u + \frac{a+b}{2}$$

Não se aprofunda este estudo, para mostrar como são obtidos os valores das abscissas u_1, u_2, \dots, u_n , e os correspondentes fatores de ponderação K_1, K_2, \dots, K_n , pois nos livros sobre análise numérica citados, o desenvolvimento sobre esta parte, encontra-se bem detalhado.

Apenas refere-se, que neste trabalho, as tabelas utilizadas para a retirada desses elementos são do livro de ABRAMOWITZ (1970). Nessas tabelas a integral é

$$\int_{-1}^{+1} f(x) dx = \sum_{i=1}^{np} K_i f(x_i)$$

onde são tabelados os K_i (fatores de ponderação) e as abscissas x_i , dependendo do número de pontos requeridos para o cálculo da integral.

A N E X O I I

ANÁLISE DE REGRESSÃO
(REGIONALIZAÇÃO)

ANÁLISE DE REGRESSÃO

Como foi descrito na parte de Regionalização no Capítulo 4, têm-se os elementos necessários para o estabelecimento das regressões, compostos dos parâmetros otimizados e das características das bacias.

Aqui, procura-se mostrar em detalhe como foi realizado esse estudo, sendo o modelo adotado da forma:

$$y = \alpha \cdot X_1^\beta \cdot X_2^\delta \cdot X_3^\gamma \cdot \epsilon$$

- As variáveis dependentes, utilizando os logaritmos, são:

$$X_1^* = \text{Ln}(\text{PN} \cdot \text{PK}) \quad (1^\circ \text{ momento do HUI})$$

e,

$$X_1 = \text{Ln}(1/\text{PN}) \quad (2^\circ \text{ momento do HUI})$$

- As características físicas das sub-bacias, representadas pelos logaritmos, são:

$$X_2 = \text{Ln}(\bar{\text{ÁREA}})$$

onde,

$\bar{\text{ÁREA}} \rightarrow$ é a área da bacia dada em km^2 .

$$X_3 = \text{Ln}(L)$$

onde,

$L \rightarrow$ é o comprimento do curso principal de água dado em km.

$$X_4 = \text{Ln}(\text{CF})$$

onde,

$\text{CF} \rightarrow$ é o coeficiente de forma (dimensional) definido pela relação $\bar{\text{ÁREA}}/L^2$.

$$X_5 = \text{Ln} (DD)$$

onde,

DD → densidade de drenagem, definida pela relação $\Sigma L_i / \text{ÁREA}$. (L_i → comprimento de cada rio da bacia).

$$X_6 = \text{Ln} (DT)$$

onde,

DT → declividade do talvegue do curso principal em (%).

$$X_7 = \text{Ln} (DS)$$

onde,

DS → declividade superficial da bacia, dada em m/m).

$$X_8 = \text{Ln} (CV)$$

onde,

CV → cobertura vegetal da bacia dada em (%).

Os valores dessas variáveis, para cada sub-bacia (são 6 sub-bacias), acham-se reunidos na Tabela A₁.

A amostra usada tem um tamanho pequeno, que permite o estabelecimento das regressões sem utilização do computador.

Na determinação e solução das equações de regressão utiliza-se um esquema de cálculo, semelhante aquele proposto por EZEKIEL & FOX (1967), que utiliza na solução das equações o Método Doolittle.

Todos os valores necessários, considerando-se as nove variáveis, X_1^* e X_1 dependentes, e $X_2, X_3, X_4, X_5, X_6, X_7, X_8$, independentes, à determinação das equações de regressão, foram obtidos e aparecem nas Tabelas A₂, A₃, A₄.

Para a montagem do sistema de equações, que

VARIÁVEIS INDEPENDENTES

Obs:	Área km ²	x ₂ Ln(Área)
1	71.5	4.2697
2	413.8	6.0254
3	25.3	3.2308
4	308.0	5.7301
5	236.8	5.4672
6	117.0	4.7622

Obs:	L km	x ₃ Ln (L)
1	19.0	2.9444
2	53.1	3.9722
3	10.5	2.3514
4	44.1	3.7865
5	33.9	3.5234
6	16.4	2.7973

Obs:	CF	x ₄ Ln (CF)
1	0.19	-1.6607
2	0.15	-1.8971
3	0.23	-1.4697
4	0.16	-1.8326
5	0.22	-1.5141
6	0.49	-0.7134

Obs	DD	x ₅ Ln (DD)
1	0.574	-0.5551
2	0.494	-0.7052
3	0.405	-0.9039
4	0.447	-0.8052
5	0.452	-0.7941
6	0.464	-0.7679

Obs:	DT %	x ₆ Ln (DT)
1	0.0170	-4.0745
2	0.0102	-4.5854
3	0.0367	-3.3050
4	0.0121	-4.4145
5	0.0140	-4.2687
6	0.0200	-3.9120

Obs	DS m/m	x ₇ Ln (DS)
1	0.294	-1.2242
2	0.282	-1.2659
3	0.358	-1.0272
4	0.290	-1.2379
5	0.289	-1.2413
6	0.276	-1.2874

Obs:	CV %	x ₈ Ln (CV)
1	12.5	2.5257
2	18.9	2.9392
3	14.0	2.6391
4	21.3	3.0587
5	22.4	3.1091
6	25.7	3.2465

VARIÁVEIS DEPENDENTES

Correspondências:

- Observ.1 - PF1
- Observ.2 - PF2
- Observ.3 - PF3

Obs	1/PN	x ₁ Ln(1/PN)
1	0.4446	-0.8106
2	0.4472	-0.8047
3	0.5325	-0.6302
4	0.4331	-0.8368
5	0.4719	-0.7510
6	0.4119	-0.8870

Obs:	PN.PK 2h	x ₁ [*] Ln(PN.PK)
1	9.549	2.2564
2	13.488	2.6018
3	8.263	2.1118
4	12.669	2.5388
5	12.254	2.5059
6	10.474	2.3489

Correspondência:

- Observ.4 - PF4
- Observ.5 - PF6
- Observ.6 - PF8

Tabela A₁

ELEMENTOS AUXILIARES PARA REGRESSÃO MÚLTIPLA

Observ.:	X ₂	X ₃	X ₄	X ₅	X ₆	X ₇	X ₈	X ₁	(X ₂) ²	X ₂ .X ₃	X ₂ .X ₄	X ₂ .X ₅
1	4.2697	2.9444	-1.6607	-0.5551	-4.0745	-1.2242	2.5257	-0.8106	18.2303	12.5717	- 7.0907	-2.3701
2	6.0254	3.9722	-1.8971	-0.7052	-4.5854	-1.2659	2.9392	-0.8047	36.3054	23.9341	-11.4308	-4.2491
3	3.2308	2.3514	-1.4697	-0.9039	-3.3050	-1.0272	2.6391	-0.6302	10.4381	7.5969	- 4.7483	-2.9203
4	5.7301	3.7865	-1.8326	-0.8052	-4.4145	-1.2379	3.0587	-0.8368	32.8340	21.6970	-10.5010	-4.6139
5	5.4672	3.5234	-1.5141	-0.7941	-4.2687	-1.2413	3.1091	-0.7510	29.8903	19.2631	- 8.2779	-4.3415
6	4.7622	2.7973	-0.7134	-0.7679	-3.9120	-1.2874	3.2465	-0.8870	22.6785	13.3213	- 3.3974	-3.6569
Soma:	29.4854	19.3752	-9.0876	-4.5314	-24.5601	-7.2839	17.5183	-4.7203	150.3766	98.3841	-45.4461	-22.1518
Média: M _i	4.9142	3.2292	-1.5146	-0.7552	- 4.0934	-1.2140	2.9197	-0.7867	-	-	-	-
n.M _i .M _j	-	-	-	-	-	-	-	-	144.8962	95.2136	-44.6583	-22.2672
Σ x _i .x _j	-	-	-	-	-	-	-	-	5.4804	3.1705	- 0.7878	+ 0.1154

$$\Sigma x_i x_j = \Sigma X_i X_j - n \cdot M_i M_j$$

Observ.:	X ₂ .X ₆	X ₂ .X ₇	X ₂ .X ₈	X ₁ .X ₂	(X ₃) ²	X ₃ .X ₄	X ₃ .X ₅	X ₃ .X ₆	X ₃ .X ₇	X ₃ .X ₈	X ₁ .X ₃	(X ₄) ²
1	-17.3969	-5.2270	10.7840	-3.4610	8.6695	-4.8898	-1.6344	-11.9970	-3.6045	7.4367	-2.3867	2.7579
2	-27.6289	-7.6276	17.7099	-4.8486	15.7784	-7.5357	-2.8012	-18.2141	-5.0284	11.6751	-3.1964	3.5990
3	-10.6778	-3.3187	8.5264	-2.0361	5.5291	-3.4559	-2.1254	- 7.7714	-2.4154	6.2056	-1.4819	2.1600
4	-25.2955	-7.0933	17.5267	-4.7949	14.3376	-6.9391	-3.0489	-16.7155	-4.6873	11.5818	-3.1685	3.3584
5	-23.3378	-6.7864	16.9981	-4.1059	12.4143	-5.3348	-2.7979	-15.0403	-4.3736	10.9546	-2.6461	2.2925
6	-18.6297	-6.1309	15.4605	-4.2241	7.8249	-1.9956	-2.1480	-10.9430	-3.6012	9.0814	-2.4812	0.5089
Soma:	-122.9666	-36.1839	87.0056	-23.4706	64.5538	-30.1509	-14.5558	-80.6813	-23.7104	56.9352	-15.3608	14.6767
Média: M _i	-	-	-	-	-	-	-	-	-	-	-	-
n.M _i .M _j	-120.6947	-35.7950	86.0879	-23.1960	62.5664	-29.3457	-14.6322	-79.3104	-23.5215	56.5698	-15.2425	13.7641
Σ x _i .x _j	-2.2719	- 0.3889	0.9177	- 0.2746	1.9874	- 0.8052	0.0764	- 1.3709	- 0.1889	0.3654	- 0.1183	0.9126

Tabela A2

ELEMENTOS AUXILIARES PARA REGRESSÃO MÚLTIPLA

Observ.:	$X_4 \cdot X_5$	$X_4 \cdot X_6$	$X_4 \cdot X_7$	$X_4 \cdot X_8$	$X_1 \cdot X_4$	$(X_5)^2$	$X_5 \cdot X_6$	$X_5 \cdot X_7$	$X_5 \cdot X_8$	$X_1 \cdot X_5$	$(X_6)^2$	$X_6 \cdot X_7$
1	0.9219	6.7665	2.0330	-4.1944	1.3462	0.3081	2.2618	0.6796	-1.4020	0.4500	16.6016	4.9880
2	1.3378	8.6990	2.4015	-5.5760	1.5266	0.4973	3.2336	0.8927	-2.0727	0.5675	21.0259	5.8047
3	1.3285	4.8574	1.5097	-3.8787	0.9262	0.8170	2.9874	0.9285	-2.3855	0.5696	10.9230	3.3949
4	1.4756	8.0900	2.2686	-5.6054	1.5335	0.6483	3.5546	0.9968	-2.4629	0.6738	19.4878	5.4647
5	1.2023	6.4632	1.8795	-4.7075	1.1371	0.6306	3.3898	0.9857	-2.4689	0.5964	18.2218	5.2987
6	0.5478	2.7908	0.9184	-2.3161	0.6328	0.5897	3.0040	0.9886	-2.4930	0.6811	15.3037	5.0363
Soma:	6.8139	37.6669	11.0107	-26.2781	7.1024	3.4910	18.4312	5.4719	-13.2850	3.5384	101.5638	29.9873
Média: M_i	-	-	-	-	-	-	-	-	-	-	-	-
$n \cdot M_i \cdot M_j$	6.8630	37.1992	11.0323	-26.5331	7.1492	3.4220	18.5480	5.5009	-13.2297	3.5647	100.5355	29.8163
$\sum x_i \cdot x_j$	-0.0491	0.4677	-0.0216	0.2550	-0.0468	0.0690	-0.1168	-0.0290	-0.0553	-0.0263	1.0283	0.1710

Observ.:	$X_6 \cdot X_8$	$X_1 \cdot X_6$	$(X_7)^2$	$X_7 \cdot X_8$	$X_1 \cdot X_7$	$(X_8)^2$	$X_1 \cdot X_8$	$(X_1)^2$
1	-10.2910	3.3028	1.4987	-3.0920	0.9923	6.3792	-2.0473	0.6571
2	-13.4774	3.6899	1.6025	-3.7207	1.0187	8.6389	-2.3652	0.6475
3	-8.7222	2.0828	1.0551	-2.7109	0.6473	6.9648	-1.6632	0.3972
4	-13.5026	3.6941	1.5324	-3.7864	1.0359	9.3556	-2.5595	0.7002
5	-13.2718	3.2058	1.5408	-3.8593	0.9322	9.6665	-2.3349	0.5640
6	-12.7003	3.4699	1.6574	-4.1795	1.1419	10.5398	-2.8796	0.7868
Soma:	-71.9653	19.4453	8.8869	-21.3488	5.7683	51.5448	-13.8497	3.7528
Média: M_i	-	-	-	-	-	-	-	-
$n \cdot M_i \cdot M_j$	-71.7090	19.3217	8.8428	-21.2671	5.7303	51.1479	-13.7816	3.7134
$\sum x_i \cdot x_j$	-0.2563	0.1236	0.0441	-0.0817	0.0380	0.3969	-0.0681	0.0394

ELEMENTOS AUXILIARES PARA REGRESSÃO MÚLTIPLA

Observ:	X_1^*	$X_1^* \cdot X_2$	$X_1^* \cdot X_3$	$X_1^* \cdot X_4$	$X_1^* \cdot X_5$	$X_1^* \cdot X_6$	$X_1^* \cdot X_7$	$X_1^* \cdot X_8$	$(X_1^*)^2$
1	2.2564	9.6342	6.6437	-3.7472	-1.2525	- 9.1937	-2.7623	5.6990	5.0913
2	2.6018	15.6769	10.3349	-4.9359	-1.8348	-11.9303	-3.2936	7.6472	6.7694
3	2.1118	6.8228	4.9657	-3.1037	-1.9089	- 6.9795	-2.1692	5.5733	4.4597
4	2.5388	14.5476	9.6132	-4.6526	-2.0442	-11.2075	-3.1428	7.7654	6.4455
5	2.5059	13.7002	8.8293	-3.7942	-1.9899	-10.6969	-3.1106	7.7911	6.2795
6	2.3489	11.1859	6.5706	-1.6757	-1.8037	- 9.1889	-3.0240	7.6257	5.5173
Soma:	14.3636	71.5676	46.9574	-21.9093	-10.8340	-59.1968	-17.5025	42.1017	34.5627
Média: M_j	2.3939	—	—	—	—	—	—	—	—
$\sigma \cdot M_j \cdot M_j$	—	70.5846	46.3823	-21.7548	-10.8472	-58.7951	-17.4372	41.9368	34.3845
$\Sigma x_i \cdot x_j$	—	0.9830	0.5751	-0.1545	0.0132	-0.4017	-0.0653	0.1649	0.1777

Tabela A4

define os coeficientes da regressão, os valores utilizados são aqueles da linha $\sum x_i x_j$.

Agora, está-se em condições de desenvolver, segundo os critérios já referidos no Capítulo 4, a análise de regressão para cada variável dependente.

Primeira Regressão: variável dependente

$$X_1^* = \text{Ln} (\text{PN.PK})$$

Coeficientes de correlação simples entre variáveis

	X_1^*	X_2	X_3	X_4	X_5	X_6	X_7	X_8
X_1^*	1.00	0.99	0.97	-0.38	0.12	-0.94	-0.74	0.62
X_2		1.00	0.96	-0.35	0.19	-0.96	-0.79	0.62
X_3			1.00	-0.60	0.21	-0.96	-0.64	0.41
X_4				1.00	-0.20	0.48	-0.11	0.42
X_5					1.00	-0.44	-0.53	-0.33
X_6						1.00	0.80	-0.40
X_7							1.00	-0.62
X_8								1.00

A fórmula utilizada na determinação desses coeficientes é

$$r_{ij} = \frac{\sum x_i \cdot x_j}{\sqrt{(\sum x_i^2)(\sum x_j^2)}}$$

onde,

r_{ij} → é o coeficiente de correlação simples entre as variáveis X_i e X_j .

Os valores dos coeficientes deixam a pos-

sibilidade de analisar-se duas alternativas para regressão: uma encabeçada pela variável X_2 {Ln(ÁREA)}, e a outra encabeçada por X_3 {Ln(L)}, pois o coeficiente de correlação X_2 com X_3 é alto (0.96), não revelando a desejável independência dessas variáveis.

1ª Alternativa: a análise desta alternativa, tem a sequência referida no Capítulo 4.

1ª Passo: variável independente mais correlacionada com X_1^* . No caso é X_3 (0.97), desconsiderando-se X_2 , pois será estudada na 2ª Alternativa.

2ª Passo: equação de regressão

$$X_1^* = f(X_3) = b_0 + b_3 X_3$$

Coeficientes da equação de regressão:

$$b_3 = \frac{\sum X_1 X_3}{\sum X_3^2} = \frac{0.5751}{1.9874} = 0.289373$$

$$b_0 = M_1 - b_3 \cdot M_3 = 2.3939 - b_3 \cdot 3.2292$$

$$b_0 = 1.459457$$

Então,

$$\underline{X_1^* = 1.459457 + 0.289373 X_3}$$

$$R_{13}^2 = 0.937 \quad \text{coeficiente de determinação}$$

Análise de Co-variança

Testar a hipótese $H_0: \beta_3 = 0$

Nível de significância: 5%

$$F_{tab.}(1;4;0.95) = 7.71$$

Com esses elementos constrói-se a tabela de Co-variança a seguir:

Fonte	Soma dos Quadrados	G.L.	Média de SQ	$F_{cal}(\text{Global})$
Regressão: $b_0 b_3$	$b_3 \cdot \sum X_1 X_3$ 0.1664184	1	0.1664184	59
Resíduo	0.0112816	4	0.0028200	
Total	0.1777000	5		

Como $F_{cal} > F_{tab} (1,4,0.95)$: Rejeita-se

$$H_0 : \beta_3 \neq 0$$

3º Passo: Cálculo dos coeficientes de correlação parcial das variáveis restantes (X_4, X_5, X_6, X_7, X_8)

$$r_{ij,k} = \frac{r_{ij} - r_{ik} \cdot r_{jk}}{\sqrt{(1-r_{ik}^2)(1-r_{jk}^2)}}$$

$$r_{14,3} = 0.969$$

$$r_{15,3} = -0.350$$

$$r_{16,3} = -0.130$$

$$r_{17,3} = -0.022$$

$$r_{18,3} = 0.974$$

Portanto a próxima variável a ser considerada é X_8 .

4º Passo: Equação de regressão:

$$X_1^* = f(X_3, X_8)$$

Sistema de Equações (Solução Método Doolittle)

$$I \quad \Sigma X_3^2 \cdot b_3 + \Sigma (X_3 \cdot X_8) \cdot b_8 = \Sigma X_1 \cdot X_3$$

$$II \quad \Sigma (X_3 \cdot X_8) b_3 + \Sigma X_8^2 \cdot b_8 = \Sigma X_1 \cdot X_8$$

$$(I) \quad 1.9874 b_3 + 0.3654 b_8 = 0.5751$$

$$(I') \quad - b_3 + (-0.183858) b_8 = -0.289373$$

$$(II) \quad 0.3654 b_3 + 0.3969 b_8 = 0.1649$$

$$(-0.183858) I \quad -0.3654 b_3 + (-0.0671818) b_8 = -0.1057369$$

$$\Sigma \quad \quad \quad 0.3297182 b_8 = 0.0591631$$

$$II' \quad \quad \quad b_8 = 0.1794353$$

Substituindo este valor em I',

$$b_3 = 0.2563823$$

$$b_0 = M_1 - b_3 M_3 - b_8 M_8$$

$$b_0 = 1.0421222$$

$$X_1^* = 1.0421222 + 0.2563823 X_3 + 0.18 X_8$$

Análise de Co-variança

Testar : a) $H_0 : \beta_3 = \beta_8 = 0$ (F Global)

Para este teste $F_{tab}(2;3;0.95) = 9.55$

Nível de signif. = 5%

b) Testar se $\beta_8 = 0$ (F Parcial)

$F_{tab}(1;3;0.95) = 10.13$

Fonte	Soma dos Quadrados	G.L.	Média de SQ	F Global	F Parcial
Regressão	$b_3 \cdot \Sigma X_1 X_3 + b_8 \Sigma X_1 X_8$ 0.1770343	2	0.088517	399	
$b_3 b_0$	0.1664184	1			
$b_8 b_3, b_0$	0.0106159	1	0.0106159	48	48
$b_3 b_8, b_0$	$0.1770343 - \frac{(\Sigma X_1 X_8)^2}{\Sigma X_8^2}$ 0.0685109	1	0.0685109		309
Resíduo	0.0006657	3	0.0002219		
Total	0.1777000	5			

a) H_0 rejeitada pois $399 > 9.55$

b) $\beta_8 \neq 0$ pois $48 > 10.13$

Coefficiente de determinação

$$R_{1,38}^2 = 0.9968$$

Desvio padrão da estimativa:

$$\bar{s}_{1,38}^2 = \frac{\sum x_1^2 - [b_3 \cdot \sum x_1 x_3 + b_8 \cdot \sum x_1 x_8]}{n - m}$$

m → número de coeficientes

n → tamanho da amostra

$$\bar{s}_{1,38}^2 = 0.0002219 \quad \therefore \quad \bar{s}_{1,38} = 0.0149$$

Como cerca de 99,7 % da variação total de X_1^* é explicada pela equação de regressão, considera-se alcançado o final da análise de regressão, para esta alternativa.

2ª Alternativa: variável independente que inicia a pesquisa é $X_2 = \ln(\bar{A}REA)$

1º Passo: variável independente a considerar é

$$X_2 (r_{12} = 0.996)$$

2º Passo: equação de regressão

$$X_1^* = f(X_2)$$

$$b_2 = \frac{\sum x_1 x_2}{\sum x_2^2} = 0.1793664$$

$$b_0 = M_1 - b_2 M_2 = 1.5124576$$

$$\underline{X_1^* = 1.512457 + 0.18 X_2}$$

Análise de Co-Variança

Testar a hipótese $H_0: \beta_2 = 0$

$$F_{tab} (1;4;0.95) = 7.71$$

Fonte	Soma dos Quadrados	G.L.	Média SQ	F Global
Regressão: $b_1 b_0$	$b_2 \cdot \Sigma X_1 X_2$ 0.1763171	1	0.1763171	510
Resíduo	0.0013829	4	0.0003450	
Total	0.1777000	5		

Da mesma maneira $F_{cal} > F_{tab}$ e portanto,

$$\beta_2 \neq 0$$

Como se alcança $R_{12}^2 = 0.992$, o processo termina aqui, sem incluir nenhuma outra variável.

$$\bar{S}_{12}^2 = 0.000345 \quad \bar{S}_{12} = 0.0186$$

-Transformação dos resultados, para o modelo original

1ª alternativa

$$X_1^* = 1.042 + 0.2564X_3 + 0.18X_8$$

$$X_1^* = \text{Ln} (\text{PN} \cdot \text{PK})$$

$$X_3 = \text{LN} (L)$$

$$X_8 = \text{Ln} (\text{CV})$$

$$PN.PK = c_1 . L^{c_2} . CV^{c_3}$$

$$\ln c_1 = 1.042$$

$$c_1 = 2.835$$

$$c_2 = 0.256$$

$$c_3 = 0.180$$

$$PN.PK = 2.835 (L)^{0.256} . (CV)^{0.18}$$

2ª alternativa:

$$X_1^* = 1.512 + 0.18X_2$$

$$X_2 = \ln (\bar{AREA})$$

$$PN.PK = c_1' . \bar{AREA}^{c_2'}$$

$$\ln c_1' = 1.512 \quad \therefore \quad c_1' = 4.538$$

$$c_2' = 0.180$$

$$PN.PK = 4.538 (\bar{AREA})^{0.18}$$

Segunda Regressão: variável dependente

$$X_1 = \ln (1/PN)$$

Coefficientes de correlação simples entre a variável dependente e as independentes:

	X ₁	X ₂	X ₃	X ₄	X ₅	X ₆	X ₇	X ₈
X ₁	1.00	-0.59	-0.42	-0.25	-0.5	0.61	0.91	-0.54

1º Passo: variável independente a considerar é

$$X_7 (r_{17} = 0.91)$$

2º Passo: $X_1 = f(X_7)$

$$b_7 = \frac{\sum X_1 X_7}{\sum X_7^2} = \frac{0.038}{0.0441} = 0.86168$$

$$b_0 = 0.25938$$

$$X_1 = 0.25938 + 0.86168X_7$$

Análise de Co-variança

Testar $H_0 : \beta_7 = 0$

$$\alpha = 5\%$$

$$F_{tab}(1;4;0.95) = 7.71$$

Fonte	Soma dos Quadrados	G.L.	Média de SQ	F Global
Regressão	$b_7 \cdot \sum X_1 X_7$ 0.0327437	1	0.03274370	19.7
Resíduo	0.0066563	4	0.00166407	
Total	0.0394000	5		

H_0 rejeitada pois $19.7 > 7.71$

3º Passo: Cálculo dos coeficientes de correlação parcial

$$r_{12,7} = 0.507$$

$$r_{13,7} = 0.500$$

$$r_{14,7} = -0.360$$

$$r_{15,7} = 0.050$$

$$r_{16,7} = -0.470$$

$$r_{18,7} = 0.070$$

Portanto a próxima variável a entrar na equação de regressão é

$$X_2 \cdot (r_{12,7} = 0.51)$$

4º Passo: equação de regressão

$$X_1 = f(X_7, X_2)$$

$$\text{I} \quad \Sigma (x_7^2) \cdot b_7 + \Sigma x_2 \cdot x_7 \cdot b_2 = \Sigma x_1 x_7$$

$$\text{II} \quad \Sigma x_2 x_7 \cdot b_7 + \Sigma (x_2^2) \cdot b_2 = \Sigma x_1 x_2$$

$$\text{I} \quad 0,0441 \cdot b_7 + (-0.3889) \cdot b_2 = 0.0380$$

$$\text{I}' \quad -b_7 + 8.818594 \cdot b_2 = -0.861678$$

$$\text{II} \quad (-0.3889) \cdot b_7 + 5.4804 \cdot b_2 = -0.2746$$

$$(8.818594)\text{I} + (0.3889) \cdot b_7 + (-3.429551) \cdot b_2 = 0.3351065$$

$$\Sigma \quad 2.0508488 \cdot b_2 = 0.0605065$$

$$\text{II}' \quad b_2 = 0.029503$$

Levando b_2 em I' obtem-se

$$b_7 = 1.12185$$

$$b_0 = M_1 - b_7 M_7 - b_2 M_2 = 0.4302$$

$$X_1 = 0.4302 + 1.1219X_7 + 0.03X_2$$

Análise de Co-variança

Testar a) $H_0 : \beta_7 = \beta_2 = 0$

$$F_{tab}(2;3;0.95) = 9.55$$

$$b) H_0 : \beta_2 = 0 \quad (F \text{ Parcial})$$

$$F_{tab}(1;3;0.95) = 10.13$$

Fonte	Soma dos Quadrados	G.L.	Média da SQ	F Global	F Parcial
Regressão	$b_7 \cdot \Sigma X_1 X_7 + b_2 \Sigma X_1 X_2$ 0.0345287	2	0.0172643	10.64	
Devido a $b_7 b_0$	0.0327437	1			
$b_2 b_7, b_0$	0.0017850	1	0.0017850	1.1	1.1
Devido a $b_7 b_2, b_0$	$0.0345 - \frac{(\Sigma X_1 X_2)^2}{\Sigma X_2^2}$ 0.0207696	1	0.0207696		12.8
Resíduo	0.0048713	3	0.0016230		
Total	0.0394000	5			

a) H_0 rejeitada pois $10.64 > 9.55$

b) $\beta_2 = 0$ pois $1.1 < 10.13$

O processo termina aqui.

Coefficiente de determinação

$$R_{1,27}^2 = 0.87$$

Desvio padrão da estimativa

$$S_{1,27}^2 = 0.0016 \quad \therefore \quad \bar{S}_{1,27} = 0.04$$

- Transformação do resultados, para o modelo original
Como a 2ª alternativa tem um valor apenas qualitativo,
transforma-se para o modelo original a 1ª alternativa.

$$X_1 = f(X_7)$$

$$X_1 = 0.2594 + 0.86167X_7$$

$$X_1 = \text{Ln} (1/PN)$$

$$X_7 = \text{Ln}(DS)$$

$$\left(\frac{1}{PN}\right) = c_1 \cdot (DS)^{c_2}$$

$$\text{Ln } c_1 = 0.25940$$

$$c_1 = 1.29600$$

$$c_2 = 0.86168$$

$$(1/PN) = 1.296 \cdot (DS)^{0,86}$$

$$PN = 0.770 \cdot (DS)^{-0,86}$$

Esses são os resultados obtidos no estudo de regionalização.

A N E X O I I I

PROGRAMAS UTILIZADOS

PROGRAMAS UTILIZADOS

Apresenta-se apenas os programas principais, pois aqueles para análise da conformação da objetiva, análise de dependência e a análise de sensibilidade estão diretamente relacionados a estes com pequenas adaptações.

Programa 1 - Otimização de parâmetros do HUI sob a forma da distribuição gama.

Finalidade: obtenção dos parâmetros PN e PK que otimizam a função objetiva Z.

Dados de entrada: Posto fluviométrico (NPOSTO);
Data da cheia (NO DIA, NOMES, NO ANO);
Duração da precipitação (L);
Duração escoamento superficial (M);
Área da bacia em km² (ÁREA);
Duração de cada ordenada de chuva em horas (T);
Intervalo do histograma das descargas em horas (D₁);
Ordenadas de precipitações {X(K)};
Ordenadas de descargas {Y(I)};

Dados de saída: Além dos dados de entrada são apresentadas as seguintes informações:
- Resumo das iterações onde aparecem, os valores parciais dos parâmetros, os valores corrigidos, quando necessários, e o valor da função objetiva em cada iteração.
- Parâmetros otimizados - quando ocorrem convergência, obtém-se os valores PN e PK otimizados.
- Controle- devido ao truncamento do HUT,

não ocorre a igualdade dos volumes precipitados observados e calculados, sendo, portanto, necessário a comparação desses valores para se ter idéia do grau de aproximação entre os mesmos.

- Finalmente, apresenta-se as precipitações e descargas observadas, descargas calculadas e descargas específicas do Hidrograma Unitário.

Os símbolos que aparecem neste programa e que não foram, ainda, definidos são:

- IND1(I), IND2(I) → são índices utilizados para o cálculo de XI nos quatro quadrantes.
- SOM(I), SOMBJ(I), ..., SOMFJ(I) → acumulam os valores de FXI, FXBJ, ..., FXFJ, nos quatro quadrantes.
- XAU(I,J) → valores auxiliares quando $J1 \leq 1$.
- PROBS → variável auxiliar para determinar o total precipitado.
- N1, N2, N3 → índices que definem o total de posições para cada quadrante.
- XMED(L1, I, J) → ponto central da região { J1; J1-D; J1-D-T; J1-T }.

Sub-rotinas utilizadas:

SUBROUTINE DITRIG(XX, DIGAM, TRIGAM, IER)
Calcula os valores das funções Digama e Trigama de PN, que são utilizadas no cálculo das derivadas do HUT.

SUBROUTINE GAMMA(XX, GX, IER).
Calcula o valor da função Gama de PN que é utilizada no cálculo das ordenadas do HUT e suas derivadas.

Programa 2 : Otimização de parâmetros do HUI sob a forma triangular. Neste caso obtém-se os parâmetros TP e QP do HUI triangular, otimizados. Com pe

quenas alterações, os dados de entrada e saída são os mesmo do Programa 1.

Programa 3 : Obtenção de Hidrogramas calculados, sendo dados os valores de PN e PK a serem utilizados. Este programa foi usado para determinar os hidrogramas referentes à validação da regionalização. Não apresenta a parte de otimização do Programa 1.

PROGRAMA 1 - HUI SOB A FORMA DA DISTRIBUIÇÃO GAMA

```

DIMENSION UN      Y(200),A(200),B(200),C(200),D(200),E(200),F(2
100) ,HI(200) ,BJ(200) ,CJ(200) ,DJ(200) ,EJ(200) ,HJ(200) ,
2 XITAB(5) ,WLIDD(5) ,WI(5,5) ,IND1(4) ,IND2(4) ,X1(4,5,5) ,SOMBJ(4) ,
3 SOM(4) ,XI(4,5,5) ,XAU(4,5) ,FXBJ(4,5,5) ,FXCJ(4,5,5) ,FXDJ(4,5,5) ,
4 FXEJ(4,5,5) ,FXFJ(4,5,5) ,SOMCJ(4) ,SOMDJ(4) ,SOMEJ(4) ,SOMFJ(4) ,X(200)
DATA XITAB/.1488743390,.4333953941,.6794095083,.8650633667,.973906
1528E/
DATA WLIDD/.2955242247,.2692667193,.2190803025,.1494513492,.066671
13443/
DATA IND1/1,-1,-1,1/
DATA IND2/1,1,-1,-1/
NP=10
READ(5,*)NPOSTO,NODIA,NOMES,NOANO

8  FORMAT(4I2)
READ(5,4)L,M,AREA,PREC,T,D1
9  FORMAT(4I2,F5,2,F5,4,F2,0)
READ(5,10)X(K),K=1,L)
10  FORMAT(10)(Y(I),I=1,M)
COEF=3.0*D1/AREA
DO 11 K=1,L
11  PROCES=PROBS*X(K)
WRITE(6,11)NPOSTO,AREA,NODIA,NOMES,NOANO

111  FORMAT(1H1,34X,'PROGRAMA PARA DETERMINAR VALORES OTIMOS PARA PN
1E PK',///,35X,'PF',I1,2X,'AREA DA BACIA:',P7,2,1X,'KM2 DATA DA C
2HEIA:',I3,///,I2,///,I2,///,53X,'RESUMO DAS INTERACOES',///,35X,'NO
3PNPARCIAL PKPARCIAL PNCORRIG. PKCORRIG. FOBJET. ')
DO 12 I=1,M
12  Y(I)=Y(I)*COEF
O=1.
T=T/D1
N1=NP/2
N2=M1

ITER=0
PNI=2.022
PKI=3.
DO 15 I=1,N1
DO 15 J=1,I
15  WI(I,J)=WLIDD(I)*WLIDD(J)
PN=PMI
PK=PKI
ITER=ITER+1
XX=PN
CALL GAMMA(XX,GX,IER)
CALL DITRIG(XX,DIGAM,TRIGAM,IER)
DO 19 J1=1,200
EJ(J1)=0.
CJ(J1)=0.
DJ(J1)=0.
EJ(J1)=0.
FJ(J1)=0.
HJ(J1)=0.
IF(J1.EQ.1.0) GO TO 550
N3=3
XMED=(2*J1+T-0)/2
DO 55 L1=1,N3
DO 55 L2=1,N1
DO 55 L3=1,N2
55  XI(L1,L2,J)=XMED+IND1(L1)*T/2*XITAB(J)+IND2(L2)*D/2*XITAB(I)
GO TO 560
550  DO 560 M1=1,N1
XAU(1,M1)=C.5*(1+XITAB(M1))
XAU(2,M1)=XAU(1,M1)
560  XAU(3,M1)=C.5*(1-XITAB(M1))
XAU(4,M1)=XAU(3,M1)
DO 570 I=1,N1
AA=XAU(1,I)/2.
BB=XAU(3,I)/2.
DO 570 J=1,N2
XI(1,I,J)=AA*(1+XITAB(J))
XI(2,I,J)=AA*(1-XITAB(J))
XI(3,I,J)=BB*(1-XITAB(J))
570  XI(4,I,J)=BB*(1+XITAB(J))

```



```

A(I)=Y(I)-HI(I)
Z=Z+A(I)**2
S1=S1+2*A(I)*BI(I)
S2=S2+2*A(I)*CI(I)
S3=S3+2*A(I)*DI(I)+2*BI(I)**2
S4=S4+2*A(I)*EI(I)+2*CI(I)**2
120 S5=S5+2*A(I)*FI(I)+2*BI(I)*CI(I)
S6=S6+S4+S5**2
IF(G)125,135,125
125 ACPN=(S2*S5-S1*S4)/G
ACPK=(S1*S5-S2*S3)/G
PN=PN+ACPN
PK=PK+ACPK
IF(ITER.GT.10.)GO TO 135
IF(PN.GT.0.)PNI=PN
IF(PK.GT.0.)PKI=PK
IF(CARS(ACPN)=PREC)130,130,131
130 IF(CARS(ACPK)=PREC)135,135,131
131 WRITE(6,132)ITER,PN,PK,PNI,PKI,4
132 FORMAT(35X,12,4F11.4,F9.4)
GO TO 30
135 WRITE(6,136)
136 FORMAT(1H0,47X,'RESULTADOS FINAIS DA OTIMIZACAO')
IF((S3+S4).LE.0.)GO TO 145
IF(G.LE.0.)GO TO 145
137 WRITE(6,137)
137 FORMAT(1H0,52X,'PARAMETROS OTIMIZADOS',//,50X,'PN PK')
138 WRITE(6,138)PN,PK
138 FORMAT(51X,2F9.4,////)
SOMM=0.
DO 140 I=1,M2
Y(I)=Y(I)/COEF
HI(I)=HI(I)/COEF
140 SOMM=SOMM+HI(I)
PRCAL=SOMM*COEF
143 WRITE(6,143)
143 FORMAT(1H0,59X,'CONTROLE',//,55X,'TOTAL PRECIPITADO',//,55X,'OBSER
1. CALCUL.')
144 WRITE(6,144)PRCBS,PRCAL
144 FORMAT(50X,2F11.3)
139 WRITE(6,139)
139 FORMAT(1H0,51X,'HIDROGRAMAS RESULTANTES',//,35X,'ORD. CHUV
1AS VAZDES VAZDES HIDROGRAMA',//,46X,'EFETIVAS OBSERVA
2DAS CALCULADAS UNITARIO',//,48X,'(MM) (M3/S) (M3/S)
3 (1/2H)')
DO 141 I=1,M2
141 WRITE(6,142)I,X(I),Y(I),HI(I),HJ(I)
142 FORMAT(1H0,34X,13,4X,4F12.4)
GO TO 147
145 WRITE(6,146)
146 FORMAT(1H0,51X,'NAD HOUVE CONVERGENCIA')
147 CALL EXIT
END

```


SUBROUTINE DITRIG(XX,DIGAM,TRIGAM,IER)

```

A=0.0
B=0.0
IF(XY.GT.0.0)GO TO 10
IER=1
RETURN
10 X=XX
IER=0
IF(X.GE.8.0)GO TO 30
Z=X
20 A=A-1./4
B=B+1./Z**2
Z=Z+1.
X=Z
IF(Z.LT.8.0)GO TO 20
30 Z=1./X**2
DIGAM=A+ALOG(X)=0.5/X+(((((-1./132.)*Z+1./2+0.)*Z-1./252.)*Z+1./12
10.)*Z-1./12.)*Z
TRIGAM=B+0.5*Z+((((1./13.2*Z-1./30.)*Z+1./+2.)*Z-1./30.)*Z+1./6.)
1*Z+1.)*1./X
RETURN
END

```

SUBROUTINE GAMMA(XX,GX,IER)

```

X=XX
ERR=1.0E-6
IER=0
GX=1.0
IF(X-2.0)50,50,15
10 IF(X-2.0)110,110,15
15 X=X-1.
GX=GX*X
GO TO 10
50 IF(X-1.0)60,120,110
60 IF(X-ERR)62,62,80
62 Y=FLOAT(INT(X))-X
IF(ABS(Y)-ERR)130,130,64
64 IF(1.0-Y-ERR)130,130,70
70 IF(X-1.0)80,80,110
80 GX=GX/X
X=X+1.0
GO TO 70
110 Y=X-1.0
GX=1.0+Y*(-0.5771017+Y*(+0.9858540+Y*(-0.8704216+Y*(+0.8320212+Y*(
1-0.5684729+Y*(+0.2548205+Y*(-0.05149930))))))
GX=GX*GX
120 RETURN
130 IER=1
RETURN
END

```

PF1 AREA DA BACIA: 71.50 KM2 DATA DA CHEIA: 30/ 8/78

RESUMO DAS ITERACOES

NO	PNPARCIAL	PKPARCIAL	PNCORRIG.	PKCORRIG.	FBJET.
1	2.3239	3.5240	2.3239	3.5240	1.3922
2	2.2371	4.0031	2.2371	4.0031	0.1593
3	2.0646	4.4610	2.0646	4.4610	0.0537
4	2.0320	4.6108	2.0320	4.6108	0.0314
5	2.0251	4.6360	2.0251	4.6360	0.0291
6	2.0250	4.6364	2.0250	4.6364	0.0291

RESULTADOS FINAIS DA OTIMIZACAO

PARAMETROS OTIMIZADOS

PN PK
2.0250 4.6364

CONTROLE

TOTAL PRECIPITADO

OBSER. CALCUL.
11.632 11.627

HIDROGRAMAS RESULTANTES

ORD.	CHUVAS EFETIVAS (MM)	VAZDES OBSERVADAS (M3/S)	VAZDES CALCULADAS (M3/S)	HIDROGRAMA UNITARIO (1/2H)
1	9.0150	0.4210	0.5813	0.0065
2	1.0170	3.0600	3.2147	0.0346
3	0.0000	5.9260	5.7920	0.0577
4	0.0000	7.6900	7.3904	0.0709
5	0.0000	8.4010	8.1724	0.0770
6	0.0000	8.7050	8.3851	0.0781
7	0.0000	8.2540	8.2155	0.0760
8	0.0000	7.7530	7.8336	0.0718
9	0.1000	7.2510	7.4204	0.0664
10	0.1000	6.7490	6.9363	0.0604
11	0.0000	6.2460	6.3943	0.0543
12	0.0500	5.7460	5.8133	0.0483
13	0.0000	5.2440	5.2311	0.0425
14	0.0500	4.7430	4.6636	0.0372
15	0.0000	4.2410	4.1324	0.0324
16	0.0000	3.8310	3.6356	0.0280
17	0.0000	3.5130	3.1768	0.0241
18	0.0000	3.1950	2.7596	0.0207
19	0.0000	2.8770	2.3850	0.0177
20	0.0000	2.5590	2.0522	0.0151
21	0.0000	2.2410	1.7589	0.0128
22	0.0000	1.9240	1.5023	0.0109

23	0.0000	1.6060	1.2792	0.0092
24	0.0000	1.2860	1.0861	0.0077
25	0.0000	0.9700	0.9199	0.0065
26	0.0000	0.6520	0.7774	0.0055
27	0.0000	0.3340	0.6555	0.0046
28	0.0000	0.0980	0.5517	0.0038
29	0.0000	0.0000	0.4636	0.0032
30	0.0000	0.0000	0.3889	0.0027
31	0.0000	0.0000	0.3257	0.0022
32	0.0000	0.0000	0.2724	0.0019
33	0.0000	0.0000	0.2276	0.0016
34	0.0000	0.0000	0.1899	0.0013
35	0.0000	0.0000	0.1582	0.0011
36	0.0000	0.0000	0.1317	0.0009
37	0.0000	0.0000	0.1096	0.0007
38	0.0000	0.0000	0.0910	0.0006
39	0.0000	0.0000	0.0756	0.0005
40	0.0000	0.0000	0.0627	0.0004
41	0.0000	0.0000	0.0520	0.0003
42	0.0000	0.0000	0.0430	0.0003
43	0.0000	0.0000	0.0356	0.0002
44	0.0000	0.0000	0.0295	0.0002
45	0.0000	0.0000	0.0243	0.0002
46	0.0000	0.0000	0.0201	0.0001
47	0.0000	0.0000	0.0166	0.0001
48	0.0000	0.0000	0.0137	0.0001
49	0.0000	0.0000	0.0046	0.0000
50	0.0000	0.0000	0.0024	0.0000
51	0.0000	0.0000	0.0020	0.0000
52	0.0000	0.0000	0.0017	0.0000
53	0.0000	0.0000	0.0014	0.0000
54	0.0000	0.0000	0.0011	0.0000
55	0.0000	0.0000	0.0009	0.0000
56	0.0000	0.0000	0.0004	0.0000
57	0.0000	0.0000	0.0003	0.0000
58	0.0000	0.0000	0.0001	0.0000
59	0.0000	0.0000	0.0001	0.0000
60	0.0000	0.0000	0.0001	0.0000
61	0.0000	0.0000	0.0000	0.0000

PROGRAMA 2 - HUI COM A FORMA TRIANGULAR

```

REAL J1,M
DIMENSION X(33),Y(100),A(100),B(100),C(100),D(100),E(100),F(1
100),H(100),HJ(80),CJ(80),DJ(80),EJ(80),FJ(80),HJ(80)
READ(5,9)L,M,NT,AREA,PREC,T,D1
9 FORMAT(3I2,F5.2,F8.7,2F2.0)
READ(5,10){X(K),K=1,L}
READ(5,10){Y(I),I=1,M}
10 FORMAT(10F5.3)
TPI=3.
OPI=0.05
WRITE(6,7)L,M,NT,AREA,PREC,(X(K),K=1,L),(Y(I),I=1,M)
COEF=3.6*D1/AREA
DO 12 I=1,M
12 Y(I)=Y(I)*COEF
O1=1.
ITER=0
14 TP=TP1
OP=OPI
ITER=ITER+1
ARMTP=TP1
ARMCP=JFI
N=2/OPI
S1=0
S2=0
S3=0
S4=0
S5=0
16 S=1-TP*OP/2
IF(S)23,18,20
18 TP=TP-}.001
OP=OP-}.001
GO TO 16
20 DO 5A I=1,M

BI(I)=J
CI(I)=J
DI(I)=J
EI(I)=J
FI(I)=J
HI(I)=J
DO 56 J=1,I
X=I-0.1
IF(K)56,56,22
22 IF(K=L)23,23,56
23 IF(J(K))24,56,2300
2300 IF(J=N-1)24,24,93
24 IF(J=T)26,26,30
26 IF(J=TP)90,90,28
30 IF(J=N)100,100,110
40 IND1=1
GO TO 220
95 P=J-N-T-01
IND2=2
IF(P)96,56,56
96 C=-P
C1=C+J-01
GO TO 30
100 P=J-TP-01
IND1=2
IND=6
GO TO 200
110 P=J-L-N-01
IND1=3
IND=10
GO TO 200
120 P=J-T-01
IND1=4
IND=2
GO TO 200
130 P=J-TP-01
IND1=5
IND=3
GO TO 300
140 P=J-T-01
IND1=5
IND=7

```

```

150 GO TO 200
P=J-N-J1
IND1=6
IND2=8
160 GO TO 200
P=J-T-J1
IND1=6
IND2=11
170 GO TO 200
P=J-T-TP-D1
IND1=7
IND2=4
180 GO TO 200
P=J-N-J1
IND1=8
IND2=5
190 GO TO 200
P=J-T-TP-D1
IND1=8
IND2=9
200 GO TO 200
210 IF(P)210,220,220
IND2=1
J1=U+J-D1
GO TO(48,42,30,43,40,42,46,48,44,46,52),IND
220 IND2=2
J1=J
GO TO(42,46,52,33,48,44,40,50),IND1
230 IND2=2
J=TP+D1
J1=J
GO TO(30,38,48,44,50,46,48,44,50,52,44),IND
30 IF(U-TP)120,120,32
32 IF(U-TP-T)34,34,36
34 IF(U-N)240,240,250
240 IF(T-TP)130,130,140
36 IF(U-N)170,170,250
250 IF(T-N)150,150,150
260 IF(T-N)270,270,190
270 IF(TP+T-N)280,290,300

280 P=J-TP-T-D1
IND2=1
GO TO 310
290 P=J-N-J1
IND1=8
IND2=11
GO TO 200
300 P=J-N-J1
IND2=2
310 IF(P)320,350,350
320 J1=U+J-D1
IND2=3
GO TO 48
330 C=TP+T-N
C=ABS(C)
J1=C1+J
IND2=4
GO TO(40,44),IND3
340 P=J-J1
J1=J
IND2=2
GO TO 30
350 GO TO(180,190),IND3
38 C=J1-T*D
FF1=(J1+C)/2*D/D1
GO TO 43
40 F=(C+T-2*J1)/4*D/D1
FS=C/D1+F*QP
GJ(J)=(FS*QP**2/(2*S**2))*X(K)
CJ(J)=(FS*(1/S**2)+F*QP/S)*X(K)
UJ(J)=(FS*QP**3/(2*S**3))*X(K)
EJ(J)=(FS*TP/(S**3)+2*F/(S**2))*X(K)
FJ(J)=(FS*QP/(S**3)+F*QP**2/(2*S**2))*X(K)
HJ(J)=(FS*QP/S)*X(K)
GO TO 34
42 B=J1-D
FF1=(J1**3-B**3)/(5*D*T)*D/D1
43 CJ(J)=-FF1*QP/(TP**2)*X(K)
UJ(J)=2*FF1*QP*(TP**3)*X(K)
EJ(J)=J

```

```

FU(J) = FF1 / (TP**2) * X(K)
HU(J) = FF1 * QP / TP * X(K)
44 GO TO 54
FF3 = 0
FF4 = 0
FF5 = 0
FF7 = 0.5
FF8 = 0.5
FF6 = D * TP**2 * ((E**3) / 3 + (C**3) / 3)
FF10 = 1
46 BUJU = 0
FF3 = (1 - JU * QP / 2) ** 3 - (1 - B * QP / 2) ** 3
FF4 = JU * (1 - JU * QP / 2) ** 2 + B * (1 - B * QP / 2) ** 2
FF5 = (1 - JU * QP / 2) * JU ** 2 - (1 - B * QP / 2) * B ** 2
FF9 = 1.0
48 CUJU = 0
FF3 = (1 - JU * QP / 2) ** 3 - (1 - B * QP / 2) ** 3
FF4 = JU * (1 - JU * QP / 2) ** 2 + B * (1 - B * QP / 2) ** 2
FF5 = (1 - JU * QP / 2) * JU ** 2 - (1 - B * QP / 2) * B ** 2
FF6 = D * TP**2 * ((E**3) / 3 + (C**3) / 3)
FF7 = 0.5
FF8 = 0.5
FF10 = 1
50 EUJU = 0
FF3 = (1 - JU * QP / 2) ** 3 - (1 - E * QP / 2) ** 3
FF4 = JU * (1 - JU * QP / 2) ** 2 + E * (1 - E * QP / 2) ** 2
FF5 = (1 - JU * QP / 2) * JU ** 2 - (1 - E * QP / 2) * E ** 2
52 FUJU = 0
FF3 = 0
FF4 = 0
FF5 = 0
FF9 = 1
53 SU(J) = (FF3 / (J * D * T * S**2) - FF6 * WP / (2 * D * T * TP**2) + FF7 * QP / T) * X(K) * D / D1
CU(J) = (FF3 * 2 * (QP * TP - 1) / (J * D * T * (S * QP)**2) + FF4 / (D * T * S * QP) + FF6 / (2 * D *
1T * TP) - FF8 * TP / T) * X(K) * D / D1

DU(J) = (FF3 * QP / (3 * D * T * S**3) + FF6 * WP / (D * T * TP**3) - FF11 * WP / (T * TP)) * X(K)
1 * D / D1
EU(J) = (FF3 * (3 * (TP * QP) ** 2 - 6 * TP * JP + 4) / (3 * D * T * (S * QP)**3) + FF4 * 2 * (QP * TP
1 - 1) / (D * T * (S * QP)**2) + FF5 / (D * T * S * QP)) * X(K) * U / D1
FU(J) = (FF3 * TP / (3 * D * T * S**3) + FF4 / (2 * D * T * S**2) - FF6 / (2 * D * T * TP**2) + FF7 *
1(1 / T)) * X(K) * D / D1
HU(J) = (FF3 * 2 / (3 * J * T * S * QP) + FF6 * WP / (2 * D * T * TP) + FF9 / T + FF10 * S / T) * X(K) * U
1 / D1
54 BI(I) = BI(I) + BU(J)
CI(I) = CI(I) + CU(J)
DI(I) = DI(I) + DU(J)
EI(I) = EI(I) + EU(J)
FI(I) = FI(I) + FU(J)
HI(I) = HI(I) + HU(J)
FF7 = 0
FF8 = 0
FF9 = 0
FF10 = 0
FF11 = 0
56 GO TO (230, 56, 330, 340), IND2
CONTINUE
A(I) = Y(I) - HI(I) ** 2
G = G + (Y(I) - HI(I)) ** 2
S1 = S1 - 2 * A(I) * HI(I)
S2 = S2 - 2 * A(I) * CI(I)
S3 = S3 - 2 * A(I) * DI(I) + 2 * BI(I) ** 2
S4 = S4 - 2 * A(I) * EI(I) + 2 * CI(I) ** 2
58 S5 = S5 + 2 * A(I) * FI(I) + 2 * BI(I) * CI(I)
WRITE(6, /) (A(I), I = 1, M)
WRITE(6, /) G
G = S3 * S4 - S5 ** 2
WRITE(6, /) G
IF(G) GO, 64, 60
60 ACTP = (S2 * S5 - S1 * S4) / G
ACQP = (S1 * S5 - S2 * S3) / G
TPI = TPI + ACTP
UPI = UPI + ACQP
WRITE(6, /) TPI, UPI
IF(ITER.GT.10) GO TO 64
IF(TPI) 600, 600, 610
600 TPI = AR4TP + 0.1 * NT

```

```

610 IF (TPI - 0.7 * NT) 630, 620, 620
620 ACTP = 0.2 * ACTP
    TPI = AR4 * PP + ACTP
    GO TO 610
630 IF (QPI - 2. / NT) 640, 640, 650
640 EPI = AR4 * PP + 0.01 * NT
650 IF (CPI - 5. / NT) 61, 660, 660
660 ACQP = 0.2 * ACQP
    CPI = AR4 * PP + ACQP
    GO TO 650
61 IF (ABS(ACTP) - PREC) 62, 62, 14
62 IF (ABS(ACQP) - PREC) 64, 64, 14
64 WRITE(6, 66)
66 FORMAT(1H1, 34X, 'PROGRAMA PARA DETERMINAR VALORES OTIMOS PARA TP E
1 QP, /, /, M, N, L, TPI, QPI, PREC QPI PREC')
68 WRITE(6, 68) M, N, L, TPI, QPI, PREC
68 FORMAT(1X, 3I3, F7.2, F9.2, F3.4)
70 WRITE(6, 70)
1 X(1) X(2) X(3) X(4) X(5) X(6) X(7)
X(8) X(9) X(10) X(11) X(12) X(13) X(14) X(15)
WRITE(6, 72) (X(K), K=1, L)
72 FORMAT(15F8.3)
74 WRITE(6, 74)
1 Y(1) Y(2) Y(3) Y(4) Y(5) Y(6) Y(7) Y(8) Y(9) Y(10) Y(11) Y(12)
2)
76 WRITE(6, 76) (Y(I), I=1, 12)
76 FORMAT(12F10.4)
76 WRITE(6, 76)
76 FORMAT(1H0, Y(13) Y(14) Y(15) Y(16) Y(17) Y(18) Y(19) Y(20) Y(21) Y(22) Y(23) Y(24)
2)
80 WRITE(6, 80) (Y(I), I=13, 24)
80 FORMAT(12F10.4)
780 WRITE(6, 780)
780 FORMAT(1H0, Y(25) Y(26) Y(27) Y(28) Y(29) Y(30) Y(31) Y(32) Y(33) Y(34) Y(35) Y(36)
2)
781 WRITE(6, 80) (Y(I), I=25, 36)
781 WRITE(6, 781)
781 FORMAT(1H0, Y(37) Y(38) Y(39) Y(40) Y(41) Y(42) Y(43) Y(44) Y(45) Y(46) Y(47) Y(48)
2)
82 WRITE(6, 80) (Y(I), I=37, 48)
82 WRITE(6, 82)
82 FORMAT(1H0, TPOTIMU QPOTIMU)
84 WRITE(6, 84) TP, QP
84 FORMAT(F13.3, F16.3)
CALL EXIT
END

```

PROGRAMA 3 - CONVOLUÇÃO

```

DIMENSION X(20),HI(200),HJ(200),XITAB(4),WL1DD(5),WI(5,5),IND1(4),
1 IND2(4),XI(4,5,5),SOM(4),FXI(4,5,5),XAU(4,5),Y(200)
DATA XITAB/.1488743390,.433395394Y,.6794095083,.8850633667,.973906
15285/
DATA WL1DD/.2955242247,.2692667193,.2100863025,.1494513492,.066671
13443/
DATA IND1/1,-1,-1,1/
DATA IND2/1,1,-1,-1/
N=10
READ(5,9)L,M,NT,AREA,PREC,T,D1

9 FORMAT(3I2,F5.2,F8.7,2F2.0)
READ(5,10)(X(K),K=1,L)
READ(5,10)(Y(I),I=1,M)
10 FORMAT(16F5.3)
WRITE(6,7)(X(K),K=1,L)

COEF=3.0*D1/AREA
DO 12 K=1,L
12 X(K)=X(K)/COEF
D=1.
N1=N/2
N2=N1
DO 15 I=1,N1
DO 15 J=1,N1
15 WI(I,J)=WL1DD(I)*WL1DD(J)
WI(J,I)=WI(I,J)
PN=2.097
PK=4.466
XX=PN
CALL GAMMA(XX,GX,IER)
DO 95 J1=1,100
HJ(J1)=0.
IF(J1.EQ.1.0)GO TO 550
N3=3
XMED=(2*J1-T-D)/2

DO 55 L1=1,N3
DO 55 I=1,N1
DO 55 J=1,N2
XI(L1,I,J)=XMED+IND1(L1)*T/2*XITAB(J)+IND2(L1)*D/2*XITAB(I)
55 CONTINUE
GO TO 560
550 DO 560 M1=1,N1
XAU(1,M1)=0.5*(1+XITAB(M1))
XAU(2,M1)=XAU(1,M1)
XAU(3,M1)=0.5*(1-XITAB(M1))
560 XAU(4,M1)=XAU(3,M1)
DO 570 I=1,N1
AA=XAU(1,I)/2.
BB=XAU(3,I)/2.
DO 570 J=1,N2
XI(1,I,J)=AA*(1+XITAB(J))
XI(2,I,J)=AA*(1-XITAB(J))
XI(3,I,J)=BB*(1-XITAB(J))
570 XI(4,I,J)=BB*(1+XITAB(J))
N3=4
580 DO 75 L1=1,N3
TESTE=(-1)**L1
SOM(L1)=0.
DO 75 I=1,N1
DO 75 J=1,N1
IF(J1.EQ.1.0)GO TO 68
IF(I=J)70,70,60
IF(I=0)70,65,70
60 IF(TESTE.EQ.1.0)GO TO 70
65 FXI(L1,I,J)=FXI(L1,J,I)
GO TO 75
68 FXI(L1,I,J)=(XI(L1,I,J)/PK)**(PN-1.)*EXP(-XI(L1,I,J)/PK)/(PK*GX)*X
1AU(L1,I)
GO TO 75
70 FXI(L1,I,J)=(XI(L1,I,J)/PK)**(PN-1.)*EXP(-XI(L1,I,J)/PK)/(PK*GX)
75 SOM(L1)=SOM(L1)+FXI(L1,I,J)*WI(I,J)
IF(N3=3)85,80,85
80 SOM(4)=SOM(2)
85 DO 90 L1=1,4
90 HJ(J1)=HJ(J1)+SOM(L1)/4.
IF(J1.EQ.1.0)GO TO 95
IF(HJ(J1).GT.HJ(J1-1))GO TO 95

```



```

IF(HJ(J1),LE,PREC) GO TO 96
95 CONTINUE
96 M2=J1+L-1
IF(M2.GT.200)M2=200
IF(J1.GT.200.)J1=200
Q=0
DO 120 I=1,M2
HI(I)=0.
DO 115 J=1,J1
K=I+J-1
IF(K.LE.0.) GO TO 115
IF(K.GT.L) GO TO 115
IF(X(K).EQ.0.) GO TO 115
HI(I)=HI(I)+HJ(J)*X(K)
115 CONTINUE
Q=Q+(Y(I)-HI(I))*2
120 CONTINUE
Q=Q*CDEF**2
SOMM=0.
DO 140 I=1,M2
140 SOMM=SOMM+HI(I)
PREF=SOMM*CDEF
WRITE(6,/)PN,PK,Q
WRITE(6,/)SOMM,PREF
CALL EXIT
END

```

```

SUBROUTINE GAMMA(XX,GX,IER)
X=XX
ERR=1.0E-6
IER=0
GX=1.0
IF(X=2.0)50,50,15
IF(X=2.0)110,110,15
10 X=X-1.
15 GX=CX*X
GX=CX*X
GO TO 10
50 IF(X=1.0)60,120,110
60 IF(X=ERK)62,62,80
62 Y=FLOAT(INT(X))-X
IF(ABS(Y)-ERR)130,130,64
94 IF(1.0-Y-ERR)130,130,70
90 IF(X=1.0)80,80,110
80 GX=GX/X
X=X+1.0
GO TO 70
110 Y=X-1.0
GY=1.0+Y*(+0.5771017+Y*(+0.9850340+Y*(-0.8704218+Y*(+0.8320212+Y*(
1-0.5684729+Y*(+0.2548205+Y*(-0.05149930))))))
GX=GX*GY
120 RETURN
130 IER=1
RETURN
END

```